Министерство образования и науки Российской Федерации ФГБОУ ВПО «Российский химико-технологический университет им. Д.И.Менделеева»

Новомосковский институт (филиал)

Б.П.Сафонов

РАСЧЕТ НА ПРОЧНОСТЬ ЭЛЕМЕНТОВ ХИМИЧЕСКОГО ОБОРУДОВАНИЯ Часть 1

Учебное пособие по КРЭО

изд. 2-е, дополненное

УДК 66.02(075.8) ББК 35.11:35.514 С217

Рецензенты:

доктор технических наук, профессор В.К. Сидорчук (ФГБОУ ВПО РХТУ им. Д.И.Менделеева, Новомосковский институт) кандидат технических наук Трещев С.Г. (ОАО НИАП, г. Новомосковск)

Сафонов Б.П.

С217 Расчет на прочность элементов химического оборудования. Часть 1. Учебное пособие по КРЭО. Изд. 2-е дополненное / ФГБОУ ВПО РХТУ им. Д.И.Менделеева, Новомосковский институт (филиал); Новомосковск, 2014. — с.

ISBN 978-5-7237-0807-5

Учебное пособие посвящено вопросам расчета на прочность элементов тонкостенных аппаратов, работающих под внутренним и внешним давлением, а также аппаратов высокого давления.

Пособие содержит основные определения, расчётные формулы и примеры расчёта по всем рассматриваемым в пособии темам, а также контрольные задачи. В приложении представлена информация, необходимая для решения контрольных задач.

В пособии рассмотрено 42 примера расчёта по разным темам, рассмотренным в пособии. Пособие содержит 39 контрольных задач, каждая из которых имеет 20 вариантов исходных данных. Приложение содержит 17 справочных таблиц, использование которых позволяет решать задачи, не привлекая дополнительную учебную литературу, что делает пособие удобным для использования на занятиях в аудитории.

Учебное пособие предназначено для бакалавров профиля «Машины и аппараты химических производств», а также бакалавров других инженерных профилей, изучающих дисциплины проектно-конструкторского цикла всех форм обучения.

Рис. 10, табл. 67, библиогр. список 8 назв.

УДК 66.02(075.8) ББК 35.11:35.514

ISBN 978-5-7237-0807-5

© Сафонов Б.П.

© ФГБОУ ВПО РХТУ им. Д.И.Менделеева, Новомосковский институт (филиал); Новомосковск, 2014

Предисловие

Учебная дисциплина «Конструирование и расчёт элементов оборудования» является одной из основополагающих дисциплин, при изучении которой у студента формируются знания и умения в области расчёта и конструирования типовых элементов оборудования. При изучении КРЭО студентом привлекаются знания, приобретённые на младших курсах при изучении математики, материаловедения и технологии металлов, сопротивления материалов и деталей машин, процессов и аппаратов химической технологии и др.

Настоящее учебное пособие посвящено рассмотрению вопросов расчёта на прочность элементов тонкостенных и толстостенных аппаратов. Пособие содержит основные определения, расчётные формулы и примеры расчёта по всем рассматриваемым в пособии темам, а также контрольные задачи. В Приложении представлена информация, необходимая для решения контрольных задач.

В пособии рассмотрено 42 примера расчёта элементов оборудования по темам: исходные данные для расчёта на прочность элементов оборудования, элементы теории напряжённого состояния, расчёт несущей способности элементов оборудования, расчёт на прочность тонкостенных корпусов аппаратов, расчёт укрепления отверстий тонкостенных аппаратов, расчёт устойчивости формы тонкостенных аппаратов, расчёт на прочность корпусов аппаратов высокого давления (АВД).

Контрольные задачи представлены многовариантными. Всего в учебном пособии содержится 39 задач, каждая из которых имеет 20 вариантов исходных данных. Задачи учебного пособия могут быть использованы также при разработке контрольных тестов по КРЭО. Приложение содержит 17 таблиц, использование которых позволяет решать задачи, не привлекая дополнительную учебную литературу, что делает пособие удобным для использования на занятиях в аудитории. Во втором издании учебного пособия приведена информация по британской и американской единицам измерения давления и переводным коэффициентам для их пересчёта в МПа, кгс/см² и мм. рт. ст., а также увеличено число рассмотренных примеров, контрольных задач и таблиц Приложения.

Учебное пособие предназначено для бакалавров профиля «Машины и аппараты химических производств», а также бакалавров других инженерных профилей подготовки, изучающих дисциплины проектно-конструкторского цикла всех форм обучения.

Пожелания по улучшению изложенного в учебном пособии материала просим направлять на кафедру «Оборудование химических производств» НИ РХТУ им. Д.И.Менделеева по адресу 301665 г. Новомосковск Тульской области, ул. Дружбы 8 или по электронной почте k_ohp@dialog.nirhtu.ru.

Условные обозначения, используемые в тексте Русские символы

[П] – скорость коррозии, мм/год

Латинские символы

А, В – размеры листа заготовки для конического днища, м; мм

 A_{∂} — наименьшее (допустимое) расстояние между центрами двух смежных отверстий, при укреплении которых не требуется учитывать их взаимное влияние, м; мм

 A_{cp} – ширина обтюраторного кольца по средней линии уплотнительной поверхности, м

с - конструктивная прибавка к расчётной толщине стенки, мм

СЕ – углеродный эквивалент, %

D_в - внутренний диаметр аппарата, м

D_н – наружный диаметр аппарата, м

 $D_{v}(DN)$ – диаметр условного прохода

 ${\rm D_{cp}}$ – средний диаметр уплотнительной поверхности двухконусного обтюратора, м

 d_{∂} – допустимый диаметр отверстия, не требующего укрепления, м

 $d_{y}\,-\,$ условный диаметр одиночного отверстия при расчёте укрепления взаимовлияющих отверстий, м; мм

d_ш – диаметр гладкой части (шейки) шпилек ABД, м; мм

 d_0 – диаметр центрального (осевого) отверстия шпильки АВД, м; мм

 $D_{_{\rm H \; KP}}$ – наружный диаметр крышки АВД, м; мм

 $d_{\text{отв}}$ – диаметр отверстия под шпильку в крышке АВД, м; мм

d_i – диаметр технологического отверстия в днище (крышке) АВД, м; мм

E – модуль нормальной упругости (модуль Юнга) материала, МПа (кгс/см²)

F – площадь поперечного сопротивления элемента конструкции, см 2 ; м 2

 F_0 – расчётная площадь поперечного сечения металла удалённого вырезом, мм $^2;\,\text{м}^2$

 F_{i} – площадь поперечного сечения укрепляющего элемента, мм²; м²

[F]_о – допускаемая осевая сжимающая сила из условия прочности, МН

[F] – допускаемая осевая сжимающая сила из условия устойчивости, МН

[F] – допускаемая осевая сжимающая сила из условия прочности и усторйчивости, MH;

 $F_{\text{ц}}, F_{\text{дн}}, F_{\kappa}, F_{\Sigma}$ – поверхность обечайки, эллиптического днища, конического днища, общая аппарата, соответственно, м³

Н_р – расчётная толщина крышки АВД, м; мм

h – высота борта эллиптического днища, м; мм

 $h_{\scriptscriptstyle B}$ – внутренняя высота выпуклой части эллиптического днища, м; мм

 ${\bf h}_{{\mbox{\tiny K}}}-$ высота конического днища, м; мм

 $h_{\text{пр}}$ – высота профиля, м; см

 KCU_{min} – гарантированный уровень ударной вязкости материала при рабочей температуре, $Дж/cm^2$ ($\kappa rc \cdot m/cm^2$)

L – расчётная длина обечайки, высота аппарата, м; мм

 $L_{\text{ц}}, L_{\Sigma}$ – высота цилиндрической части, общая высота аппарата, соотв., м

 l_0 – характеристическая длина обечайки, работающей под внешним давлением, м; мм

 l_{κ} – длина образующей конического днища, м; мм

n – нормаль к площадке, на которой определяются напряжения

 n_T , n_B , n_Q — коэффициент запаса прочности по пределам текучести, прочности и длительной прочности, соответственно

n_v - коэффициент запаса устойчивости

Р – продольная сила, Н (кгс)

 P_{max} — максимальная расчётная нагрузка, H; H/м; H/м²; H/м³; H⋅м

[p] – допустимое внутреннее давление оболочки или сосуда, МПа (кгс/см²)

 $[p_{\rm H}]_{\sigma}$ – допустимое наружное давление оболочки из условия прочности, Мпа (кгс/см²)

 $[p_{\rm H}]_{\rm E}$ — допустимое наружное давление оболочки из условия устойчивости, Мпа (кгс/см²)

 $[p_{\scriptscriptstyle H}]$ – допустимое наружное давление оболочки из условия прочности и устойчивости, МПа (кгс/см²)

 p_{BH} – внешнее давление, МПа (кгс/см²)

 p_{r} – гидростатическое давление, МПа (кгс/см²)

р_{ост} – остаточное давление в аппарате, МПа (кгс/см²)

 p_{Hp} – наружное расчётное давление, МПа (кгс/см²)

р_{раб} – рабочее давление, МПа (кгс/см²)

 p_{pa6} _{PM} – рабочее давление для арматуры, МПа (кгс/см²)

 p_p – расчётное давление, МПа (кгс/см²)

 p_{v} – условное давление, МПа (кгс/см²)

 p_{y} $_{PM}$ – условное давление для арматуры, МПа (кгс/см²)

 p_{np} – пробное (гидравлического испытания) давление, МПа (кгс/см 2)

 p_{np} — пробное (гидравлического испытания) давление для арматуры, МПа (кгс/см²)

Q_Д – равнодействующая внутреннего давления АВД, МН

 $Q_{\rm B}$ – осевая составляющая равнодействующей внутреннего давления АВД, МН

q – интенсивность распределённой нагрузки, Н/м

R – радиус оболочки, м

 $s_p,\, s-$ расчетная и исполнительная толщина стенки, соответственно, Мпа (кгс/см²)

T – крутящий (вращающий) момент, H·м

 $T_{\rm n}$ – температура подогрева при сварке, град C

t_p – расчётная температура, град С

t_{раб} – рабочая температура, град С

V – объём полости аппарата, м³

 V_{κ} – вместимость конического днища, м³

 $W_x,\,W_y$ – осевой момент сопротивления сечения, см³; м³ W_ρ – полярный момент сопротивления сечения, см³; м³ z – число шпилек крышки $AB\Pi$

Греческие символы

 α – угол наклона площадки к оси с напряжением σ_1 , град

αк − угол конуса конического днища, град

β – коэффициент толстостенности АВД

 ε_x , ε_y , ε_z – относительые удлинения, м/м

μ – коэффициент Пуассона материала

 ρ_m- первый главный радиус кривизны срединной поверхности оболочки (радиус кривизны в направлении меридиана)

 ρ_k – второй главный радиус кривизны срединной поверхности оболочки (радиус кривизны в направлении, перпендикулярном меридиану) σ_1 , σ_2 , σ_3 – главные напряжения, МПа (кгс/см²)

 $\sigma_{\varepsilon/\tau}^t$ – предел ползучести при температуре t (град C) деформация ε (%) за время τ (часов), МПа (кгс/см²)

 σ_{τ}^{t} – предел длительной прочности при температуре t (град C) за время τ (часов), МПа (кгс/см²)

 σ_{α} – нормальное напряжение на произвольной площадке, МПа (кгс/см²)

 $\sigma_x,\,\sigma_y,\,\sigma_z$ — нормальные напряжения в некоторой точке элемента конструкции, МПа (кгс/см²)

 $\sigma^{II}_{\text{расч}}$ $\sigma^{IIV}_{\text{расч}}$ — расчётные напряжения в некоторой точке по II, III, IV теориям прочности, МПа (кгс/см²)

 $\sigma_{\rm B}$ – предел прочности материала, МПа (кгс/см²)

 $\sigma_{\scriptscriptstyle T}$, $\sigma_{0,2}$ – предел текучести физический, условный, соответственно, МПа (кгс/см²)

 σ_{max} – максимальное нормальное напряжение, МПа (кгс/см²)

 $[\sigma]_{20}$ – допускаемое напряжение при 20°C, МПа (кгс/см²)

 $[\sigma]_t$ – допускаемое напряжение при температуре t, МПа (кгс/см²)

 $[\sigma]_{_{\rm H}}$ – допускаемое напряжение при температуре испытания, МПа (кгс/см 2)

 σ_m – меридиональное напряжение, МПа (кгс/см²)

 $\sigma_k, \, \sigma_t$ – кольцевое (окружное) напряжение, МПа (кгс/см²)

 τ_{α} – касательное напряжение на произвольной площадке, МПа (кгс/см²)

 $\tau_{xy},\,\tau_{yx},\,\tau_{zz},\,\tau_{zx},\,\tau_{zy},\,\tau_{zy}$ – касательные напряжения в некоторой точке элемента конструкции, МПа (кгс/см²)

 au_{max} – максимальное касательное напряжение, МПа (кгс/см 2)

ф - коэффициент прочности сварного шва

 ϕ_{κ} – угол развёртки конического днища, град

у – коэффициент ослабления отверстиями днища АВД

Введение

Проектирование химических производств предполагает ведение авторского надзора за строительством и монтажом спроектированных производств, составление заказных спецификаций на типовое оборудование, разработку и согласование чертежей нетипового оборудования с машиностроительными заводами, участие в монтаже и пуске химических производств.

При проектировании химического оборудования должно быть обеспечено выполнение следующих основных требований к объектам проектирования:

- •механическая прочность способность элемента оборудования выдерживать рабочие нагрузки; обеспечивается соблюдением при проектировании соответствующих расчётных нормативов (см. ГОСТ Р 52857.1−2007...ГОСТ Р 52857.12−2007 и др.); сохранение прочности объектов проектирования является основным условием безопасной эксплуатации сосудов, аппаратов и машин;
- •устойчивость способность аппаратов сохранять в рабочем состоянии свою первоначальную форму; достигается учётом силовых факторов, способствующих потери проектируемым объектом устойчивости (опрокидывающий момент от ветровой нагрузки для вертикальных аппаратов; внешнее давление для аппаратов, работающих под разряжением, а также для аппаратов с рубашкой и др.);
- герметичность способность сосуда, аппарата или машины не пропускать находящуюся в них под давлением рабочую среду; утечка рабочей среды в условиях химического производства может привести к аварии и (или) отравлению обслуживающего персонала; герметичность оборудования достигается использованием цельносварных конструкций или установкой уплотнений в разъёмных соединениях (подвижных и неподвижных);
- •долговечность способность компонентов проектируемого объекта выполнять свои функции в течении определённого времени (расчётный срок службы); при проектировании срак службы принимают равным 10–15 годам (в часах примерно 100000–150000); долговечность основное условие безаварийной эксплуатации подвижных соединений (трибосопряжений) деталей машин, а также элементов аппаратов, подверженных старению (элементы, работающие при высокой температуре под нагрузкой)

Кроме названных основных требований проектируемое оборудование должно быть: высокопроизводительным; простым по устройству, обслуживанию и ремонту; надёжным и безопасным при эксплуатации; технологичным (достижение оптимальных затрат при производстве, техническом обслуживании и ремонте); транспортабельным (возможность

транспортирования к месту монтажа по железной дороге); экологичным (дружественным к окружающей среде).

1. Исходные данные для расчёта на прочность элементов оборудования

Основными параметрами работы элементов химического оборудования являются: рабочая температура, рабочее давление и состав рабочей среды. Для химического оборудования характерно изменение рабочих параметров в широких пределах. Так рабочие температуры изменятся от -260° С для элементов установок разделения воздуха до $+1200^{\circ}$ С — элементы печей; рабочие давления достигают величин порядка 30 МПа (300 кгс/см²); состав рабочих сред также отличает чрезвычайно большое разнообразие.

1.1. Температура

Температура — один из основных параметров технологического процесса в аппарате. В России, как и в большинстве индустриальных стран, наиболее употребительными являются температурные шкалы: Кельвина (единица – кельвин, К), Цельсия (единица – градус Цельсия, °С), Фаренгейта (единица — градус Фаренгейта, °F). Формулы взаимного перевода для основных температурных шкал представлены в таблице 1.1.

	1 1	1 711	
	Температура по	Температура по	Температура по
	Кельвину	Цельсию	Фаренгейту
Температура по	К = К	$K = {}^{\circ}C + 273,15$	$K = 0.56 \cdot (^{\circ}F - 32) +$
Кельвину	K – K	K = C + 275,15	273,15
Температура по	$^{\circ}\text{C} = \text{K} - 273,15$	$^{\circ}\text{C} = ^{\circ}\text{C}$	°C =0,56·(°F– 32)
Цельсию	C = K = 273,13	C = C	C =0,50·(1= 52)
Температура по	$^{\circ}$ F = 1,8·(K–273,15)	$^{\circ}F = 1.8 \cdot ^{\circ}C + 32$	°F = °F
Фаренгейту	$\Gamma = 1,0.(K-275,15)$	1 =1,6 C + 32	$\Gamma = \Gamma$
Пример: 20°C =	$293 \text{ K} = 68^{\circ}\text{F}$		

Таблица 1.1 - Формулы перевода температур разных шкал

Рабочая температура t_{pa6} — температура среды, соприкасающейся со стенками аппарата при нормальном протекании в нём технологического процесса.

Расчётная температура t_p — наибольшая температура стенки сосуда или аппарата, определённая на основании теплотехнических расчётов или результатов испытаний, или опыта эксплуатации аналогичных сосудов.

При $t_{pa6} < 20^{\circ} C$ за расчётную температура принимают $t_p = 20^{\circ} C$. При защите аппарата футеровкой t_p принимают равной температуре поверхности футеровки, соприкасающейся со стенкой аппарата.

1.2. Давление

Давление — величина, характеризующая интенсивность сил, действующих на какую-нибудь часть поверхности тела по направлениям, перпендикулярным к этой поверхности. Давление равно отношению силы, равномерно распределённой по нормальной к ней поверхности, к площади этой поверхности.

Следует различать абсолютное и т.н. избыточное или приборное давление (его ещё называют «действующим» или «манометрическим»). Абсолютное давление p_{abc} — это сумма атмосферного p_a и избыточного p_{usb} давлений

$$p_{a\delta c} = p_a + p_{u3\delta} \tag{1.1}$$

В технических расчётах говоря о давлении имеют ввиду именно избыточное давление. При этом следует помнить, что:

- избыточное давление измеряется относительно атмосферного;
- ноль избыточного давления равен атмосферному давлению;
- абсолютный вакуум равен «минус одной атмосфере» избыточного давления и, при этом, равен нулю абсолютного давления.

Единица давления СИ — паскаль, $1\Pi a = 1 \text{ H/m}^2$. Внесистемные единицы давления: атмосфера техническая — ат, 1 ат $= 1 \text{ кгс/см}^2$; миллиметр ртутного столба, 1 мм рт.ст. = 130 Па. Внесистемными британскими и американскими единицами давления является: psi (пси), 1 psi = 1 фунт-сила/кв. дюйм и psf (рсф), 1 psf = 1 фунт-сила/кв. фут. Коэффициенты для пересчёта единиц давления представлены в таблице 1.2.

Таблица 1.2 - Коэффициенты пересчёта единиц давления

	МПа	$\kappa \Gamma c/cm^2$ (ат)	мм рт. ст.	psi	psf
МПа	1	10,2	7500	145	$2,1\cdot10^4$
$\kappa \Gamma c/c M^2$ (ат)	0,098	1	735	14,21	2049
мм рт. ст.	1,33·10 ⁻⁴	1,36·10 ⁻³	1	0,019	2,79
psi	6,89·10 ⁻³	0,07	51,7	1	144
psf	$4,78\cdot10^{-5}$	4,88·10 ⁻⁴	0,36	0,0069	1

Пример пользования таблицей.

Переведём в другие единицы давление p=2,3 МПа. Для перевода используем множители из строки МПа. Получаем $p=2,3\cdot 1$ МПа $=2,3\cdot 10,2$ кгс/см² $=2,3\cdot 7500$ мм рт. ст. $=2,3\cdot 145$ psi $=2,3\cdot 2,1\cdot 10^4$ psf.

В нормативных документах по методикам расчёта аппаратов на прочность содержатся понятия рабочего, расчётного, пробного и условного давления.

Рабочее давление p_{pab} — максимальное внутреннее избыточное или наружное давление, возникающее при нормальном протекании рабочего процесса, без учёта гидростатического давления среды и без учёта допустимого кратковременного повышения давления во время действия предохранительного клапана или других предохранительных устройств.

Расчётное давление p_p – давление для элементов сосудов и аппаратов, на которое проводят их расчёт на прочность. Расчётное давление принимают, как правило, равным рабочему давлению или выше. Расчётное (внешнее) давление должно учитывать: внутреннее давление от среды, содержащейся в сосуде (если гидростатическое превышает 5% гидростатическое давление рабочего давления): нестабильность перерабатываемых сред и технологического процесса; инерционные нагрузки при движении или сейсмических воздействиях.

Гидростатическое давление $p_{\scriptscriptstyle \Gamma}$ среды в аппарате высотой L определится

$$p_r = \rho \cdot g \cdot L$$
, (1.2)
здесь $\rho -$ плотность среды, кг/м³; $g = 9.81$ м/с².

Для элементов, разделяющих пространства с разными давлениями (например, в аппаратах с обогревающими рубашками), за расчётное давление следует принимать либо каждое давление в отдельности, либо давление, которое требует большей толщины стенки рассчитываемого элемента. Если обеспечивается одновременное действие давлений, то допускается проводить расчёт на разность давлений. Разность давлений принимается в качестве расчётного давления также для таких элементов, которые отделяют пространства с внутренним избыточным давлением от пространства с абсолютным давлением, меньшим, чем атмосферное. Если отсутствуют точные данные о разности между абсолютным давлением и атмосферным, то абсолютное давление принимают равным нулю.

Пробное давление p_{np} — давление в сосуде или аппарате, при котором проводится испытание сосуда или аппарата.

таолица 1.3 - Условия проведения гидравлических испытании					
Сосуды	Рабочее	Пробное давление рпр, МПа			
	давление р _{раб} ,				
	МПа				
Все, кроме	< 0,5	$\max \{1,5 \ p_{pa6} \cdot [\sigma]_{20} / [\sigma]_t; 0,2\} $ (1.3)			
литых	≥ 0,5	$\max \{1,25 \ p_{pa6} \cdot [\sigma]_{20}/[\sigma]_t; (p_{pa6}+0,3)\} $ (1.4)			
Литые	Независимо от	$\max \{1,5 \ p_{\text{pa\'o}} \cdot [\sigma]_{20} / [\sigma]_{t}; \ 0,3\} $ (1.5)			
	давления				

Таблица 1.3 - Условия проведения гидравлических испытаний

Сосуды	Рабочее	Пробное давление рпр, МПа
	давление р _{раб} ,	
	МПа	

Примечания:

- 1. $[\sigma]_{20}$, $[\sigma]_t$ допускаемое напряжение для материала сосуда или его элементов соответственно при 20°C и рабочей температуре.
- 2. Для сосудов, работающих при отрицательной температуре, p_{ii} принимается таким же, как при температуре 20°C.
- 3. Для сосудов, работающих при температуре стенки от $+200^{\circ}$ С до $+400^{\circ}$ С, р_и не должно превышать рабочее давление р_{раб} более, чем в 1,5 раза, а при температуре $+400^{\circ}$ С более, чем в 2 раза.
- 4. Для сосудов высотой более 8 м p_{np} принимается с учётом гидростатического давления в рабочих условиях.

Условное (номинальное) давление p_y — наибольшее избыточное рабочее давление при расчётной температуре 20°С, при котором обеспечивается длительная работа сосудов и аппаратов, их сборочных единиц и деталей, имеющих определённые размеры, обеспеченные расчётом на прочность при выбранных материалах и характеристиках прочности их при температуре 20°С. Для стандартизации металлических аппаратов и их узлов ГОСТ 9493–80 устанавливает следующий ряд значений p_y в МПа: 0,1; 0,16; 0,25; 0,3; 0,4; 0,6; 0,8; 1,0; 1,25; 1,6; 2; 2,5; 3,2; 4; 5; 6,3; 8; 10; 12,5; 16; 20; 25; 32; 40; 50; 63; 80; 100.

Опираясь на значения рабочего давления p_{pa6} и рабочей температуры t_{pa6} выбирают условное давление p_y для стандартного аппарата. В таблицах П1 и П2 указаны эти данные для теплообменных аппаратов и аппаратных фланцев.

Давление пробное для арматуры $p_{\text{пр.арм}}$ (ГОСТ 356–80) — избыточное давление, при котором должно проводиться гидравлическое испытание арматуры и деталей трубопровода на прочность и плотность водой при температуре не менее 278 К (5°C) и не более 343 К (70°C), если в нормативнотехнической документации не указано конкретное значение этой температуры.

Пример обозначение пробного давления для арматуры 6 МПа (60 $\kappa rc/cm^2$) — $p_{np.apm}$ 60.

Пробное давление для арматуры определяется по таблицам ГОСТ 356—80 для сталей 15ХМ и др. в зависимости от рабочего давления $p_{pa\delta}$ и температуры. Допускается изготовлять арматуру и детали трубопровода на конкретное $p_{pa\delta}$ и температуру, не предусмотренные ГОСТ 356—80. В этих случаях $p_{mp,apm}$ следует определять по формуле

$$p_{np.apm} = \kappa \cdot p_{pa\delta} \cdot \frac{[\sigma]_{20}}{[\sigma]}, \qquad (1.6)$$

где [σ]₂₀, [σ] — допускаемые напряжения материала при температуре 290 К (20 °C) и наибольшей температуре среды соответственно, МПа (кгс/см²); κ — поправочный коэффициент, принимаемый по таблице 1.4.

Таблица 1.4 - Значения поправочного коэффициента κ при определении пробного давления для арматуры

$p_{\it paar{\sigma}}.rac{[\sigma]_{20}}{[\sigma]}$, МПа (кгс/см 2)	κ
до 20 (200) включ.	1,50
Св. 20 (200) до 56 (560)	1,40
включ.	
Св. 56 (560) до 65 (650)	1,30
включ.	
Св. 65 (650)	1,25

Значения $p_{пр.арм}$ для арматуры и деталей трубопровода, предназначенных на $p_{пр.арм}$ менее 0,1 МПа (1 кгс/см²) или для работы при вакууме должно устанавливаться стандартами или нормативно-технической документацией (НТД) на конкретные изделия. При отсутствии таких стандартов и НТД значения $p_{пр}$ принимаются равным: при рабочем давлении менее 0,1 МПа (1 кгс/см²) $p_{пр.арм} = p_{раб.арм} + 0,1$ МПа (1 кгс/см²); при вакууме $p_{пр.арм} = 0,15$ МПа (1,5 кгс/см²)

Давление рабочее для арматуры р_{раб.арм} (ГОСТ 356–80) – наибольшее избыточное давление, при котором обеспечивается заданный режим эксплуатации арматуры и деталей трубопроводов.

Пример обозначение рабочего давления для арматуры 25 МПа (250 кгс/см²) при температуре 803 К (530 °C) – $p_{\text{раб.арм}}$ 250/803 (530).

Давление условное для арматуры р_{у.арм} (ГОСТ356–80) – наибольшее избыточное давление при температуре среды 293 К (20 °C), при котором допустима длительная работа арматуры и деталей трубопровода, имеющих заданные размеры, обусловленные расчётом на прочность, при выбранных материалах и характеристиках их прочности, соответствующих температуре 293 К (20 °C).

Пример обозначение условного давления для арматуры 4 МПа (40 кгс/см²) — $p_{y,apm}$ 40.

По ГОСТ 356–80 значения $p_{y.apm}$ арматуры и деталей трубопровода должны соответствовать следующему ряду: 0,1 (1,0); 0,16 (1,6); 0,25 (2,5); 0,4 (4,0); 0,63 (6,3); 1,00 (10); 1,60 (16); 2,50 (25); 4,00 (40); 6,30 (63); 10,00 (100);

12,50 (125); 16,00 (160); 20,00 (200); 25,00 (250); 40,00 (400); 50,00 (500); 63,00 (630); 80,00 (800); 100,00 (1000); 160,00 (1600); 250, 00 (2500) МПа (кгс/см 2). ГОСТ 356–80 содержит значения избыточных давлений р $_{y,apm}$, р $_{пр.аpm}$ для р $_{pa6.apm}$ при различных рабочих температурах для ряда марок конструкционных сталей.

Примеры обозначений давлений для арматуры по ГОСТ 356-80:

- условное давление 4 МПа (40 кгс/см²) p_{v.арм} 40;
- пробное давление 6 МПа (60 кгс/см²) p_{пр,арм}60;
- рабочее давление 25 МПа (250 кгс/см²) при температуре 803К (530°С) р_{паб арм} 25t803 (530).

Базовый диаметр – диаметр аппарата, используемый в прочностных расчётах. Для аппаратов (их элементов), изготавливаемых из листовых материалов, базовым является внутренний диаметр $D_{\rm B}$, а для изготавливаемых из труб – наружный диаметр $D_{\rm H}$. Значения базового диаметра аппаратов регламентирует ГОСТ 9617–76.

Для стальных аппаратов из листов и поковок установлен ряд внутренних диаметров: 400, (450), 500 (550), 600 (650), 700, 800, 900, 1000, (1100), 1200, 1300, 1400, (1500), 1600, (1700), 1800, (1900), 2000, ..., 20000 мм. Значения, указанные в скобках, следует применять только для рубашек сосудов и аппаратов. Кожухи и крышки кожухотрубных теплообменных аппаратов допускается изготовлять диаметрами 1100, 1300, 1500, 1700, 1900 мм.

Эмалированные сосуды и аппараты с перемешивающими устройствами, а также сосуды и аппараты из никельсодержащих сталей допускается изготовлять диаметром 250, 300, 350 мм. Рубашки эмалированных сосудов и аппаратов допускается изготовлять диаметром 1550, 1750 и 1950 мм.

Внутренний диаметр сосуда или аппарата, изготовляемого из цветных металлов и сплавов, должен быть выбран из следующего ряда: 133, 159, 168, 219, 273, 325, 377, 426, 480, 530, 630, 720, 820, 920, 1020, 1120, 1220, 1320, 1420 мм.

Диаметр условного прохода D_y (DN) — номинальный диаметр отверстия в трубе, фланце или арматуре, служащего для прохода среды. ГОСТ 355–67 установлен ряд величин D_y : 3; 6; 10; 15; 20; 25; 32; 40; 50; 65; 80; 100; 125; 150; 200; 250; 300; 350; 400; 500; 600; 800; 1000; 1200; ... 4000. D_y может совпадать или не совпадать с фактическим внутренним диаметром изделия D. Например, для чугунных труб значения этих диаметров одинаковые, а для стальных — различные, т.к. последние изготовляют по наружному диаметру, и поэтому их внутренний диаметр зависит от толщины стенки.

1.3. Конструкционные материалы и металлические полуфабрикаты

Для конструкционных материалов, используемых при изготовлении химической аппаратуры, помимо прочности основным эксплуатационным свойством является коррозионная стойкость при рабочей температуре.

Коррозионная стойкость материалов характеризуется десятибалльной шкалой, основанной на значениях скорости коррозии $[\Pi] = [\text{мм/год}].$

Two man the Attachment and the more than the				
Группа	П	Балл		
Совершенно стойкие	до 0,001	1		
Весьма стойкие	0,0010,01	2; 3		
Стойкие	0,010,1	4; 5		
Пониженно стойкие	0,11,0	6; 7		
Малостойкие	1,010,0	8; 9		
Нестойкие	более 10	10		

Таблица 1.5 - Десятибалльная шкала коррозионной стойкости металлов

Для изготовления химической аппаратуры рекомендуется применять материалы, скорость коррозии которых не превышает 0,1 мм/год (баллы 1...5). В приложении, таблица П2, приведён краткий перечень конструкционных материалов, стойких в некоторых агрессивных средах.

При выборе материалов для аппаратов, работающих под давлением при низких и высоких температурах, необходимо учитывать, что механические свойства материалов существенно изменяются в зависимости от рабочей температуры в аппарате. Повышении рабочей температуры приводит к снижению прочности конструкционных материалов. При отрицательных температурах может наблюдаться охрупчивание материалов. Рабочая температура материала должна быть выше порога хладноломкости.

При статическом приложении нагрузки прочность материала характеризуется следующими показателями: предел текучести (физический σ_T или условный $\sigma_{0,2})$ и предел прочности σ_B . Деформационные и упругие свойства материалов характеризуются значениями модуля упругости Е и коэффициентом Пуассона μ . Характеристики механических свойств σ_T , σ_B , Е, μ . являются основными при расчётах на прочность деталей химической аппаратуры, работающей под давлением при низких (от –254 до –40°C), средних (от –40° до +200°C) и высоких (выше +200°C) температурах. При температурах $t_{pa\delta}>0,3\cdot t_{\pi\pi}$ в нагруженных деталях развивается явление ползучести.

Ползучесть – медленное нарастание пластическое деформации детали под действием напряжений, меньших предела текучести. В этом случае следует учитывать жаропрочность конструкционного материала, которая характеризуется пределом ползучести и пределом длительной прочности.

Предел ползучести $\sigma_{\varepsilon/\tau}^t$ — напряжение, под действием которого материал деформируется на определённую величину за определённое время при заданной температуре. Пример, напряжении 100 МПа, которое при температуре t = 550°C за время τ = 100000 часов вызывает деформацию материала ε = 1%. В этом случае предел текучести записывается $\sigma_{1/100000}^{550}$ = 100 МПа.

Предел длительной прочности σ_{τ}^{t} – напряжение, которое вызывает разрушение материала при заданной температуре за определённое время. Пример, напряжение 130 МПа, которое при температуре 600°C вызывает разрушение материала за 10000 часов. В этом случае предел длительной прочности записывается $\sigma_{10000}^{600} = 130$ МПа.

Рабочие температуры, при которых следует учитывать явление ползучести, у разных материалов различны. Для углеродистых сталей обыкновенного качества (Ст3сп, Ст4сп и др.) ползучесть наблюдается уже при температурах выше 375°С, для низколегированных сталей (09Г2С, 17ГС и др.) – выше 525°С, для жаропрочных сталей (12Х18н10т, 20Х18Н18 и др.) – при ещё более высокой температуре. Для химической аппаратуры допускаемая скорость ползучести принимается ≤ 10^{-7} мм/мм·ч (10^{-5} % в год), для крепёжных деталей – ≤ 10^{-9} мм/мм·ч (10^{-7} % в год).

При выборе металла для работы при низких температурах следует исходить не только из величины ударной вязкости, но также учитывать

- величину и характер приложенной нагрузки (статическая, динамическая, пульсирующая);
- наличие и характер концентраторов напряжений;
- чувствительность металла к надрезам;
- начальные напряжения в конструкции;
- способ охлаждения металла (за счёт содержащегося в аппарате хладоносителя или за счёт окружающей среды).

При статическом приложении нагрузки в ряде случаев допускается изготовление аппаратов из металлов, приобретающих хрупкость при пониженных рабочих температурах, но не имеющих дефектов, нарушающих однородность структуры и способствующих концентрации напряжений. Технология изготовления аппаратов из таких материалов должна исключать возможность возникновения высоких начальных напряжений в конструкции. К таким аппаратам можно отнести свободно опирающиеся ёмкости для жидких и газообразных продуктов, содержащихся в них под небольшим избыточным давлением, металлоконструкции неответственного назначения.

При динамическом приложении нагрузки кроме указанных выше характеристик механических свойств необходимо учитывать также и величину ударной вязкости КСU конструкционного материала. Для многих

углеродистых и легированных сталей ударная вязкость при низких температурах (ниже -40° C) резко понижается, что исключает применение этих материалов в таких условиях. КСU для большинства цветных металлов и сплавов (медь и её сплавы, алюминий и его сплавы, титан и его сплавы), а также хромоникелевых сталей аустенитного класса при низких температурах, как правило, уменьшается незначительно, что и позволяет применять их при рабочих температурах вплоть до -254° C.

Для оборудования, подверженного ударным или пульсирующим нагрузкам и предназначенного для работы при низких температурах, следует применять металлы и сплавы с ударной вязкостью не ниже $20~\mathrm{Дж/cm^2}$ (2 кгс·м/см²) при рабочих температурах. Для деталей, имеющих концентраторы напряжений (болты, шпильки и др.), рекомендуются материалы, у которых при рабочей температуре величина ударной вязкости не менее $40~\mathrm{Дж/cm^2}$ (4 кгс·м/см²).

Согласно нормам Ростехнадзора, для работы при низких температурах следует выбирать металлы, у которых порог хладноломкости лежит ниже заданной рабочей температуры. Однако в химической промышленности на протяжении многих лет безаварийно эксплуатируются при температуре до — 40°С большое количество аппаратов, трубопроводов, арматуры, насосов и другого оборудования, изготовленных из углеродистой стали, из серого и ковкого чугуна, т.е. из материалов имеющих ударную вязкость КСU при указанной температуре менее 20 Дж/см² (2 кгс·м/см²).

Аппараты в химической промышленности в большинстве своём являются сварными. Поэтому свариваемость является основным технологическим свойством для конструкционного материала для сварных аппаратов.

Свариваемостью стали называется способность металла образовывать сварные соединения. Свариваемость качественно оценивается степенью соответствия свойств сварного соединения аналогичным свойствам основного металла, а также наличием сварочных дефектов в виде трещин, пор, неметаллических включений и т.п. По свариваемости стали подразделяются на группы:

- хорошо сваривающиеся (обычная технология сварки без подогрева до сварки и в процессе сварки и без последующей термообработки);
- удовлетворительно сваривающиеся (в нормальных производственных условиях трещин не образуется или для предупреждения образования трещин необходим предварительный нагрев, а также предварительная и последующая термообработка);
- ограниченно сваривающиеся (в обычных условиях сварки склонны к образованию трещин обязательный подогрев и термическая обработка до и после сварки);
- плохо сваривающиеся (для сварных конструкций не применяются, обязателен подогрев и термообработка до и после сварки).

Повышение содержания углерода И легирующих элементом увеличивает опасность появления в околошовной зоне сварного соединения закалочных структур, хрупких холодных трещин и трещин задержанного разрушения. Обобщенно влияние содержания углерода, легирующих элементов и примесей на качество сварного соединения характеризуется так называемым углеродным эквивалентом СЕ. Согласно ГОСТ 27772-88 углеродный эквивалент предложено определять по формуле

$$CE = C + Mn/6 + Si/24 + Cr/5 + Mo/4 + Ni/40 + Cu/13 + V/14 + P/2, \% (1.7)$$

здесь символы элементов выражают массовые доли этих элементов в стали; множители при символах представляют собой коэффициенты активности данных элементов.

Углеродный эквивалент следующим образом характеризует свариваемость сталей:

- СЕ < 0,35 сварка не вызывает затруднений;
- CE = 0.35...0.6 сварка проводится с соблюдением мер предосторожности;
- CE > 0,6 вероятность образования трещин возрастает и необходимы специальные меры предосторожности.

Предварительный подогрев при сварке является важным элементом технологического процесса получения сварного соединения, поскольку подогрев позволяет уменьшить скорость охлаждения металла шва и тем самым избежать образования закалочных структур и, следовательно, холодных трещин.

Д.Сефериан методику расчетного предложил определения температуры T_{Π} подогрева при сварке, учитывающую химический состав стали и толщину свариваемых листов. Методика Сефериана основана на использовании эквивалента углерода как меры закаливаемости стали с поправкой на толщину листов И введении ряда поправочных коэффициентов

$$T_{II} = 350 \cdot \sqrt{CE \cdot (1 + 0.005 \cdot s) - 0.25}$$
, град С (1.8)

здесь 0,005 – коэффициент толщины; *s*– мм; 0,25 – верхний предел содержания углерода в обычных свариваемых сталях.

В таблице 1.6 приведены значения углеродного эквивалента и температуры подогрева при сварке для некоторых сталей, используемых для сварной химической аппаратуры.

Таблица 1.6 - Значения углеродного эквивалента и температуры подогрева при сварке для некоторых сталей

Марка	ГОСТ	CE, %	T_{Π} (°C) для толщины стенки		стенки
стали			s = 5 MM	s = 10 MM	s = 50 MM
Ст3сп	380–2005	0,38	124	137	168
20	1050-88	0,39	125	139	169

20К	5520–79	0,40	132	146	176
15XM	4543–71	0,61	205	218	250
09Г2С	5520-79	0,51	172	185	216
10ХСНД	19282–73	0,49	167	180	211
16ГС	5520–79	0,47	158	171	202

Рабочие условия применения листовой стали по ОСТ 26–291–94 приведены в Приложении таблица П 4, рабочие условия применения стальных труб – в таблице П 5.

В химическом аппаратостроении находят применение горячекатаные двухслойные коррозионностойкие листы с основным слоем из углеродистой или низколегированной стали и плакирующим слоем из коррозионностойких сталей и сплавов и монель-металла по ГОСТ 10885–85 (таблица П 6).

При изготовлении химической аппаратуры часто возникает необходимость сварки разнородных сталей (лапы из углеродистой стали и корпус аппарата из высоколегированной стали). В этом случае возможно изменение структуры наплавленного металла и снижение коррозионной стойкости металла шва. Для устранения такого явления между соединяемыми элементами устанавливают промежуточную деталь из высоколегированной стали. При таком конструктивном решении сварка разнородных сталей происходит между промежуточной деталью и деталью из углеродистой стали и сварной шов с пониженной коррозионной стойкостью отодвигается от зоны влияния коррозионной среды.

Помимо сталей, широкое распространение химическом машиностроении получил чугун. Чугун - сплав железа с углеродом (более 2,14%), обладает высокими литейными свойствами, как правило, хорошо обрабатывается резанием, образуя поверхность с рельефом, благоприятным трибосопряжений граничным режимом ДЛЯ леталей трения. Высокопрочный чугун с шаровидным графитом обладаем прочностью, сопоставимой с прочностью стального литья и даже кованой стали.

Серый чугун (марки СЧ15...СЧ45) применяется для литых деталей машин (станины, фланцы, поршни, цилиндры и др.) при давлении до 1 МПа и температуре от –15 до +250°С. Недостатком серого чугуна является хрупкость, препятствующая его применению для изготовления деталей машин, подвергающихся ударным нагрузкам. Отливки из высокопрочного чугуна (марки ВЧ35...ВЧ100) используются для изготовления корпусных и других элементов машин, подверженных значительным нагрузкам. Ковкий чугун (марки КЧ 36–6...КЧ 63–2) используют для изготовления арматуры и фланцев.

Пегированный чугун используют для изготовления литых деталей, работающих в коррозионных средах и при повышенных температурах в коррозионных средах. Химическая стойкость чугунов резко увеличивается при содержании кремния Si около 15%. Сплавы ЧС15 и ЧС17, называемые

ферросилиды, стойки в азотной HNO $_3$, фосфорной H_3PO_4 , уксусной $C_2H_3O_2$, серной H_2SO_4 кислотах при любых концентрациях и температуре, а также в смеси азотной и серной кислот. Ферросилиды стойки также в растворах солей, но легко корродируют под воздействием соляной HCl кислоты, крепких щелочей и фтористых соединений. Для повышения стойкости в HCl ферросилиды легируют до 4% Мо. Образуемые при этом сплавы (ЧС15М4, ЧС17М3) получили название антихлоры. Они устойчивы в большинстве агрессивных сред любых концентраций при всех температурах. Недостатком антихлоров и ферросилидов является хрупкость и низкая технологичность (плохая обрабатываемость резанием), поэтому их применяют для деталей не подверженных ударным нагрузкам.

Цветные металлы и сплавы в химическом машино- и аппаратостроении применяют для изготовления элементов оборудования, контактирующих с агрессивными средами и работающих при низких температурах.

Алюминий AI (марки АД00, АД0, АД1, A8, A85) и его сплавы (марки АМцС, АМг2, АМг3, АМг5, АМг6) используют преимущественно в виде листов, фасонного проката, труб, проволоки, а также в виде фасонных отливок для изготовления резервуаров, колонн и элементов аппаратов, работающих при давлении до 0,6 МПа в интервале температур от -196 до +150°C в производстве разбавленной серной H_2SO_4 , азотной HNO_3 , фосфорной H_3PO_4 , уксусной $C_2H_3O_2$ и др. органических кислот.

 $Me\partial_b$ Cu химически устойчива во многих средах (холодная 10...40% H_2SO_4 , 10...20% соляная кислота HCl, бензол C_6H_6 , метиловый CH_3OH и этиловый C_2H_5OH спирт и др.), плохо сопротивляется воздействию аммиака NH_3 и щелочных растворов, а также хлоридов. В окислительных средах $(HNO_3,$ горячая концентрированная H_2SO_4 , растворы $KMnO_4$, $K_2Cr_2O_7$) медь неустойчива. Наибольшее распространение получила технически чистая медь марок M2 и M3. Её используют для изготовления ёмкостей варочной аппаратуры (пищевая промышленность), различных испарительных и трубчатых теплообменников, работающих под давлением до 0,6 $M\Pi a$ в интервале температур от -254 до +250°C.

Из сплавов меди чаще всего используют *латуни* (сплавы нам основе Cu+Zn) (марки Л63, ЛС 59-1, ЛО 62-1, ЛЖМц 59-1-1 и др.), а также бронзы безоловянные (БрБ2, БрАЖ9-4, БрХ1, БрС30 и др.) и оловянные (марки БрОФ6,5-0,15, БрОЦ4-3, БрОЦС4-4-2,5 и др.). Их применяют для изготовления мембран, сильфонов, пружинной проволоки, деталей контрольно-измерительных приборов, антифрикционных элементов и других элементов и других деталей машин, а также в криогенной технике.

Для латуней характерны два вида коррозионного повреждения – обесцинкование и коророзионное растрескивание. Склонность к обоим видам повреждений увеличивается с повышением содержания цинка в сплаве. Явление обесцинкования заключается в избирательной коррозии в связи со

значительно более высокой электрохимической активности атомов Zn по сравнению с атомами Cu. Для снижения склонности к обесцинкованию применяют легирование латуни небольшими количествами фосфора P, сурьмы Sb, мышьяка As, причём наличие P и Sb в маркировке не отражается. Пример мышьяковистой латуни ЛОМш 70-1-0,04. Наиболее широкое распространение в морских условиях получили так называемая адмиралтейская латунь ЛО 70-1 и алюминиевая латунь ЛА 75-2. Коррозионное растрескивание проявляется при наличии в полуфабрикате внутренних или внешних растягивающих напряжений. Скорость развития коррозионного растрескивания усиливается при наличии в атмосфере аммиака NH_3 и сернистого ангидрида SO_2 . Коррозионное растрескивание, обусловленное наличием внутренних напряжений, предупреждается отжигом изделий при 250...300°C.

Свинец используют преимущественно для внутреннего покрытия (футеровки) стальных аппаратов с целью защиты от воздействия сильно агрессивных сред (нагретая 80% H_2SO_4 , HCl). Свинец не стоек в органических кислотах, в частности в муравьиной $C_2H_2O_2$ и уксусной $C_2H_3O_2$.

Tuman (марки BT1-0, BT1-00) и титановые сплавы (марки AT3, OT4-0 и др.) широко применяют для изготовления деталей фильтров, центрифуг, сушилок, ёмкостей в производствах HNO₃, HCl, мочевины (карбамида) (NH₂)₂CO, хлора и его соединений, синтетических волокон. Для титана и его сплавов характерна малая склонность к контактной, питтинговой и щелевой коррозии. Титан применяется в виде листового проката, труб, а также фасонных отливок.

В химическом машино- и аппаратостроении всё более широкое применение находят неметаллические конструкционные и футеровочные материалы – керамика, пластмассы, стекло, резины и др. Их применение позволяет экономить дефицитные и дорогостоящие высоколегированные стали и цветные сплавы.

Минералы и материалы на их основе. Естественные природные минералы (асбест, графит и пр.) и продукты их переработки (керамика, каменной литьё, огнеупоры и др.) характеризуются высокой сопротивляемостью внешним воздействиям — атмосферной коррозии, абразивному изнашиванию, действию технологических сред (кислот, щелочей и др. химически активных соединений).

Асбести и асбестовые изделия в виде картона, сальниковой набивки, тканей, лент используют для теплоизоляции (при температуре -40...+500°C) и уплотнения соединений элементов машин, аппаратов и коммуникаций.

 Π аронит — композиционный прокладочный материал из асбеста, каучука и наполнителей можно использовать при давлении до 10 МПа и температуре от -50 до +100°C.

Вяжущие минеральные материалы (гипс, жидкое стекло, известь, цемент) представляют собой порошкообразные вещества, образующие с

водой пластичные пасты, способные затвердевать и схватываться с другими телами с образованием монолитного камневидного изделия. Из различных цемента наиболее распределены портландцемент типов щлакопортландцемент общестроительного назначения; гипсоглиноземистый расширяющийся, предназначенный для получения расширяющихся, безусадочных, водонепроницаемых растворов, используемых для замоноличивания стыков конструкций и фундаментных болтов, уплотнения соединений труб и т.д.

Углеграфитовые материалы изготовляют из графита (углерода технического или сажи), пропитанного синтетической смолой, или графитопласта АТМ-1, АТМ-2. Они обладают высокой коррозионной стойкостью, тепло- и электропроводностью, имеют низкий коэффициент трения скольжения, хорошо обрабатываются резанием. Используют для изготовления теплообменников, колонных аппаратов, деталей ц/б насосов, труб, трубопроводной арматуры, облицовочных плит, работающих в агрессивных средах при температурах от -18 до 150° С.

Камнелитые изделия (бруски, плиты, трубы, желоба и др.) получают литьём расплава шихты горных пород и соответствующих добавок к ним. Изделия из каменного литья находят применение для футеровки бункеров, течек, корпуса флотационных машин и т.д. Плитки из каменного литья заменяют металл, их используют для полов в цехах с агрессивными средами.

Огнеупоры (формованные изделия и неформованные материалы) — стойкие к высоким температурам материалы, используемые для изготовления элементов высокотемпературного оборудования (печи и др.). Огнеупоры служат для защиты основных материалов тепловых агрегатов и окружающей среды от температурного воздействия. Доломитовый кирпич (32...36% MgO, 50...56% CaO), шамотный кирпич (50...60% SiO₂ и 30...42% Al₂O₃) огнеупорность до 1700°C.

Керамика — изделия и материалы, получаемые спеканием глин и их смесей с минеральными добавками, а также оксидов и др. неорганических соединений. Отличаются термо- и кислотостойкостью. Керамика практически не пропускает жидкости и не поддаётся истиранию, что важно при получении чистых продуктов. Из грубой керамики изготавливают строительный и шамотный кирпич, черепицу, из тонкой - фарфоровые и фаянсовые изделия.

Пластмассы представляют собой материалы на основе полимеров, т.е. высокомолекулярных соединений, состоящих из большого числа звеньев (мономеров). Наиболее применимыми видами пластмасс являются: полиэтилен, полипропилен, полистирол, фторопласт, винипласт, а также фаолит, текстолит и др.

Полиэтилен – твёрдый продукт полимеризации этилена. Хорошо обрабатывается различными способами (прессованием, литьём под давлением), легко сваривается и склеивается. При нормальной температуре

он стоек к действию большей части минеральных кислот, щелочей и растворов солей. Его применяют также в качестве футеровочного материала химической аппаратуры, работающей в интервале температур от -60 до +60°C и давлении до 1 МПа со средами средней и повышенной агрессивности.

Полипропилен — твёрдый продукт полимеризации пропилена. Обладает хорошими механическими, свойствами, которые сохраняются вплоть до температуры размягчения. Он хорошо сваривается, обладает высокой стойкостью к воздействию минеральных кислот и щелочей. Применяется для футеровки сварной химической аппаратуры в интервале температур —10 до +100°С и давлении до 0,07 МПа со средами средней и повышенной агрессивности.

Полистирол – твёрдый продукт полимеризации стирола. Он поддаётся различным методам переработки (прессованию, литью под давлением), удовлетворительно сваривается, хорошо склеивается специальным клеем. Стойкий во многих агрессивных средах. Используется как футеровочный материал для стальных аппаратов, работающих в интервале температур 0 до +75°С и давлении до 0,07 МПа со средами средней и повышенной агрессивности.

Фторопласт – наиболее ценный конструкционный неметаллический материал. Обладает коррозионной стойкостью почти во всех кислотах, теплостоек до 400°С. В настоящее время выпускают несколько марок: фторопласт-3, фторопласт-4 и т.д.

Фторопласт-3 (политрифторхлорэтилен) — твёрдый продукт полимеризации трифторхлорэтилена. При комнатной температуре не растворяется и очень мало набухает в органических растворителях. Применяется главным образом для получения антикоррозионных покрытий труб, насосов и др.

Фторопласт-4 (политетрафторэтилен) – твёрдый продукт полимеризации тетрафторэтилена. Не поглощает воду; негорюч; не растворяется и не набухает в растворителях; абсолютно стоек к кислотам, окислителям и растворам щелочей. Применяется для производства тонкостенных труб, деталей трибосопряжений, для получения пропиток и покрытий.

Винипласт (поливинилхлорид) — твёрдый продукт полимеризации винилхлорида. Обладает высокой устойчивостью почти во всех кислотах, щелочах и растворах солей любых концентраций за исключением сильных окислителей (HNO₃, олеум). Винипласт легко обрабатывается резанием и давлением, хорошо сваривается и склеивается. Поставляется в виде листов, труб, профильных изделий. Из винипласта изготовляют обечайки, днища, штуцера и другие детали сварной или клееной химической аппаратуры, работающей при температуре от –0 до +40°C и давлении до 0,6 МПа.

Органическое стекло (полиметилметакрилат) — твердый продукт полимеризации метилметакрилата. Используется для получения безосколочного стекла (триплексов), которое служит для изготовления смотровых окон в аппаратах, работающих при умеренных температурах и повышенных давлениях.

 Φ аолит – кислотостойкая пластмасса, которую получают на основе фенолформальдегидной смолы кислотостойкого термореактивной И наполнителя. Он стоек в соляной HCl, серной H₂SO₄, фосфорной H₃PO₄, уксусной $C_2H_3O_2$ и других кислотах, хлорированных углеводородах и минеральных маслах. Особую ценность представляет стойкость фаолита к воздействию НСІ любой концентрации. В щелочных средах фаолит не стоек. обрабатывается резанием, прессуется, хорошо фаолитовой замазкой и арзамитом. Применяют фаолит для изготовления колонной, ёмкостной, и теплообменной аппаратуры, труб и трубной арматуры, работающих при температуре от 0 до +140°C и давлении до 0,06 МПа.

Материалы на основе каучука. Резину и эбонит используют для гуммирования химической аппаратуры из углеродистых сталей, чугуна, работающей со средами средней и высокой агрессивности.

Искусственные силикатные материалы. Стекло, эмаль являются перспективными материалами для химической аппаратуры. Из кварцевого стекла изготовляют ёмкостную колонную, теплообменную и реакционную аппаратуру для получения органических кислот, трубопроводы и различную аппаратуру для получения особо чистых продуктов в пищевой и фармацевтической промышленности.

Эмаль – прочное стеклообразное покрытие, наносимое на поверхность изделия электрохимическим способом. Эмалевое покрытие обладает хорошей адгезией к металлам. Применение эмалирования позволяет использовать углеродистую сталь и чугун для изготовления химической аппаратуры. Эмалированные аппараты используют для работы при давлении до 0,6 МПа и температуре от –15 до +200°C (чугунные аппараты) и от –30 до +250°C (стальные аппараты).

1.5. Допускаемое напряжение, допускаемая нагрузка

Допускаемое напряжение $[\sigma]$ — напряжение, при котором обеспечивается прочность элементов аппарата с расчётным запасом и минимальным расходом конструкционного материала.

Выбор допускаемого напряжения зависит от методов расчёта (по предельным нагрузкам или допускаемым напряжениям), степени их точности, свойств материала и серьёзности последствий, которые могут быть в случае аварии.

Допускаемые напряжения используются при расчёте элементов конструкций по допускаемым напряжениям нормальным $[\sigma]$ и касательным $[\tau]$

$$\sigma_{\text{max}} \leq [\sigma] \tag{1.9}$$

$$\tau_{max} \leq [\tau] \tag{1.10}$$

здесь σ_{max} , τ_{max} — максимальные расчётные нормальные и касательные напряжения, возникающие в рассматриваемом элементе конструкции, соответственно.

Выражения (1.9, 1.10) представляют собой условие прочности по нормальным и касательным напряжений, соответственно.

Допускаемое напряжение определяется делением минимального значения характеристики прочности материала элемента конструкции при расчётной температуре ($\sigma_{\rm T}$ – предел текучести, $\sigma_{0,2}$ – условный предел текучести, $\sigma_{\rm B}$ – временное сопротивление (предел прочности), σ_{τ}^t – предел длительной прочности, $\sigma_{\varepsilon/\tau}^t$ – предел ползучести) на значение коэффициента запаса прочности по пределу текучести (сталь $n_{\rm T}=1,5$; алюминиевые и медные сплавы $n_{\rm T}=1,1$), временному сопротивлению (пределу прочности) (сталь $n_{\rm B}=2,4$; титановые сплавы $n_{\rm B}=3,0$), пределу длительной прочности (сталь, титановые сплавы $n_{\rm T}=1,5$), пределу ползучести (сталь $n_{\rm H}=1$).

В Приложении таблица П 7 приведены значения допускаемых напряжений при различных температурах для сталей, алюминиевых, медных и титановых сплавов. Если значение рабочей температуры в аппарате t_x не совпадает с температурами, приведёнными в таблице П4, то для нахождения искомого значения $[\sigma]_x$ используется линейная интерполяция. В этом случае $[\sigma]_x$ отыскивается в интервале температур $t_1 < t_x < t_2$ по известной формуле линейной интерполяции для убывающей функции

$$[\sigma]_{x} = [\sigma]_{t_{1}} - \frac{[\sigma]_{t_{1}} - [\sigma]_{t_{2}}}{t_{2} - t_{1}} \cdot (t_{x} - t_{1})$$
(1.11)

Допускаемое напряжение при испытании аппарата $[\sigma]_{\text{И}}$ определяется по формуле

$$\left[\sigma\right]_{u} = \frac{\sigma_{T20}}{n_{u}},\tag{1.12}$$

здесь σ_{T20} — минимальное значение предела текучести материала аппарата при 20°C (таблица П 8); n_{M} — запас прочности материала при испытании (гидравлическое испытание n_{M} = 1,1; пневматическое — n_{M} = 1,2).

Допускаемая нагрузка [P] — нагрузка, равная некоторой доле (в зависимости от коэффициента запаса) разрушающей нагрузке.

Допускаемая нагрузка используется при расчёте элементов конструкций по допускаемой нагрузке.

$$P_{\text{max}} \leq [P] \tag{1.13}$$

здесь P_{max} – максимальная нагрузка, действующая на рассматриваемый элемент конструкции.

Нагрузка P_{max} в выражении (1.13) может представлять собой: сосредоточенную силу – H; распределённую нагрузку – H/м, H/м², H/м³; пару сил – H·м. Вид нагрузки зависит от схемы нагружения рассматриваемого элемента конструкции.

Значение допускаемой нагрузки [Р] получается расчётом из условия прочности конструкции, когда известны: схема нагружения конструкции, размеры сечения и свойства материала конструкции (см. примеры 2.4, 2.5).

1.6. Примеры расчёта

Пример 1.1.

Для стального аппарата из стали $09\Gamma2C$ определить пробное давление. Условия работы аппарата: p_p =0,4 МПа; t_p =300°C.

Решение

Для стали 09Г2С имеем (таблица П 7): $[\sigma]_{20}$ =170 МПа; $[\sigma]_{300}$ = 134 МПа. При расчётном давлении в интервале 0,07...0,5 МПа в качестве пробного давления принимается большее из двух значений (таблица 1.3):

$$p_{np} = 1.5 \cdot p_p \cdot \frac{[\sigma]_{20}}{[\sigma]_{300}} = 1.5 \cdot 0.4 \cdot \frac{170}{134} = 0.76 \text{ M}\Pi\text{a}; p_{np} = 0.2 \text{ M}\Pi\text{a}$$

Ответ: p_{пр}= 0,76 МПа.

Пример 1.2.

Для стального аппарата из стали $09\Gamma2C$ определить пробное давление. Условия работы аппарата: $p_p=1,5$ МПа; $t_p=200$ °C.

Решени

Для стали 09Г2С имеем (таблица П 7): $[\sigma]_{20}$ =170 МПа; $[\sigma]_{200}$ = 148 МПа. По таблице 1.3 при расчётном давлении \geq 0,5 МПа в качестве пробного давления принимается большее из двух значений:

$$p_{np} = 1,25 \cdot p_p \cdot \frac{[\sigma]_{20}}{[\sigma]_{200}} = 1,25 \cdot 1,5 \cdot \frac{170}{148} = 2,15 \text{ M}\Pi \text{a}; p_{np} = p_p + 0,3 = 1,5 + 0,3 = 1,5 + 0,3 = 1,5 + 0,4 =$$

1,8 M∏a.

Ответ: p_{np} = 2,15 МПа.

Пример 1.3.

Для стального аппарата из стали 09Г2С определить пробное давление. Условия работы аппарата: p_p =0,09 МПа; t_p =300°С.

Решение

Для стали 09Г2С имеем (таблица П 7): $[\sigma]_{20}$ =170 МПа; $[\sigma]_{200}$ = 148 МПа. При расчётном давлении в интервале 0,07...0,5 МПа в качестве пробного давления принимается большее из двух значений (таблица 1.3):

$$p_{np} = 1.5 \cdot p_p \cdot \frac{[\sigma]_{20}}{[\sigma]_{300}} = 1.5 \cdot 0.09 \cdot \frac{170}{134} = 0.17 \text{ M}\Pi\text{a}; p_{mp} = 0.2 \text{ M}\Pi\text{a}$$

Ответ: $p_{np} = 0.2 \text{ M}\Pi a.$

Пример 1.4.

Для стального аппарата из стали 09Г2С определить пробное давление. Условия работы аппарата: p_p =0,15 МПа; t_p = -10°C.

Решение

Для стали 09Г2С имеем (таблица П6): $[\sigma]_{20}$ =170 МПа. Если аппарат работает при отрицательной температуре, то $[\sigma]_t = [\sigma]_{20}$ = 170 МПа.

При расчётном давлении в интервале 0,07...0,5 МПа в качестве пробного давления принимается большее из двух значений (таблица 1.3):

$$p_{np} = 1.5 \cdot p_p \cdot \frac{[\sigma]_{20}}{[\sigma]_{20}} = 1.5 \cdot 0.15 \cdot \frac{170}{170} = 0.22 \text{ M}\Pi\text{a}; p_{np} = 0.2 \text{ M}\Pi\text{a}$$

Ответ: $p_{пр} = 0.22 \text{ M}\Pi a.$

Пример 1.5.

Определить допускаемое напряжение стали для рабочих условий. Марка стали 12XM, рабочая температура в аппарате t_p = 490 МПа.

Решение

Для стали 12XM имеем (таблица П4): $[\sigma]_{470} = 117$ МПа; $[\sigma]_{500} = 96$ МПа. Для решения задачи используем формулу линейной интерполяции для убывающей функции $[\sigma]$ (t)

$$[\sigma]_{490} = [\sigma]_{470} - \frac{[\sigma]_{470} - [\sigma]_{500}}{500 - 470} \cdot (490 - 470) =$$

$$= 117 - \frac{117 - 96}{30} \cdot 20 = 103 \text{ M}\Pi \text{a}$$

Ответ: $[\sigma]_{490} = 103 \text{ M}\Pi a.$

Пример 1.6.

Определить допускаемое напряжение стали для условий гидравлических испытаний. Марка стали 12XM, $t_{\text{исп}} = 20$ °C.

Решение

Для стали 12XM имеем (таблица П8) σ_{T20} = 220 МПа

$$[\sigma]_u = \frac{\sigma_{T20}}{1.1} = \frac{220}{1.1} = 200 MHa$$

Ответ: $[\sigma]_{\text{H}} = 200 \text{ M}\Pi a.$

Пример 1.7.

Определить условное давление для аппаратного фланца из стали 16ГС при заданных условиях работы аппарата: расчётное давление $p_p = 1,2$ МПа, рабочая температура $t_p = 300$ °C.

Решение

При определении условного давления p_y для аппаратного фланца используем таблицу $\Pi 2$.

По таблице П2 для фланца из стали 16ГС при температуре 300°C находим ближайшее большее заданного значение расчётного давления: $p_p = 1,2$ МПа. Для фланца из стали 16ГС при $t_p = 300$ °C оно будет составлять $p_p = 1,34$ МПа; при этом условное давление для фланца составляет $p_y = 1,6$ МПа.

Ответ: для фланца из стали $16\Gamma C$ при температуре $t_p = 300^{\circ} C$ и давлении $p_p = 1,2$ МПа условное давление составляет $p_v = 1,6$ МПа

Пример 1.8.

Определить расчётное давление среды в аппарате. Исходные данные: рабочее давление в аппарате $p_{pa6}=0.3\,$ МПа; плотность среды $\rho=1000\,$ кг/м³; высота аппарата $L=1.8\,$ м

Решение

Расчётное давление в аппарате определяется как сумма рабочего $p_{\text{раб}}$ и гидростатического $p_{\text{г}}$, если оно составляет более 5 % рабочего, в противном случае $p_{\text{г}}$ не учитывается.

Гидростатическое давление среды определяется по формуле (1.2)

$$p_r = \rho \cdot g \cdot L = 1000 \cdot 9,81 \cdot 1,8 = 17658 \Pi a = 0,018 M\Pi a$$

Гидростатическое давление составляет от рабочего

$$p_r: p_{pa6} = 0.018: 0.3 = 0.06 = 6\%$$

В данном случае при определении расчётного давления в аппарате гидростатическое давление среды следует учитывать

$$p_p = p_{pa6} + p_r = 0.3 + 0.018 = 0.318 \ M\Pi a \approx 0.32 \ M\Pi a$$
 Ответ: $p_p = 0.32 \ M\Pi a$

Пример 1.9.

Определить при какой высоте L аппарата в расчёте его на прочность следует учитывать гидростатическое давление среды в нём. Исходные данные: рабочее давление в аппарате $p_{pa6}=1$ МПа; плотность среды $\rho=1000$ кг/м³.

Решение

 Γ идростатическое давление суммируется с рабочим, если составляет не менее 5 % рабочего давления

$$p_r = 0.05 \cdot p_{pa6} = 0.05 \cdot 1 = 0.05 \text{ M}\Pi a.$$

Высота аппарата в этом случае составит

$$L = p_r/(\rho \cdot g) = 0.05 \cdot 10^6/(1000 \cdot 9.81) = 5.1 \text{ M}$$

Ответ: L = 5.1 м.

2. Элементы теории напряжённого состояния, расчёт несущей способности элементов оборудования

2.1. Основные определения и расчётные формулы

Напряжённое состояние — совокупность напряжений, действующих в некоторой точке элемента конструкции (рис.2.1).

Нормальные напряжения $(\sigma_x, \sigma_y, \sigma_z)$ действуют по нормали к площадке, имеют индекс, соответствующий обозначению нормали к площадке. Нормальное напряжение имеет знак (+), если оно направлено по внешней нормали.

Касательные напряжения (τ_{xy} , τ_{xz} , τ_{yx} , τ_{yz} , τ_{zx} , τ_{zy}) действуют в плоскости площадки, имеют двойной индекс, содержащий обозначение нормали и направления нам площадке. Например, τ_{xy} — нормаль «Х» направление «Ұ». Касательное напряжение имеет знак (+), если при повороте вектора $\overline{\tau}$ против часовой стрелки на 90° его направление совпадает с направлением внешней нормали. На рис. 2.1 τ_{xz} > 0, τ_{xy} < 0 и т.д. По закону парности касательных напряжений τ_{xy} = τ_{yx} ; τ_{xz} = τ_{zx} ; τ_{yz} = τ_{zy} .

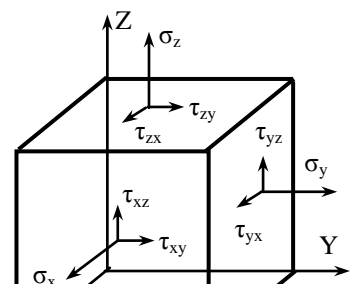


Рис. 2.1. Напряжённое состояние в произвольной точке элемента конструкции

Закон Гука описывает взаимосвязь напряжений и деформаций, вызванных этими напряжениями, в пределах упругости материала.

$$\varepsilon_{x} = \frac{1}{F} \cdot \left[\sigma_{x} - \mu \cdot (\sigma_{y} + \sigma_{z}) \right]$$
 (2.1)

$$\varepsilon_{y} = \frac{1}{F} \cdot \left[\sigma_{y} - \mu \cdot (\sigma_{x} + \sigma_{z}) \right]$$
 (2.2)

$$\varepsilon_z = \frac{1}{E} \cdot \left[\sigma_z - \mu \cdot (\sigma_x + \sigma_y) \right] , \qquad (2.3)$$

здесь ϵ_x , ϵ_y , ϵ_z — относительное удлинение, м/м; E — модуль продольной упругости (модуль Юнга), МПа (см. таблицу П7); μ — коэффициент Пуассона (μ = 0,28...0,35).

Главные напряжения (σ_1 , σ_2 , σ_3) — нормальные напряжения, действующие на площадках, где нет касательных напряжений. Принято следующее соотношение главных напряжений: $\sigma_1 > \sigma_2 > \sigma_3$. В зависимости от величины главных напряжений различают следующие виды напряженного состояния материала элемента конструкций:

- объёмное, когда отличны от нуля три главных напряжения $(\sigma_1 \neq 0, \sigma_2 \neq 0, \sigma_3 \neq 0)$;
- плоское, когда отлично от нуля два главных напряжения $(\sigma_1>0,\,\sigma_2>0,\,\sigma_3=0$ двухосное растяжение; и др.);
- линейное, когда отлично от нуля одно главное напряжение $(\sigma_1>0, \sigma_2=0, \sigma_3=0$ растяжение; $\sigma_1=0, \sigma_2=0, \sigma_3<0$ сжатие).

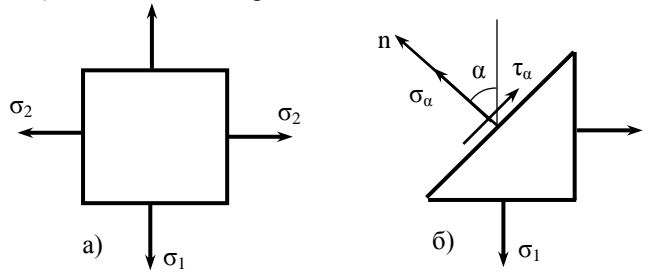


Рис. 2.2. Схема двухосного растяжения (a) и схема для определения напряжений на произвольной площадке (б).

На произвольной площадке с нормалью n действуют нормальные σ_{α} и касательные τ_{α} напряжения (рис. 2.2 б). Значения σ_{α} , τ_{α} , а также максимальное касательное напряжение τ_{max} , действующее на площадке $\alpha=45^{\circ}$, определяются по формулам

$$\sigma_{\alpha} = \sigma_1 \cdot \cos^2 \alpha + \sigma_2 \cdot \sin^2 \alpha \tag{2.4}$$

$$\tau_{\alpha} = 0.5 \cdot (\sigma_1 - \sigma_2) \cdot \sin 2\alpha \tag{2.5}$$

$$\tau_{\text{max}} = 0.5 \cdot (\sigma_1 - \sigma_2) \tag{2.6}$$

Расчёт на прочность при сложном (нелинейном) напряжённом состоянии проводится с использованием расчётных $\sigma_{\text{расч}}$ напряжений, которые определяются по одной из принятых теорий (гипотез) прочности:

• теория наибольших удлинений (II теория) $\sigma_{pacy}^{(II)} = \sigma_1 - \mu \cdot (\sigma_2 + \sigma_3) \tag{2.7}$

теория наибольших касательных напряжений (III теория)

$$\sigma_{pacu}^{(III)} = \sigma_1 - \sigma_3$$

(2.8)

• энергетическая теория (IV теория)

$$\sigma_{pacy}^{(IV)} = \sqrt{\sigma_1^2 + \sigma_2^2 + \sigma_3^2 - \sigma_1 \cdot \sigma_2 - \sigma_1 \cdot \sigma_3 - \sigma_2 \cdot \sigma_3}$$
 (2.9)

При сложном напряжённом состоянии условие прочности имеет вид $\sigma_{\text{расч}} \leq [\sigma],$ (2.10)

здесь $\sigma_{\text{расч}}$ – расчётное напряжение при напряжённом состоянии, в котором работает рассматриваемый элемент конструкции; $[\sigma]$ – допускаемое напряжение материала элемента конструкции (величина табличная см. таблицу Π 6).

Выражение условий прочности для простейших случаев нагружения элементов оборудования представлены в таблице 2.1.

Таблица 2.1 - Выражения условий прочности для простейших видов нагружения элементов конструкций

Нагружение	Силовой фактор	Характеристика	Условие прочности
		сечения	
Растяжение	Продольная сила Р [H; кгс]	$F \\ [m^2; cm^2]$	$\sigma = \frac{P_{pacu}}{F} \le [\sigma]$

Изгиб	Изгибающий момент М [Н·м; кгс·м]	W _x [M ³ ; cM ³]	$\sigma = \frac{M_{pac^{q}}}{W_{x}} \le [\sigma]$
Кручение	Крутящий момент Т[Н·м; кгс·м]	W_{ρ} [M^3 ; cM^3]	$ au = rac{T_{pacu}}{W_{ ho}} \leq extbf{[} au extbf{]}$

Пояснения: $P_{\text{расч}}$, $M_{\text{расч}}$, $T_{\text{расч}}$ – расчётные значения силовых факторов (значения силовых факторов в опасном сечении элемента конструкции); [σ], [τ] – допускаемое напряжение материала элемента конструкции

Формулы для определения геометрических характеристик для некоторых видов сечения элементов конструкций при растяжении, изгибе, кручении представлены в таблице П8.

Несущая способность конструкции характеризуется максимальной величиной внешней нагрузки (P_{max} , q_{max} и др.) под действием которой находится элемент конструкции. Для определения несущей способности надо из условия прочности найти допустимое значение силового фактора ([P], [M], [T]) внешней нагрузки, воспринимаемой элементом конструкции:

• растяжение
$$[P] = [\sigma] \cdot F$$
 (2.11)

• изгиб
$$[M] = [\sigma] \cdot W_x$$
 (2.12)

кручение
$$[T] = [\sigma] \cdot W_{\rho}$$
 (2.13).

По значению [P], [M], [T] искомая несущая способность элемента конструкции определяется исходя из схемы нагружения элемента конструкции (см. примеры $2.4,\,2.5$).

$$\alpha_{_{9K}} = \frac{W_{_X}}{F \cdot h_{_{np}}} \tag{2.14}$$

Для круглого и кольцевого сечений $h_{np}=D$, для прямоугольного сечения $h_{np}=a$ при изгибе в горизонтальной плоскости и $h_{np}=b$ при изгибе в вертикальной плоскости.

2.2. Примеры расчёта

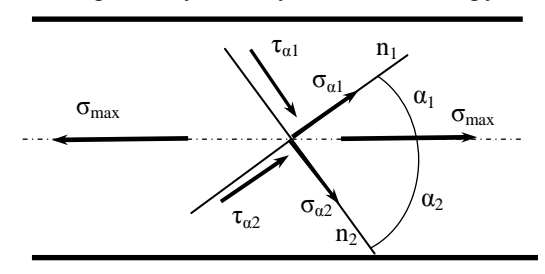
Пример 2.1.

В поперечном сечении растянутого элемента конструкции действует нормальное напряжение $\sigma_{max}=50~M\Pi a$, в сечении, наклонённом к оси элемента на угол α , действует касательное напряжение $\tau_{\alpha}=16~M\Pi a$.

Определить: значение угла α и величину нормального напряжения σ_{α} , действующего на этой площадке.

Решение

Составим расчётную схему элемента конструкции.



В некоторой точке элемента конструкции выделим две взаимно перпендикулярные площадки с нормалями n_1 и n_2 , расположенные под углом α_1 и α_2 , к оси элемента. По закону парности касательных напряжений $\tau_{\alpha 1}=16$ МПа, $\tau_{\alpha 2}=-16$ МПа. $\sigma_{max}=\sigma_1=50$ МПа.

Напряжения на площадке с нормалью n_1 определяются (см. формулы 2.4, 2.5).

$$\sigma_{\alpha 1} = \sigma_1 \cdot \cos^2 \alpha_1 \quad (2.1.1); \quad \tau_{\alpha 1} = 0.5 \cdot \sigma_1 \cdot \sin 2\alpha_1 \quad (2.1.2)$$

$$\sin 2\alpha_1 = \frac{2 \cdot \tau_{\alpha 1}}{\sigma_1} = \frac{2 \cdot 16}{50} = 0.64; \quad \alpha_1 = 0.5 \cdot \arcsin 0.64 = 19.89^{\circ}$$

$$\sigma_{\alpha 1} = 50 \cdot \cos^2 19,89 = 44,2 \text{ M}\Pi a$$

Для площадки с нормалью n_2 $\alpha_2=90-\alpha_1=90-19,89=70,11^\circ$ нормальное напряжение равно $\sigma_{\alpha 2}=50\cdot\cos^270,11=5,8$ МПа.

Otbet:
$$\alpha_1 = 19,89^\circ; \ \sigma_{\alpha 1} = 44 \ \text{MHa}; \ \alpha_2 = 70,11^\circ; \ \sigma_{\alpha 2} = 5,8 \ \text{MHa}$$

Пример 2.2

В некоторой точке элемента конструкции известны значения главных напряжений $\sigma_1 = 120$ МПа, $\sigma_2 = 100$ МПа, $\sigma_3 = 80$ МПа. Определите значения расчётных напряжений в этой точке элемента конструкции по II, III и IV гипотезам прочности. Дополнительные данные: $\mu = 0,3$.

$$\sigma_{\text{расч}}^{\text{II}} = \sigma_{1} - \mu \cdot (\sigma_{2} + \sigma_{3}) = 120 - \mu \cdot (100 + 80) = 66 \text{ M}\Pi \text{a}$$

$$\sigma_{\text{pacч}}^{\text{III}} = \sigma_{1} - \sigma_{3} = 120 - 80 = 40 \text{ M}\Pi \text{a}$$

$$\sigma_{\text{pacч}}^{\text{IV}} = \frac{1}{\sqrt{2}} \cdot \sqrt{(\sigma_{1} - \sigma_{2})^{2} + (\sigma_{2} - \sigma_{3})^{2} + (\sigma_{1} - \sigma_{3})^{2}} =$$

$$= 0.71 \cdot \sqrt{(120 - 100)^{2} + (100 - 80)^{2} + (120 - 80)^{2}} = 34.6 \text{ M}\Pi \text{a}$$

$$\mathbf{Otbet:} \ \sigma_{\text{pacч}}^{\text{II}} = 66 \text{ M}\Pi \text{a}; \ \sigma_{\text{pacq}}^{\text{III}} = 40 \text{ M}\Pi \text{a}; \ \sigma_{\text{pacq}}^{\text{IV}} = 34.6 \text{ M}\Pi \text{a}$$

Пример 2.3

Для тонкостенной цилиндрической обечайки сварного аппарата, находящегося под внутренним давлением, проводилось измерение напряжений по двум взаимно перпендикулярным направлениям с нормалями α , β . Отсчёт углов α и β проводится от кольцевого направления (ось t): α = 50°, β = 140°. Величина измеренного напряжения σ_{α} = 21,2 МПа, σ_{β} = 23,8 МПа. Определить главные напряжения в стенке обечайки.

Решение

Для цилиндрический обечайки имеем:

$$\sigma_{t} = \sigma_{1}; \ \sigma_{z} = \sigma_{2}.$$

Нормальные напряжения на площадках с нормалями α , β определяются (см. формулу 2.4):

$$\sigma_{\alpha} = \sigma_1 \cdot \cos^2 \alpha + \sigma_2 \cdot \sin^2 \alpha \quad (2.3.1)$$

$$\sigma_{\beta} = \sigma_1 \cdot \cos^2 \beta + \sigma_2 \cdot \sin^2 \beta \qquad (2.3.2).$$

Решаем систему уравнений

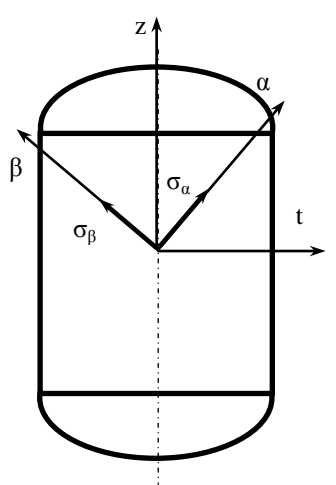
$$21,2 = \sigma_1 \cdot \cos^2 50 + \sigma_2 \cdot \sin^2 50 \qquad (1*)$$

$$23.8 = \sigma_1 \cdot \cos^2 140 + \sigma_2 \cdot \sin^2 140$$
 (2*).

$$21,2 = \sigma_1 \cdot 0,4132 + \sigma_2 \cdot 0,5868 \quad (1**)$$

$$23.8 = \sigma_1 \cdot 0.5868 + \sigma_2 \cdot 0.4132$$
 (2**).

Введём множитель 0,5868/0,4132=1,4201



Уравнение (2**) почленно умножаем на 1,4201, получаем 33,7984 =
$$\sigma_1 \cdot 0$$
,8333 + $\sigma_2 \cdot 0$,5868 (2***) Из (1*) вычитаем (2***): -12 ,5984 = $-\sigma_1 \cdot 0$,4201 Откуда получаем σ_1 = 12,5984/0,4201 = 30 МПа Из (1**) получаем

$$\sigma_2 = \frac{21, 2 - \sigma_1 \cdot 0,4132}{0,5868} = \frac{21, 2 - 30 \cdot 0,4132}{0,5868} = 15 \text{ M}$$
Па

Проверка: Известно, что для тонкостенной цилиндрической обечайки, находящейся под внешним давлением, имеет место соотношение $\sigma_t/\sigma_z=2$. Получено $\sigma_1/\sigma_2=30/15=2$.

Ответ: $\sigma_t = \sigma_1 = 30 \text{ M}\Pi a$; $\sigma_z = \sigma_2 = 15 \text{ M}\Pi a$.

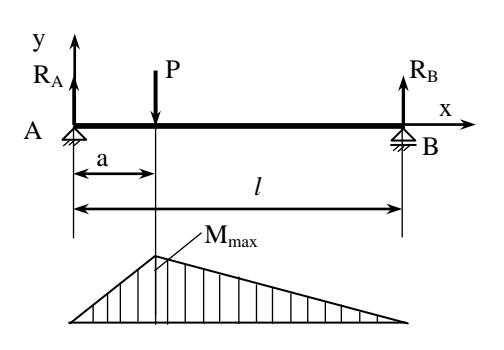
Пример 2.4.

Определить величину допустимой силы [P], приложенной в заданной точке (a=l/3) от левой опоры элемента колосниковой решётки. Колосниковая решётка выполнена из стального двутавра №10 ($W_x = 39,7$ см. таблицу П9) длиной l = 3 м. Допускаемое напряжение [σ] = 140 МПа.

Решение

Расчётную схему элемента колосниковой решётки представляем в виде двухопорной балки, нагруженной сосредоточенной силой. При заданном сечении балки $[M] = W_x \cdot [\sigma] = 39,7 \cdot 10^{-6} \cdot 140 \cdot 10^6 = 5558 \; \text{H·м.}$ При P = [P], $M_{\text{max}} = [M]$

Изгибающий момент вдоль балки изменяется линейно от нуля в опорах до M_{max} в точке приложения силы P. Дальнейшее решение состоим в нахождении взаимосвязи [M] и [P].



Для представленной расчётной схемы имеем: $M_{max} = R_A \cdot a = R_B \cdot (I-a)$. Опорные реакции R_A и R_B в общем виде определим из уравнений равновесия балки в виде суммы относительно опор A или B моментов сил, приложенных к балке.

$$\begin{split} &\Sigma \ M_{A} \ (P) = 0; \ R_{B} \cdot l - P \cdot a = 0 \ \rightarrow \ R_{B} = P \cdot a / l \\ &\Sigma \ M_{B} \ (P) = 0; \ R_{A} \cdot l - P \cdot (l - a) = 0 \ \rightarrow \ R_{A} = P \cdot (l - a) / l \\ &\Pi \text{роверка: } \Sigma \ P_{y} = 0; \ R_{A} + R_{B} - P = 0 \ \rightarrow \\ &P \cdot (l - a) / l \ + P \cdot a / l - P = 0 \ \rightarrow 0 \equiv 0. \\ &M_{max} = R_{A} \cdot a = [P \cdot (l - a) / l] \cdot a \ \rightarrow [M] = R_{A} \cdot a = [P \cdot (l - a) / l] \cdot a, \\ &\text{откуда} \ \ [P] = \{[M] \cdot l\} / [(l - a) \cdot a] = \{5558 \cdot 3\} / [(3 - 1) \cdot 1] = 8337 \ H \end{split}$$

Ответ: [P] = 8337 H.

Пример 2.5.

Определить величину допустимой интенсивности равномерно распределённой нагрузки [q], приложенной к элементу колосниковой решётки. Колосниковая решётка выполнена из стального двутавра №10 ($W_x = 39,7$ см 3 см. таблицу $\Pi 9$) длиной 1 = 3 м. Допускаемое напряжение [σ] = 140 МПа.

R_{A} R_{B} R_{B

Решение

Расчётную схему элемента колосниковой решётки представляем в виде двухопорной балки, нагруженной равномерно распределённой нагрузкой. При заданном сечении балки $[M] = W_x \cdot [\sigma] = 39,7 \cdot 10^{-6} \cdot 140 \cdot 10^6 = 5558 \; H \cdot \text{M}$ При $q = [q], M_{\text{max}} = [M]$

Изгибающий момент вдоль балки изменяется по параболе от нуля в опорах до M_{max} в середине балки.

Из сопротивления материалов известно, что для такого нагружения балки имеем $M_{max}=ql^2/8$. Дальнейшее решение состоит в нахождении [q] по величине [M].

 $[M] = [q]l^2/8$, откуда $[q] = 8 \cdot [M]/l^2 = 8 \cdot 5558/3^2 = 4940 \text{ H/M}.$

Ответ: [q] = 4940 H/M.

Пример 2.6.

Определить экономичность при изгибе балок из двутавра №10 и кольцевого сечения c = d/D = 0.75. Балки имеют равновеликие сечения.

Решение

Дополнительные данные. По ГОСТ 8239–89 для двутавра №10 имеем осевой момент сопротивления $W_x = 39,7$ см³; площадь поперечного сечения F = 12 см²; высота профиля $h_{\pi p} = 10$ см (см. таблицу $\Pi 9$).

Экономичность профиля при изгибе характеризуется коэффициентом $\alpha = W_x/(F \cdot h)$. Для двутавра $\alpha_{nb} = W_{xnb}/(F_{nb} \cdot h_{nb}) = 39,7/(12 \cdot 10) = 0,33$.

Для нахождения $\alpha_{\text{кольца}}$ необходимо определить $W_{x\kappa}$, F_{κ} . Для кольца высота профиля $h_{\kappa}=D$. Задачу решаем из условия равновеликости сечений двутавра и кольца $F_{\kappa}=F_{\text{дв}}=F=12$ см².

 $F=0.785 \cdot D^2 \cdot (1-c^2) = 12 \text{ см}^2$, откуда $D = [F/0.785 \cdot (1-c^2)]^{0.5} = [12/0.785 \cdot (1-c^2)]^{0.5} = 5.91 \text{ см}$.

Находим осевой момент сопротивления $W_{x\kappa}$ кольцевого сечения, равновеликого сечению двутавра

$$W_{K} = 0.1 \cdot D^{3} \cdot (1 - c^{4}) = 0.1 \cdot 5.91^{3} \cdot (1 - 0.75^{4}) = 14.12 \text{ cm}^{3}$$

Определяем экономичность при изгибе балки кольцевого сечения, равновеликого двутавру № 10.

$$\alpha_{\kappa} = W_{\kappa}/(F \cdot D) = 14,12/(12 \cdot 5,91) = 0,2.$$

Otbet: $\alpha_{\text{дB}} = 0.33$; $\alpha_{\text{K}} = 0.2$.

3. Расчёт на прочность тонкостенных корпусов аппаратов

3.1. Основные определения и расчётные формулы

Химические аппараты в большинстве своём представляют собой оболочки в виде цилиндров, шаров, конусов или их комбинации (колонные аппараты, цилиндрические и сферические резервуары, паровые котлы и др.).

Оболочка – пространственная конструкция, ограниченная двумя криволинейными поверхностями, расстояние между которыми (толщина стенки s) мало по сравнению с остальными её размерами (рис. 3.1).

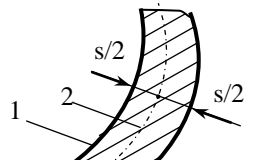


Рис. 3.1. Схема образования оболочки: 1 — внутренняя стенка; 2 — срединная поверхность; 3 — наружная стенка.

Срединная поверхноств, точки которой одинаково отстоят от внутренией и внешней стенки оболочки.

Оболочка вращения — оболочка, срединная поверхность которой, образована вращением какой-либо плоской кривой вокруг оси, лежащей в её плоскости и не пересекающей кривую.

Образующая — кривая, вращением которой образована срединная поверхность оболочки (L на рисунке 3.2). **Полюс** — точка пересечения срединной с осью вращения (т. s на рисунке 3.2).

Mepuduah — кривая пересечения срединной поверхности плоскостью, проходящей через ось, называется меридианом или первым главным сечением. Радиус кривизны ρ_m срединной поверхности в направлении меридиана называется *первым главным радиусом кривизны*. Радиус кривизны ρ_k срединной поверхности в направлении, перпендикулярном меридиану, называют *вторым главным радиусом кривизны*.

Сфера образована вращением полуокружности вокруг диаметра (рис. 3.2 а): $\rho_m = \rho_k = R$. Цилиндр образован вращением отрезка прямой вокруг оси, параллельной образующей и отстоящей от оси на расстоянии, равном радиусу цилиндра (рис. 3.2 б): $\rho_m = \infty$; $\rho_k = R$. Конус образован вращением гипотенузы треугольника вокруг одного из катетов (рис. 3.2 в): $\rho_m = \infty$; $\rho_k = r/\cos\alpha$.

Расчёт на прочность тонкостенных оболочек основан на безмоментной теории, согласно которой при расчёте учитывают только растягивающие или сжимающие усилия в стенке оболочки, возникающих при действии рабочих нагрузок. Основное уравнение безмоментной теории — уравнение Лапласа

$$\frac{\sigma_m}{\rho_m} + \frac{\sigma_k}{\rho_k} = \frac{p}{s_p} \tag{3.1}$$

здесь σ_m — меридиональное напряжение; σ_k (σ_t) — кольцевое (окружное) напряжение; ρ_m — радиус кривизны срединной поверхности оболочки в направлении меридиональной кривой; ρ_k — радиус кривизны срединной поверхности оболочки в направлении, перпендикулярном меридиональной кривой; ρ_k — внутреннее избыточное давление; ρ_k — расчётная толщина стенки оболочки.

Уравнение Лапласа справедливо для тонкостенных оболочек. Условие тонкостенности оболочек имеет вид:

для обечаек и труб $D_B \ge 200$ мм

$$\frac{s_p + c}{D_R} \le 0.1$$
 (3.2 a)

для труб $D_B < 200$ мм

$$\frac{s_p + c}{D_B} \le 0.3 \tag{3.2.6}$$

здесь $(s_p + c)$ — исполнительная толщина стенки оболочки; D_B — внутренний диаметр оболочки.

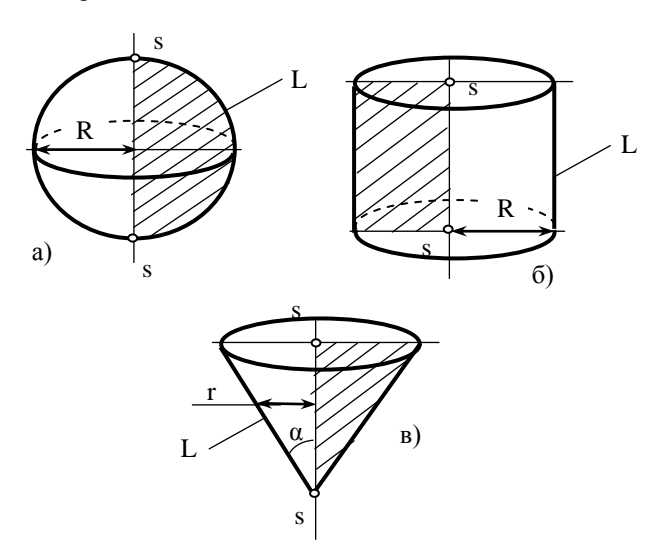


Рис. 3.2. Схемы образования срединной поверхности сферы (а), цилиндра (б), конуса (в): s – полюс срединной поверхности; L – образующая срединной поверхности.

В таблице 3.1. приведены формулы для определения расчётной толщины стенки и допустимого давления тонкостенных оболочек и днищ аппаратов, нагруженных внутренним давлением.

Таблица 3.1 - Формулы для определения расчётной толщины стенки и допустимого давления тонкостенных оболочек

Вид	Расчётная схема	Формулы
Сферическая оболочка	D _R	$s_{p} = \frac{p \cdot D_{B}}{4 \cdot \varphi \cdot [\sigma] - p} $ (3.3) $[p] = \frac{4 \cdot \varphi \cdot [\sigma] \cdot (s - c)}{D_{B} + (s - c)} $ (3.4)
Цилиндрическая обечайка	D _B	$s_{p} = \frac{p \cdot D_{B}}{2 \cdot \varphi \cdot [\sigma] - p} $ (3.5) $[p] = \frac{2 \cdot \varphi \cdot [\sigma] \cdot (s - c)}{D_{B} + (s - c)} $ (3.6)
Коническое днище 2α ≤ 120°	D_{B}	$s_{p} = \frac{p \cdot D_{B}}{(2 \cdot \varphi \cdot [\sigma] - p) \cdot \cos \alpha} $ (3.7) $[p] = \frac{2 \cdot \varphi \cdot [\sigma] \cdot (s - c) \cdot \cos \alpha}{D_{B} + (s - c)} $ (3.8)
Стандартное эллиптическое отбортованное днище	D _B	$s_{p} = \frac{p \cdot D_{B}}{2 \cdot \varphi \cdot [\sigma] - 0.5 \cdot p} $ (3.9) $[p] = \frac{2 \cdot \varphi \cdot [\sigma] \cdot (s - c)}{D_{B} + 0.5 \cdot (s - c)} $ (3.10)

Вид	Расчётная схема	Формулы
Плоское неотбортованное днище тип 1	S D _B	$s_{1p} = \frac{k}{k_0} \cdot D_B \cdot \sqrt{\frac{p}{[\sigma]}} (3.11)$ $[p] = \left[\frac{k_0}{k} \cdot \frac{(s_1 - c)}{D_B}\right]^2 \cdot [\sigma] (3.12)$

Пояснения: D_B — внутренний диаметр; s_p — расчётная толщина стенки оболочки; s — исполнительная толщина стенки оболочки; c — прибавка к расчётной толщине стенки; p — внутреннее давление; ϕ — коэффициент прочности сварного шва (таблица Π 10); $[\sigma]$ — допускаемое напряжение материала оболочки при рабочей температуре (таблицы Π 10— Π 13); h — высота борта эллиптического днища; h_B — внутренняя высота выпуклой части эллиптического днища; s_{1p} —расчётная толщина плоского днища; s_{1} — исполнительная толщина плоского днища; k — коэффициент конструкции плоского днища; k — коэффициент ослабления отверстия диаметром d; при $d/D_B \le 0.35 \ k_0 = 1 - 0.43 \cdot d/D_B$; при $0.35 < d/D_B \le 0.75 \ k_0 = 0.85$; при наличии нескольких отверстий $k_0 = (1 - d/D_B)^{0.5}$

Толщину стенки сосудов и аппаратов, работающих под наливом или атмосферным давлением, выбирают из конструктивных или технологических соображений с последующей проверкой на прочность и устойчивость. С учётом технологии изготовления, жёсткости и качества сварных швов не рекомендуется применять исполнительную толщину стенки сосудов и аппаратов менее 3 мм. Для кожухотрубчатых теплообменников толщину стенки кожуха рекомендуется выбирать в зависимости от диаметра аппарата и категории стали согласно данным таблицы 3.2.

Таблица 3.2 - Минимальная толщина кожуха теплообменников TH^* и TK^{**}

	Толш	цина (мм	і) стенки	і кожуха	при диа	аметре
Сталь			аппара	ата (мм)		
	до 500	600	800	1000	1200	1400
Углеродистая и	5	6	6	6	6	6
низколегированная						
Высоколегированная	3	4	4	6	6	6
хромоникелевая						

Пояснения: ТН – кожухотрубчатый теплообменник с неподвижными трубными решётками; ТК – то же с компенсатором на кожухе

Для цельносварного цилиндрического аппарата с неотбортованными днищами (рис. 3.3) с заданными объёмом V и базовым диаметром $D=D_B$ площадь поверхности элементов находим по формулам

$$F_{ij} = \frac{4 \cdot V}{D} - 1,05 \cdot D^2 \tag{3.13}$$

$$F_{\partial u} = 1,24 \cdot D^2 \tag{3.14}$$

$$F_{\Sigma} = F_{\mu} + 2 \cdot F_{\partial \mu} \quad , \tag{3.15}$$

здесь $F_{\text{п}}, F_{\text{дн}}, F_{\Sigma}$ – площадь поверхности цилиндрической обечайки, эллиптического днища, всего аппарата, соответственно

Высота элементов аппарата находится по формулам (см. рис. 3.3)

$$L_{u} = \frac{4 \cdot V}{\pi \cdot D^{2}} - \frac{D}{3} \tag{3.16}$$

$$h_{\scriptscriptstyle R} = 0.25 \cdot D \tag{3.17}$$

$$L_{\Sigma} = L_{\mu} + 2 \cdot h_{B} = \frac{4 \cdot V}{\pi \cdot D^{2}} + 0.17 \cdot D,$$
 (3.18)

здесь $L_{\rm u}$ – высота цилиндрической обечайки, h_B – внутренняя высота выпуклой части эллиптического днища; L_Σ – общая высота, соответственно.

Коническое днище изготовляют вальцовкой из листового проката. Размеры днища, необходимые при конструировании аппарата с коническим днищем, определяются, опираясь на значения внутреннего диаметра аппарата D_B и угла конуса днища (рис. 3.4 а).

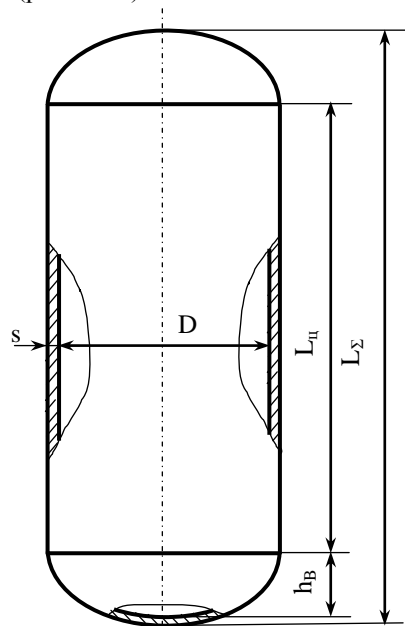


Рис. 3.3. Схема цельносварного цилиндрического аппарата с неотботованными эллиптическими днищами. Обозначения: D_B –внутренний диаметр обечайки; s – толщина стенки; h_B – внутренняя высота выпуклой части днища; $L_{\rm II}$ – высота обечайки; L_{Σ} – общая высота аппарата Высота h_{κ} днища

$$h_{\kappa} = \frac{D_B}{2 \cdot tg \,\alpha_k} \tag{3.19}$$

Длина образующей l_{κ} днища

$$l_k = \frac{D_B}{2 \cdot \sin \alpha_k} \tag{3.20}$$

Угол развёртки фк днища

$$\varphi_k = 360 \cdot \sin \alpha_k \tag{3.21}$$

Размеры A×B листовой заготовки для конического днища (рис. 3.4 б) определяются в зависимости от величины угла конуса α_{κ} днища по формулам, приведенным в таблице 3.3.

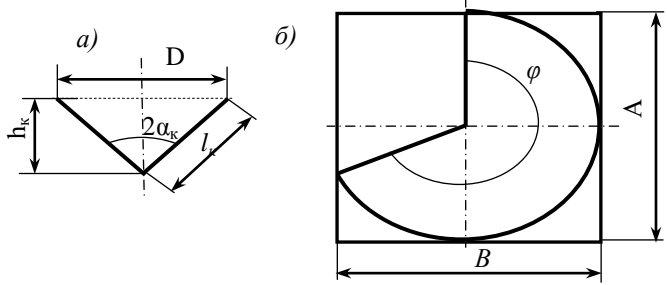


Рис. 3.4. Схемы к определению размеров конического днища: а) эскиз конического днища аппарата; б) развёртка конического неотбортованного днища. Обозначения: D_B — внутренний диаметр аппарата; l_{κ} — длина образующей днища; $2\alpha_{\kappa}$ — угол конуса днища; A, B — размеры листа заготовки; ϕ_{κ} — угол развёртки

Поверхность F_{κ} конического днища

$$F_{\kappa} = 0.785 \cdot \frac{D_B^2}{\sin \alpha_{\kappa}} \tag{3.22}$$

Вместимость V_{κ} конического днища

$$V_{\kappa} = 0.131 \cdot \frac{D_B^3}{tg\alpha_k} \tag{3.23}$$

Таблица 3.3 - Размеры А, В листа заготовки для конического неотбортованного днища

$\alpha_{\scriptscriptstyle K}$	ϕ_{κ}	A	В						
до 30°	менее 180°	$l_{\kappa} \cdot [1-\sin{(180-\phi_{\kappa})}]$	1_{κ}						
30°	180°	2·1 _K	l_{κ}						
3048,6°	180270°	2·1 _K	l_{κ} ·[1+sin (φ_{κ} -180)]						
более 48,6°	более 270°	2·1 _K	$2 \cdot l_{\kappa}$						
Пояснения	Пояснения: α _к , φ _κ , 1 _к , A, B см. на рис. 3.4								

3.2. Примеры расчёта

Пример 3.1.

Для стальных аппаратов, работающих под внутренним давлением.

- 1. Определить расчётную толщину стенки тонкостенных аппаратов разного конструктивного исполнения: а) сферическая обечайка; б) цилиндрическая обечайка; в) стандартное эллиптическое днище; г) коническое днище $2\alpha = 90^{\circ}$.
- 2. Проверить выполнение условия тонкостенности для аппарата с наибольшей толщиной стенки.

Исходные данные: внутренний диаметр аппарата $D_B=1000$ мм; допускаемое напряжение [σ] = 147 МПа; давление в аппарате p=1 МПа; коэффициент прочности сварного шва $\phi=1$ (сварка автоматическая); конструктивная прибавка c=1 мм.

Решение

1. Определение расчётной толщины стенки. Формулы для определения расчётной толщины стенки тонкостенных аппаратов, работающих под внутренним давлением см. в таблице 3.1.

$$\begin{array}{l} 1,\,\mathrm{a})\,\,\,s_{_{p,c\phi}} = \frac{p\cdot D_{_B}}{4\cdot\varphi\cdot[\sigma]-p} = \,\,\frac{1\cdot 1000}{4\cdot 1\cdot 147-1} = 1,7\,\,\mathrm{mm} \\ \\ 1,\,\mathrm{f})\,\,\,s_{_{p,\mu}} = \frac{p\cdot D_{_B}}{2\cdot\varphi\cdot[\sigma]-p} = \,\,\frac{1\cdot 1000}{2\cdot 1\cdot 147-1} = 3,41\,\,\mathrm{mm} \\ \\ 1,\,\mathrm{b})\,\,\,s_{_{p,\eta,\partial}} = \frac{p\cdot D_{_B}}{2\cdot\varphi\cdot[\sigma]-0,5\cdot p} = \frac{1\cdot 1000}{2\cdot 1\cdot 147-0,5\cdot 1} = 3,4\,\,\mathrm{mm} \end{array}$$

1, Γ)
$$s_{p,\kappa o \mu, \delta} = \frac{p \cdot D_B}{(2 \cdot \varphi \cdot [\sigma] - p) \cdot \cos \alpha} = \frac{1 \cdot 1000}{(2 \cdot 1 \cdot 147 - 1) \cdot \cos 45} = 4,83 \text{ mm}$$

Анализ результатов: при прочих равных условиях наибольшую толщину стенки имеет коническое днище.

2. Проверка условия тонкостенности. Проверку условия тонкостенности проводим для конического днища, как имеющего наибольшую расчётную толщину стенки.

$$\frac{s_{_{p. KOH.\partial}}+c}{D_{_{B}}}=\frac{4,83+1}{1000}=~0,00583~<~0,1~$$
 . Условие тонкостенности

выполняется.

Ответ: $s_{p.c\varphi} = 1.7$ мм; $s_{p.ii} = 3.41$ мм; $s_{p.эл.д} = 3.4$ мм; $s_{p.кон.д} = 4.83$ мм.

Пример 3.2.

Тонкостенные аппараты работают под внутренним давлением. Определить допустимое давление для аппаратов разного конструктивного исполнения: а) сферическая обечайка; б) цилиндрическая обечайка; в) стандартное эллиптическое днище; г) коническое днище $2\alpha = 90^{\circ}$.

Исходные данные: исполнительная толщина стенки s=5 мм; внутренний диаметр аппарата $D_B=1000$ мм; допускаемое напряжение $[\sigma]=147$ МПа; коэффициент прочности сварного шва $\phi=1$ (сварка автоматическая); конструктивная прибавка c=1 мм.

Решение

Формулы для определения допустимого давления для тонкостенных аппаратов, работающих под внутренним давлением см. в таблице 3.1.

a)
$$[p]_{c\phi} = \frac{4 \cdot \varphi \cdot [\sigma] \cdot (s - c)}{D_B + (s - c)} = \frac{4 \cdot 1 \cdot 147 \cdot (5 - 1)}{1000 + (5 - 1)} = 2,34 \text{ M}\Pi a$$

6) $[p]_{u} = \frac{2 \cdot \varphi \cdot [\sigma] \cdot (s - c)}{D_B + (s - c)} = \frac{2 \cdot 1 \cdot 147 \cdot (5 - 1)}{1000 + (5 - 1)} = 1,17 \text{ M}\Pi a$

в)
$$[p]_{\mathfrak{I}_{33.\partial}} = \frac{2 \cdot \varphi \cdot [\sigma] \cdot (s-c)}{D_B + 0.5 \cdot (s-c)} = \frac{2 \cdot 1 \cdot 147 \cdot (5-1)}{1000 + 0.5 \cdot (5-1)} = 1,174 \text{ МПа}$$

$$\Gamma) \ [p]_{_{KOH.\partial}} = \frac{2 \cdot \varphi \cdot [\sigma] \cdot (s - c) \cdot \cos \alpha}{D_{_B} + (s - c)} = \frac{2 \cdot 1 \cdot 147 \cdot (5 - 1) \cdot \cos 45}{1000 + (5 - 1)} = 0,83 \ \text{M}\Pi \text{a}$$

Анализ результатов: при прочих равных условиях наибольшее допускаемое давление стенки имеет сферический аппарат.

Ответ: $[p]_{c\phi} = 2,24$ МПа; $[p]_{ii} = 1,17$ МПа; $[p]_{эл.д} = 1,174$ МПа; $[p]_{кон.д} = 0,83$ МПа.

Пример 3.3.

Определить расчётную толщину плоского неотбортованного стального днища (тип 1) аппарата, нагруженного внутренним давлением. Днище имеет центральное отверстие диаметром d = 100 мм.

Исходные данные: внутренний диаметр аппарата $D_B = 600$ мм; допускаемое напряжение стали $[\sigma] = 140$ МПа; давление в аппарате p = 0,1 МПа.

Решение

Формулу для определения расчётной толщины плоского неотботованного днища см. в таблице 3.1.

Предварительные расчёты: для плоского днища типа 1 имеем k=0.55; при $d/D_B=100/600=0.17<0.35$, принимаем $k_0=1-0.43\cdot100/600=0.93$

$$s_{1p} = \frac{k}{k_0} \cdot D_B \cdot \sqrt{\frac{p}{[\sigma]}} = \frac{0.55}{0.93} \cdot 600 \cdot \sqrt{\frac{0.1}{140}} = 9.5 \text{ mm}$$

Otbet: $s_{1p} = 9.5 \text{ MM}$

Пример 3.4.

Определить допускаемое рабочее давление в стальном аппарате с плоским неотбортованным днищем (тип 1). Днище не имеет технологических отверстий.

Исходные данные: внутренний диаметр аппарата $D_B=600$ мм; допускаемое напряжение стали $[\sigma]=140$ МПа; исполнительная толщина стенки аппарата $s_1=9$ мм; конструктивная прибавка к толщине стенки c=1 мм.

Решение

Формулу для определения допускаемого давления в аппарате с плоским неотботованным днищем см. в таблице 3.1.

Предварительно принимаем значения коэффициентов в формуле (3.12): $k_0 = 1; k = 0,55$

$$[p] = \left[\frac{k_0}{k} \cdot \frac{(s_1 - c)}{D_B}\right]^2 \cdot [\sigma] = \left[\frac{1}{0,55} \cdot \frac{(9 - 1)}{600}\right]^2 \cdot 140 = 0,08 \text{ M}\Pi a$$

Ответ: [р] = 0,08 МПа

Пример 3.5.

Определить исполнительную толщину стенки и массу плоского неотбортованного (тип 1) и стандартного эллиптического отбортованного днищ стального аппарата, работающего под внутренним давлением. Днища не имеют технологических отверстий.

Исходные данные: внутренний диаметр аппарата $D_B=600$ мм; допускаемое напряжение стали $[\sigma]=140$ МПа; давление в аппарате p=0,5 МПа; коэффициент прочности сварного шва $\phi=1$; конструктивная прибавка к толщине стенки c=1 мм.

Решение

По формулам таблицы 3.1 определяем исполнительную толщину днищ Эллиптическое днище

$$s_{\text{\tiny 3.7}} = \frac{p \cdot D_{\text{\tiny B}}}{2 \cdot \varphi \cdot [\sigma] - 0.5 \cdot p} + c = \frac{0.5 \cdot 600}{2 \cdot 1 \cdot 140 - 0.5 \cdot 0.5} + 1 = 2.07 \text{ mm}$$

Плоское днище типа 1, не имеющее технологических отверстий. Расчётные коэффициенты: $k=0,55;\,k_0=1$

$$s_1 = \frac{k}{k_0} \cdot D_B \cdot \sqrt{\frac{p}{[\sigma]}} + c = \frac{0.55}{1} \cdot 600 \cdot \sqrt{\frac{0.5}{140}} + 1 = 20.7 \text{ mm}$$

Определяем массу днищ. Принимаем плотность стали $\rho = 7850 \text{ кг/м}^3$ Массу плоского днища определяем расчётом

$$m_{\text{пл}} = 0.785 \cdot D_{\text{B}}^2 \cdot s_1 \cdot \rho = 0.785 \cdot 0.6^2 \cdot 0.0207 \cdot 7850 = 45.9 \text{ kg}$$

Массу эллиптического днища определяем по таблицам ГОСТ 67533—68. Принимаем толщину стенки $s_{\scriptscriptstyle 3\pi}=4$ мм, тогда масса днища при $D_B=600$ мм составит $m_{\scriptscriptstyle 3\pi}=13.9$ кг (см. таблицу П 14).

Ответ: $m_{\text{пл}} = 45.9 \text{ кг}; m_{\text{эл}} = 13.9 \text{ кг}$

Пример 3.6.

Цельносварной цилиндрический аппарат с неотбортованными эллиптическими днищами (см. рис. 3.3) подлежит гуммированию. Определить площадь поверхности аппарата, опираясь в качестве базового на внутренний диаметр аппарата. Исходные данные: объём полости аппарата $V = 1 \text{ m}^3$, базовый диаметр $D_B = 0.6 \text{ m}$.

Решение

Расчётные формулы см. в 3.1

Поверхность цилиндрической части аппарата

$$F_{ij} = \frac{4 \cdot V}{D} - 1,05 \cdot D^2 = \frac{4 \cdot 1}{0,6} - 1,05 \cdot 0,6^2 = 6,299 \text{ m}^2$$

Поверхность неотбортованного эллиптического днища

$$F_{\alpha\mu} = 1.24 \cdot D^2 = 1.24 \cdot 0.6^2 = 0.4464 \text{ m}^2$$

Общая площадь поверхности аппарата

$$F_{\Sigma} = F_{u} + 2 \cdot F_{\partial H} = 6,299 + 2 \cdot 0,4464 = 6,6754 \text{ m}^{2}$$

Otbet: $F_{\Sigma} = 6,6754 \text{ m}^2$

Пример 3.7.

Определить высоту цельносварного цилиндрического аппарата с неотбортованными эллиптическими днищами (см. рис. 3.3), опираясь в

качестве базового на внутренний диаметр аппарата. Исходные данные: объём полости аппарата $V = 1 \text{ м}^3$, базовый диаметр $D_B = 0.6 \text{ м}$.

Решение

Расчётные формулы см. в 3.1

$$L_{u} = \frac{4 \cdot V}{\pi \cdot D^{2}} - \frac{D}{3} = \frac{4 \cdot 1}{\pi \cdot 0.6^{2}} - \frac{0.6}{3} = 3.34 \text{ M}$$

$$h_{B} = 0.25 \cdot D = 0.25 \cdot 0.6 = 0.15 \text{ M}$$

$$L_{\Sigma} = L_{u} + 2 \cdot h_{B} = 3.34 + 2 \cdot 0.15 = 3.64 \text{ M}$$

Otbet: $L_{\Sigma} = 3.64 \text{ M}$

Пример 3.8.

Определить площадь поверхности и вместимость конического неотбортованного днища (рис. 3.4 а). Исходные данные: внутренний диаметр аппарата $D_B = 0.6$ м, угол конуса днища $\alpha_\kappa = 45^\circ$.

Решение

Расчётные формулы см. 3.1.

Площадь поверхности днища

$$F_{\kappa} = 0.785 \cdot \frac{D_{B}^{2}}{\sin \alpha_{\nu}} = 0.785 \cdot \frac{0.6^{2}}{\sin 45} = 0.4 \text{ m}^{2}$$

Вместимость днища

$$V_{\kappa} = 0.131 \cdot \frac{D_{B}^{3}}{tg\alpha_{k}} = 0.131 \cdot \frac{0.6^{3}}{tg45} = 0.028 \text{ m}^{3}$$

Ответ: $F_{K} = 0.4 \text{ m}^{2}$; $V_{K} = 0.028 \text{ m}^{3}$

Пример 3.9.

Определить размеры заготовки из листа для конического неотбортованного днища (рис. 3.4 б). Исходные данные: внутренний диаметр аппарата $D_B=0.6$ м, угол конуса днища $\alpha_\kappa=45^\circ$.

Решение

Расчётные формулы см. 3.1.

Определим дополнительные данные днища

$$l_k = \frac{D_B}{2 \cdot \sin \alpha_k} = \frac{0.6}{2 \cdot \sin 45} = 0.424 \text{ m}$$

$$\varphi_k = 360 \cdot \sin \alpha_k = 360 \cdot \sin 45 = 254,6^{\circ}$$

По таблице 3.3 выбираем формулы для определения A и B. Для $30 < \alpha_{\kappa} < 48,6^{\circ}$ имеем

$$A=2\cdot l_{\kappa}=2\cdot 0,424=0,848~\text{m} \\ B=l_{\kappa}\cdot [1+sin~(\phi_{\kappa}~-180)]=0,424\cdot [1+sin~(254,6~-180)]=0,833~\text{m}$$

Ответ: A = 0.848 m; B = 0.833 m

4. Расчёт укрепления отверстий тонкостенных аппаратов

4.1. Расчётные формулы

В обечайках и днищах тонкостенных аппаратов вырезают технологические отверстия для установки штуцеров, люков и др. (рис. 4.1).

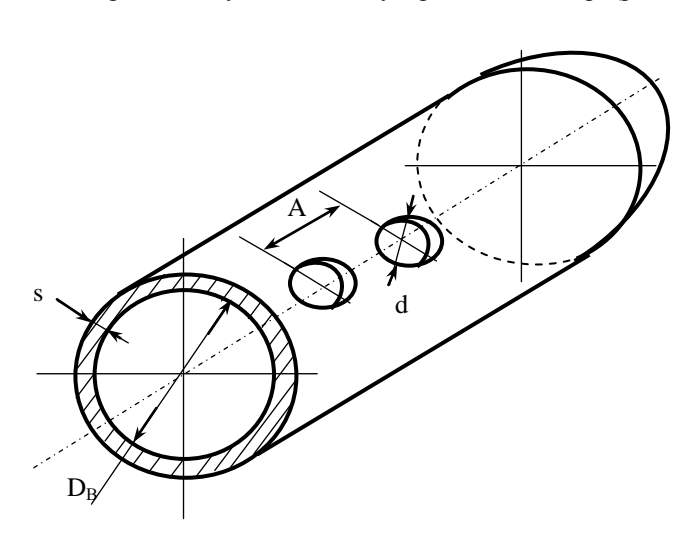


Рис. 4.1. Тонкостенный аппарат с технологическими отверстиями (схема)

Отверстия ослабляют сечение, воспринимающее нагрузку, и являются концентраторами напряжений.

Укрепление отверстия представляет собой конструктивные изменения для компенсации металла, удалённого при изготовлении отверстия.

Условие прочности укрепления выреза

$$F_0 \le \Sigma F_i, \tag{4.1}$$

здесь F_0 — расчётная площадь поперечного сечения металла стенки, удалённого вырезом; Σ F_i — сумма площадей поперечного сечения укрепляющих конструктивных элементов.

$$F_0 = (d - d_{\partial}) \cdot s_p, \tag{4.2}$$

здесь d — диаметр ослабляющего отверстия (рис. 4.1); d_{∂} — допустимый диаметр отверстия, не требующего укрепления; s_p = (s-c) — расчётная толщина стенки (рис. 4.1).

Значение допустимого диаметра отверстия, не требующего укрепления, определяется в зависимости от формы аппарата (цилиндр, эллипс, конус и др.). Для цилиндрической обечайки величина d_{α} определяется

$$d_{\hat{\sigma}} = 2 \cdot \left[\left(\frac{s - c}{s_p} - 0.8 \right) \cdot \sqrt{D_B \cdot (s - c)} - c \right]$$
 (4.3)

Формула (4.3) применима при наличии избыточной толщины стенки обечайки.

Конструктивные способы укрепления отверстий см. [2 с.499]:

- утолщение стенки обечайки;
- приварным патрубком с внешней и внешней и внутренней стороны;
- приварным кольцом (снаружи; снаружи и изнутри);
- отбортовкой стенки;
- бобышками (врезной и накладной).

Если в обечайке несколько отверстий (рис. 4.2.), то при расчёте укрепления определяется **наименьшее** (допустимое) расстояние A_{∂} между центрами двух смежных отверстий, при укреплении которых не требуется учитывать их взаимное влияние

$$A_{\hat{c}} = 0.7 \cdot (d_{n1} + d_{n2}) + 2 \cdot s_{n1} + 2 \cdot s_{n2}, \tag{4.4}$$

здесь d_{n1} , d_{n2} – внутренний диаметр патрубков штуцеров; s_{n1} , s_{n2} – толщина стенки патрубков (см. рис 4.2)

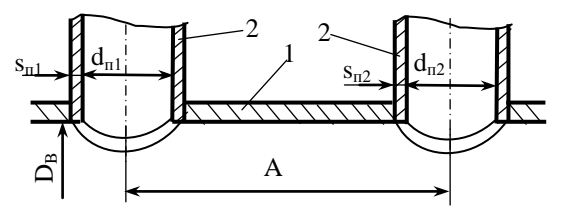


Рис. 4.2. Схема обечайки со смежными отверстиями: 1 – обечайка; 2 – патрубок штуцера

Если конструктивное расстояние между отверстиями A (см. рис. 4.2) больше расчётного значения A_∂ , то взаимное влияние отверстий не учитывается и расчёт укрепления отверстий проводится как для одиночных. В противном случае, когда $A < A_\partial$, требуется учитывать взаимное влияние отверстий. В этом случае расчёт укрепления проводят для одиночного отверстия с некоторым условным диаметром d_v

$$d_{v} = A + 0.5 \cdot (d_{n1} + d_{n2}) + 2 \cdot c \tag{4.5}$$

4.2. Примеры расчёта

Пример 4.1.

Проверить необходимость укрепления одиночного отверстия для трубы с наружным диаметром $d_H=162$ мм в цилиндрической обечайке с внутренним диаметром $D_B=1000$ мм. Исходные данные: расчётная толщина стенки обечайки $s_p=3,4$ мм, исполнительная толщина стенки обечайки s=5 мм, конструктивная прибавка к толщине стенки обечайки s=1 мм.

Решение

Для выяснения необходимости укрепления отверстия следует его диаметр d_Π сравнить со значением расчётного диаметра d_∂ отверстия, не требующего укрепления. Расчётные формулы см. в разделе 4.1.

$$d_{\partial} = 2 \cdot \left[\left(\frac{s - c}{s_p} - 0.8 \right) \cdot \sqrt{D_B \cdot (s - c)} - c \right] =$$

$$= 2 \cdot \left[\left(\frac{5 - 1}{3.4} - 0.8 \right) \cdot \sqrt{1000 \cdot (5 - 1)} - 1 \right] = 46 \text{ mm}$$

Поскольку $d_{\rm H}$ =162 мм > $d_{\rm \partial}$ = 46 мм, поэтому отверстие в обечайке требует укрепления.

Ответ: Отверстие в обечайке под трубу $d_{\rm H}$ =162 мм требует укрепления.

Пример 4.2.

В обечайке размещены два патрубка из трубы с внутренним диаметром $d_{\Pi 1}=d_{\Pi 2}=180$ мм. Расстояние между осями патрубков A=250 мм. Толщина

стенки патрубков $s_{\Pi 1} = s_{\Pi 2} = 5$ мм. Определить необходимость учёта взаимного влияния отверстий для патрубков при их укреплении.

Решение

Для выяснения необходимости учёта взаимного влияния отверстий при их укреплении следует расстояние между осями патрубков A сравнить со значением расчётного допустимого расстояния A_{∂} , при котором отверстия можно рассматривать как одиночные. Расчётные формулы см. в разделе 4.1.

$$A_{\hat{\sigma}} = 0.7 \cdot (d_{\Pi 1} + d_{\Pi 2}) + 2 \cdot s_{\Pi 1} + 2 \cdot s_{\Pi 2} = 0.7 \cdot (180 + 180) + 2 \cdot 5 + 2 \cdot 5 = 272 \text{ mm}$$

Анализ: поскольку $A = 250 \text{ мм} < A_{\partial} = 272 \text{ мм}$, то при укреплении отверстий в обечайке требуется учитывать их взаимное влияние.

Ответ: при укреплении отверстий в обечайке требуется учитывать их взаимное влияние

Пример 4.3.

В обечайке размещены два патрубка из трубы с внутренним диаметром $d_{\Pi 1}=d_{\Pi 2}=180\,$ мм. Расстояние между осями патрубков $A=250\,$ мм. Из предварительных расчётов получено, что при укреплении отверстий требуется учитывать их взаимное влияние. Определить значение условного диаметра отверстия при расчёте укрепления двух смежных отверстий. Дополнительные данные: конструктивная прибавка к толщине стенки патрубка $c=1\,$ мм.

Решение

Расчётную формулу для определения условного диаметра отверстия $\, d_y \,$ см. в разделе 4.1.

$$d_y = A + 0.5 \cdot (d_{\Pi 1} + d_{\Pi 2}) + 2 \cdot c = 250 + 0.5 \cdot (180 + 180) + 2 \cdot 1 = 432$$
 мм Ответ: $d_y = 432$ мм.

5. Расчёт устойчивости формы тонкостенных аппаратов

5.1. Расчётные формулы

Тонкостенный цилиндр под внешним давлением находится в менее благоприятных условиях по сравнению с цилиндром, нагруженным внутренним давлением. Внешнее давление приводит к нарушению цилиндричности формы аппарата. Сохранение первоначальных размеров и формы аппаратов является обязательным условием нормальной эксплуатации аппаратов. Поэтому расчёт аппаратов, работающих под внешним давлением, предусматривает определение толщины стенки, обеспечивающей прочность и неизменность формы (устойчивость) корпуса аппарата.

В этом случае внешнее расчётное давление $p_{\text{нр}}$ определяется как разность между внешним давлением $p_{\text{вн}}$ и остаточным давлением в аппарате $p_{\text{ост}}$.

$$p_{{}_{\!\mathit{HP}}} = p_{{}_{\!\mathit{GH}}} - p_{{}_{\!\mathit{OCM}}}$$

Для аппаратов, работающих под вакуумом, внешнее давление принимается равным атмосферному $p_{\text{вн}} = p_a = 0.1 \text{ М}\Pi a = 1 \text{ кгс/см}^2$. Для аппаратов с рубашкой внешнее давление принимается равным давлению в рубашке $p_{\text{вн}} = p_{\text{руб}}$.

Критическое давление – внешнее давление, при котором поперечное сечение первоначально круглой обечайки, теряет первоначальную форму, называется критическим. На её поверхности образуются вмятины и она теряет свою первоначальную цилиндрическую форму. При расчёте тонкостенных цилиндров на устойчивость к действию внешнего давления обечайки подразделяются на гладкие обечайки (рис. 5.1) и обечайки, укреплённые кольцами жёсткости.

В зависимости от соотношения длины и диаметра обечайки, находящиеся под внешним давлением, подразделяются на две категории: короткие и длинные. Категория обечайки определения по соотношению расчётной L и характеристической l_0 длины

$$L = L_1 + h + h_R \tag{5.1}$$

$$l_0 = 8.15 \cdot D_B \cdot \sqrt{\frac{D_B}{100 \cdot (s - c)}}, \tag{5.2}$$

здесь величины, входящие в формулы (5.1, 5.2) см. на рис. 5.1 Для коротких обечаек имеем соотношение длины к диаметру

$$1.5 \cdot \sqrt{\frac{2 \cdot (s-c)}{D_B}} \le \frac{L}{D_B} \le \sqrt{\frac{D_B}{2 \cdot (s-c)}} \tag{5.3}$$

Устойчивость коротких обечаек зависит от заделки их краёв. Для длинных обечаек отношение длины к диаметру определяется

$$\frac{L}{D_B} > \sqrt{\frac{D_B}{2 \cdot (s - c)}} \tag{5.4}$$

Условие работы в пределах упругости короткой гладкой обечайки

$$0.052 \cdot \sqrt[6]{\frac{p_p}{10^{-6}E}} \le \frac{L}{D_B} \le 7.68 \cdot \sqrt[6]{\frac{10^{-6}E}{p_p}} \quad (5.5)$$

Устойчивость коротких обечаек зависит от заделки их краёв. Для длинных обечаек отношение длины к диаметру определяется

$$\frac{L}{D_B} > \sqrt{\frac{D_B}{2 \cdot (s - c)}} \tag{5.4}$$

Условие работы в пределах упругости короткой гладкой обечайки

$$0.052 \cdot \sqrt[6]{\frac{p_p}{10^{-6}E}} \le \frac{L}{D_R} \le 7.68 \cdot \sqrt[6]{\frac{10^{-6}E}{p_p}} \quad (5.5)$$

Расчётная толщина стенки короткой обечайки, работающей в пределах упругости, определяется по формуле

$$s_p = 0.47 \cdot \frac{D_B}{100} \cdot \left(\frac{p_{np}}{10^{-6} E} \cdot \frac{L}{D_B} \right)^{0.4} ,$$
 (5.6)

где p_{HP} – расчётное давление в аппарате; E – модуль упругости материала при расчётной температуре, МПа (таблица П 9).

Допускаемое давление для гладкой короткой обечайки, работающей в пределах упругости, из условия устойчивости определяют по формуле

$$[p_{\text{H}}]_{\text{E}} = \frac{18 \cdot 10^{-6} \cdot E}{n_{\text{y}}} \cdot \frac{D_{\text{B}}}{l_{\text{p}}} \cdot \left[\frac{100 \cdot (s-c)}{D_{\text{B}}} \right]^{2} \cdot \sqrt{\frac{100 \cdot (s-c)}{D_{\text{B}}}} , (5.7)$$

здесь E- модуль упругости материала обечайки при рабочей температуре; $n_y=2,4-$ коэффициент запаса устойчивости в рабочих условиях.

Формулы (5.4) и (5.5) применимы при условии

$$\frac{s - c}{D_B} \le 1,1 \cdot 10^{-2} \cdot \sqrt[3]{\left(\frac{L}{D_B}\right)^2 \cdot \left(\frac{\sigma_T}{10^{-3}E}\right)^2}$$
 (5.8)

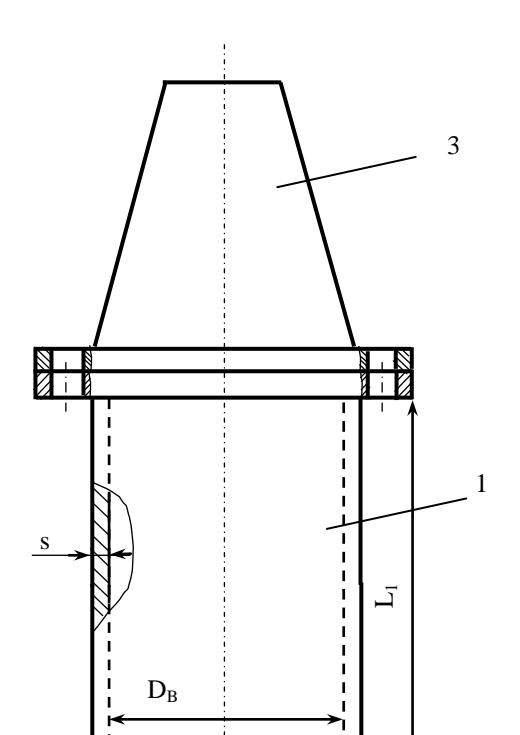


Рис. 5.1. Аппарат с перемешивающим устройством, работающий под внешним давлением (схема): 1 — гладкая обечайка; 2 — эллиптическое отбортованное днище; 3 — перемешивающее устройство; 4 — опора

Если условие (5.8) не выполняется, то $[p_H]_E$ при заданной толщине стенки находят по формуле

$$[p_H]_E = \frac{2 \cdot E \cdot (s - c)}{D_B \cdot \xi_1} , \qquad (5.9)$$

где
$$\xi_1 = \frac{1.5 \cdot E}{\sigma_T} + 1.53 \cdot \frac{\sigma_T}{E} \cdot \frac{D_B}{s - c} \cdot \left(\frac{L}{s - c}\right)^2$$

Толщину стенки длинных гладких обечаек, работающих под наружным давлением в пределах упругости и удовлетворяющих условию

$$\frac{L}{D_{\scriptscriptstyle B}} > 7,68 \cdot \sqrt[6]{\frac{10^{-6}E}{p_{\scriptscriptstyle p}}}$$
 , определяют по формуле

$$s_p = 1,06 \cdot \frac{D_B}{100} \sqrt[3]{\frac{p_p}{10^{-6}E}}$$
 (5.10)

Допустимое давление для длинных гладких обечаек при условии $\frac{L}{D_{\scriptscriptstyle B}} = \sqrt{\frac{D_{\scriptscriptstyle B}}{2 \cdot (s-c)}} \, \text{находят по формуле}$

$$[p_H]_E = 0.85 \cdot 10^{-6} E \cdot \left[\frac{100 \cdot (s - c)}{D_R} \right]^3$$
 (5.11)

Допускаемое давление для гладкой короткой обечайки, работающей в пределах упругости, из условия прочности определяют по формуле

$$[p_H]_{\sigma} = \frac{2 \cdot [\sigma] \cdot (s - c)}{D_p + s - c} \tag{5.12}$$

Допускаемое давление для гладкой короткой обечайки, работающей в пределах упругости, из условия прочности и устойчивости определяют по формуле

$$[p_{H}] = \frac{[p_{H}]_{\sigma}}{\sqrt{1 + \left(\frac{[p_{H}]_{\sigma}}{[p_{H}]_{E}}\right)^{2}}}$$
(5.13)

Если на обечайку помимо наружного давления действует осевое сжимающее усилие, то необходимо учитывать влияние на устойчивость совместного влияния наружного давления и осевого сжимающего усилия.

Допустимое осевое сжимающее усилие из условия прочности определяют по формуле

$$[F]_{\sigma} = \pi \cdot (D_{R} + s - c) \cdot (s - c) \cdot [\sigma], \qquad (5.14)$$

здесь $[\sigma]$ — допускаемое напряжение материала обечайки при рабочей температуре

Допустимое осевое сжимающее усилие из условия устойчивости в пределах упругости определяют по формуле

$$[F]_{E} = \frac{310 \cdot 10^{-6} \cdot E}{n_{v}} \cdot D_{B}^{2} \cdot \left[\frac{100 \cdot (s-c)}{D_{B}} \right]^{2} \cdot \sqrt{\frac{100 \cdot (s-c)}{D_{B}}}$$
 (5.15)

здесь E- модуль упругости материала обечайки при рабочей температуре; $n_y=2,4-$ коэффициент запаса устойчивости в рабочих условиях.

Допустимое осевое сжимающее усилие с учётом выполнения обоих условий определяют по формуле

$$[F] = \frac{[F]_{\sigma}}{\sqrt{1 + \left(\frac{[F]_{\sigma}}{[F]_{E}}\right)^{2}}}$$

$$(5.16)$$

Проверка выполнения условия устойчивости обечайки, находящейся под действием наружного давления и осевого сжимающего усилия выполняется по формуле

$$\frac{p_{up}}{[p_u]} + \frac{F}{[F]} < 1 , \qquad (5.17)$$

здесь F – расчётная осевая сжимающая сила

Для аппарата, изображённого на рис. 5.1, осевое расчётная сжимающая сила будет складываться из силы тяжести перемешивающего устройства и силы внешнего давления

$$F = m \cdot g + 0.785 \cdot D_B^2 \cdot p_{Hp}$$
 (5.18)

5.2. Примеры расчёта

Пример 5.1.

Определить категорию (длинная, короткая) цилиндрической обечайки, работающей под внешним давлением. Исходные данные: внутренний диаметр $D_B=1000\,$ мм; исполнительная толщина стенки $s=5\,$ мм; конструктивная прибавка к толщине стенки $c=1\,$ мм; расчётная длина обечайки $L=5\,$ м.

Решение

Для определения категории обечайки необходимо вычислить характеристическую длину обечайки l_0 и сравнить с расчётной длиной l_p . Расчётные формулы см. в разделе 5.1.

$$l_0 = 8,15 \cdot D_B \cdot \sqrt{\frac{D_B}{100 \cdot (s-c)}} = 8,15 \cdot 1000 \cdot \sqrt{\frac{1000}{100 \cdot (5-1)}} = 12888 \text{ mm} \approx 13 \text{ m}.$$

Анализ: Так как $L = 5 < l_0 = 13$ м, обечайка является короткой.

Ответ: в расчётах на устойчивость обечайка рассматривается короткой.

Пример 5.2.

Гладкая короткая цилиндрическая обечайка работает под внешним давлением. Проверить для обечайки выполнение условия работы в пределах упругости

$$0.052 \cdot \sqrt[6]{\frac{p}{10^{-6} \cdot E}} \le \frac{L}{D_B} \le 7.68 \cdot \sqrt[6]{\frac{10^{-6} \cdot E}{p}} \cdot$$

Исходные данные: модуль упругости материала $E=1,99\cdot 10^5$ МПа; длина и внутренний диаметр обечайки, соответственно, L=4000 мм, $D_B=1000$ мм; внешнее давление p=0,65 МПа.

Решение

Подставляем в условие работы исходные данные

$$0.052 \cdot \sqrt[6]{\frac{p}{10^{-6} \cdot E}} = 0.052 \cdot \sqrt[6]{\frac{0.65}{10^{-6} \cdot 1.99 \cdot 10^{5}}} = 0.064$$

$$7.68 \cdot \sqrt[6]{\frac{10^{-6} \cdot E}{p}} = 7.68 \cdot \sqrt[6]{\frac{10^{-6} \cdot 1.99 \cdot 10^{5}}{0.65}} = 6.28$$

$$\frac{L}{D_{p}} = \frac{4000}{1000} = 4$$

Анализ: Обечайка работает в пределах упругости, поскольку 0,064 < $\frac{L}{D_-}$ = 4 < 6,28.

Ответ: Обечайка работает в пределах упругости.

Пример 5.3.

Гладкая короткая цилиндрическая обечайка работает под внешним давлением в пределах упругости. Определить расчётную толщину стенки обечайки.

Исходные данные: модуль упругости материала $E=1,99\cdot 10^5$ МПа; длина и внутренний диаметр обечайки, соответственно, L=4000 мм, $D_B=1000$ мм; внешнее давление p=0,15 МПа.

Решение

Расчётные формулы см. в разделе 5.1.

$$\begin{split} s_p &= 0.47 \cdot \frac{D_B}{100} \cdot \left(\frac{p}{10^{-6} \cdot E} \cdot \frac{L}{D_B} \right)^{0.4} = \\ s_p &= 0.47 \cdot \frac{1000}{100} \cdot \left(\frac{0.15}{10^{-6} \cdot 1.99 \cdot 10^5} \cdot \frac{4000}{1000} \right)^{0.4} = 7.3 \text{ mm} \end{split}$$

Ответ: $S_p = 7.3 \text{ мм}.$

Пример 5.4.

Гладкая короткая цилиндрическая стальная обечайка работает под внешним давлением в пределах упругости. Определить допускаемое давление для обечайки из условия устойчивости.

Исходные данные: модуль упругости материала $E=1,84\cdot 10^5$ МПа; расчётная длина и внутренний диаметр обечайки, соответственно, L=3000 мм, $D_B=1500$ мм; исполнительная толщина стенки обечайки s=8 мм, конструктивная прибавка к толщине стенки c=1 мм.

Решение

Расчётные формулы см. в разделе 5.1.

$$[p_{\text{H}}]_{\text{E}} = \frac{18 \cdot 10^{-6} \cdot E}{n_{\text{y}}} \cdot \frac{D}{l_{p}} \cdot \left[\frac{100 \cdot (s - C)}{D} \right]^{2} \cdot \sqrt{\frac{100 \cdot (s - C)}{D}}$$

$$=\frac{18\cdot 10^{-6}\cdot 1{,}84\cdot 10^{5}}{2{,}4}\cdot \frac{1500}{3000}\cdot \left[\frac{100\cdot (8-1)}{1500}\right]^{2}\times \sqrt{\frac{100\cdot (8-1)}{1500}}=0{,}103~M\Pi a$$

Ответ: $[p_H]_E = 0.103 \text{ M}\Pi a$

Пример 5.5.

Гладкая короткая цилиндрическая стальная обечайка работает под внешним давлением в пределах упругости. Определить допускаемое давление для обечайки из условия прочности.

Исходные данные: внутренний диаметр обечайки $D_B=1500~[\sigma]=128~$ МПа исполнительная толщина стенки обечайки s=8~ мм, конструктивная прибавка к толщине стенки c=1~ мм.

Решение

$$[p_H]_{\sigma} = \frac{2 \cdot [\sigma] \cdot (s - c)}{D_R + s - c} = \frac{2 \cdot 128 \cdot (8 - 1)}{1500 + 8 - 1} = 1,19 \text{M}\Pi a$$

Ответ: $[p_H]_{\sigma} = 1,19 \text{ МПа}$

Пример 5.6.

Гладкая короткая цилиндрическая стальная обечайка работает под внешним давлением в пределах упругости. Определить допускаемое давление для обечайки из условия прочности и устойчивости.

Исходные данные: допускаемое давление из условия прочности $[p_H]_{\sigma} = 1,19$ МПа; допускаемое давление из условия устойчивости $[p_H]_E = 0,103$ МПа.

Решение

$$[p_{H}] = \frac{[p_{H}]_{\sigma}}{\sqrt{1 + \left(\frac{[p_{H}]_{\sigma}}{[p_{H}]_{E}}\right)^{2}}} = \frac{[p_{H}]_{\sigma}}{\sqrt{1 + \left(\frac{[p_{H}]_{\sigma}}{[p_{H}]_{E}}\right)^{2}}} = 0,102 M\Pi a$$

Ответ: $[p_H] = 0.102 \text{ M}\Pi a$

Пример 5.7.

Гладкая короткая цилиндрическая стальная обечайка работает под внешним давлением в пределах упругости, дополнительно на обечайку действует осевая сжимающая сила. Определить допускаемое значение осевой сжимающей силы из условия устойчивости.

Исходные данные: модуль упругости материала $E=1,84\cdot 10^5$ МПа; внутренний диаметр обечайки $D_B=1500$ мм =1,5 м; исполнительная толщина стенки обечайки s=8 мм, конструктивная прибавка к толщине стенки c=1 мм; коэффициент запаса устойчивости $n_v=2,4$.

Решение

$$[F]_{E} = \frac{310 \cdot 10^{-6} \cdot E}{n_{y}} \cdot D_{B}^{2} \cdot \left[\frac{100 \cdot (s - c)}{D_{B}} \right]^{2} \cdot \sqrt{\frac{100 \cdot (s - c)}{D_{B}}} =$$

$$= \frac{310 \cdot 10^{-6} \cdot 1,84 \cdot 10^{5}}{2,4} \cdot 1,5^{2} \cdot \left[\frac{100 \cdot (8 - 1)}{1500} \right]^{2} \cdot \sqrt{\frac{100 \cdot (8 - 1)}{1500}} = 7,96 MH$$

Ответ: $[F]_E = 7,96 \text{ MH}$

Пример 5.8.

Гладкая короткая цилиндрическая стальная обечайка работает под внешним давлением в пределах упругости, дополнительно на обечайку действует осевая сжимающая сила. Определить допускаемое значение осевой сжимающей силы из условия прочности.

Исходные данные: допускаемое напряжение материала [σ] = 128 МПа; внутренний диаметр обечайки $D_B=1500\,$ мм = 1,5 м; исполнительная толщина стенки обечайки $s=8\,$ мм = 0,008 м; конструктивная прибавка к толщине стенки $c=1\,$ мм = 0,001 м.

Решение

$$[F]_{\sigma} = \pi \cdot (D_B + s - c) \cdot (s - c) \cdot [\sigma] =$$
= 3.1416 \cdot (1.5 + 0.008 - 0.001) \cdot (0.008 - 0.001) \cdot 128 = 4.24 MH

Ответ: $[F]_{\sigma} = 4,24 \text{ MH}$

Пример 5.9.

Гладкая короткая цилиндрическая стальная обечайка работает под внешним давлением в пределах упругости, дополнительно на обечайку действует осевая сжимающая сила. Определить допустимую осевую сжимающую силу из условия прочности и устойчивости.

Исходные данные: допустимая осевая сжимающая сила из условия прочности $[F]_{\sigma}=4,24$ MH; допустимая осевая сжимающая сила из условия устойчивости $[F]_{E}=7,96$ MH.

Решение

$$[F] = \frac{[F]_{\sigma}}{\sqrt{1 + \left(\frac{[F]_{\sigma}}{[F]_{E}}\right)^{2}}} = \frac{4,24}{\sqrt{1 + \left(\frac{4,24}{7,96}\right)^{2}}} = 3,74MH$$

Ответ: [F] = 3,74 MH

Пример 5.10.

Гладкая короткая цилиндрическая стальная обечайка работает под внешним давлением в пределах упругости, дополнительно на обечайку действует сила тяжести перемешивающего устройства, размещённого сверху аппарата (см. рис. 5.1). Определить величину осевой сжимающей силы, действующей на обечайку и проверить выполнение условия устойчивости обечайки.

Исходные данные: масса перемешивающего устройства $m=1000~\rm kr$; внутренний диаметр аппарата $D_B=1500~\rm mm=1,5~m$; расчётное наружное давление $p_{\rm hp}=0,09~\rm M\Pi a$; допустимое наружное давление $[p_H]=0,102~\rm M\Pi a$; допустимая осевая сжимающая сила $[F]=3,74~\rm MH$.

Решение

Расчётная сжимающая сила

 $F = m \cdot g + 0.785 \cdot D_B^2 \cdot p_{HD} = 1000 \cdot 9.81 + 0.785 \cdot 1.5^2 \cdot 0.09 = 0.169 \text{ MH}$

Проверка выполнения условия устойчивости обечайки

$$\frac{p_{np}}{[p_{H}]} + \frac{F}{[F]} = \frac{0.09}{0.102} + \frac{0.169}{3.74} = 0.92 < 1$$

Ответ: условие устойчивости обечайки выполняется

6. Расчёт на прочность корпусов аппаратов высокого давления (АВД)

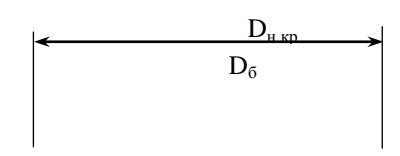
6.1. Основные определения и расчётные формулы

Аппараты высокого давления (АВД) — аппараты, работающие при внутреннем давлении более $10~\mathrm{M\Pi a}~(100~\mathrm{krc/cm^2})$. Конструктивно АВД являются толстостенными сосудами. Конструктивно коэффициент толстостенности сосуда представляет собой

$$\beta = \frac{D_H}{D_R} > 1.2 \tag{6.1}$$

$$D_{H} = D_{B} + 2 \cdot s, \ s > 0, 1 \cdot D_{B}, \tag{6.2}$$

здесь D_H , D_B — наружный и внутренний диаметр сосуда; s — толщина стенки сосуда (рис. 6.1).



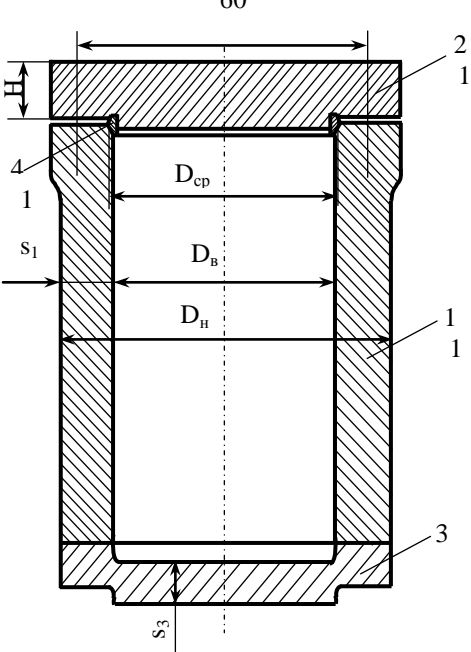


Рис. 6.1. Схема АВД с плоскими днищем и крышкой: 1 – обечайка; 2 – крышка; 3 – днище; 4 –двухконусный обтюратор (на рисунке обозначено: $D_{\rm B}$ – внутренний диаметр обечайки; $D_{\rm H}$ – наружный диаметр обечайки; $D_{\rm cp}$ – средний диаметр уплотнительной поверхности; $D_{\rm G}$ – диаметр установки шпилек; $D_{\rm H\ kp}$ – диаметр крышки наружный; $s_{\rm I}$ – толщина обечайки; $s_{\rm I}$ – толщина крышки)

Расчётная толщина стенки обечайки АВД (рис. 6.1)

$$s_{p1} = 0.5D_R \cdot (\beta - 1) \tag{6.3}$$

Наружный диаметр стенки обечайки АВД

$$D_H = \beta \cdot D_B + 2 \cdot c \tag{6.4}$$

При проектном расчёте коэффициент толстостенности АВД определяется по формуле

$$\beta = e^{\frac{p}{[\sigma]\cdot\varphi}} , \qquad (6.5)$$

здесь р — давление в аппарате, МПа; $[\sigma]$ — допускаемое напряжение материала обечайки, МПа; ϕ — коэффициент прочности сварных швов (для многослойных аппаратов и кольцевых швов любых аппаратов ϕ =1; для продольных швов аппаратов (кроме многослойных) для среднелегированных сталей ϕ = 0,85; для малоуглеродистых

низколегированных сталей $\phi = 0.95$); с – конструктивная прибавка к толшине стенки.

Расчётная толщина стенки плоского днища АВД (рис. 6.1)

$$s_{p3} = 0.45 \cdot D_B \cdot \sqrt{\frac{p}{[\sigma] \cdot \psi}} \tag{6.6}$$

здесь $\psi = 1 - \frac{\Sigma d_i}{D_{\scriptscriptstyle R}}$ – коэффициент ослабления днища отверстиями d_i.

Расчётную толщину крышки АВД (рис. 6.1) определяют из условия прочности на изгиб в диаметральном сечении, наиболее ослаблённом отверстиями

$$H_{p} = 0.45 \cdot \sqrt{\frac{3.8 \cdot Q \cdot (D_{\delta} - D_{cp}) + D_{cp}^{3} \cdot p}{(D_{nkp} - 2 \cdot d_{oms} - \Sigma d_{i}) \cdot [\sigma]}} , \qquad (6.7)$$

где Q — расчётное усилие крышки, МН; D_6 — диаметр установки шпилек (см. рис. 6.1), м; D_{cp} — средний диаметр уплотнительной поверхности, м; р — давление в аппарате, МПа; $D_{\rm H}$ $_{\rm Kp}$ — наружный диаметр крышки, м; $d_{\rm O}$ — диаметр отверстия под шпильку, м; $d_{\rm i}$ — диаметр технологического отверстия, ослабляющего крышку, м; $[\sigma]$ — допускаемое напряжение материала крышки, МПа.

Для затворов с двухконусным обтюратором расчётное усилие крышки определяется по формуле

$$Q = Q_{\mathrm{II}} + Q_{\mathrm{B}} \tag{6.8}$$

Равнодействующая внутреннего давления

$$Q_{\Lambda} = 0.785 \cdot D_{cp}^2 \cdot p \tag{6.9}$$

Осевая составляющая внутреннего давленя

$$Q_{B} = 1,571 \cdot D_{cp} \cdot A_{cp} \cdot tg(\alpha - \rho) \cdot p, \qquad (6.10)$$

здесь A_{cp} — ширина обтюраторного кольца по средней линии уплотнительной поверхности (принимается конструктивно по таблице 6.1); $\alpha = 30^{\circ}$ — угол наклона уплотнительных поверхностей обтюратора; ρ — угол трения стального кольца обтюратора по мягкой металлической прокладке (алюминий по стали $\rho = 15^{\circ}$); p — давление в аппарате, МПа.

Таблица 6.1 - Конструктивные размеры (м) крышек АВД и двухконусного обтюратора

D_{B}	$\mathrm{D}_{\scriptscriptstyle \mathrm{HKP}}$	D_{6}	Z	D_{cp}	A_{cp}
0,8	1,04	0,976	20	0,82	0,070
1,0	1,30	1,22	24	1,022	0,084
1,2	1,56	1,464	24	1,223	0,095
1,4	1,82	1,708	24	1,424	0,105

1,6	2,08	1,952	28	1,624	0,112
1,8	2,34	2,196	28	1,826	0,119
2,0	2,60	2,44	32	2,031	0,126

Пояснения: D_B — внутренний диаметр сосуда или горловины; $D_{\text{нкр}}$ — наружный диаметр крышки; D_6 — диаметр установки шпилек крепления; z — количество шпилек; D_{cp} — средний диаметр уплотнительной поверхности; A_{cp} — ширина обтюраторного кольца по средней линии уплотнительных поверхностей

Шпильки для крепления крышек АВД принимают по ГОСТ 9066–75 (таблица П 17). Шпильки имеют центральное отверстие для смазки резьбы. Для размещения шпилек в крышке делаются сквозные отверстия, диаметр которых на 3 мм больше диаметра резьбы шпильки, т.е. $d_{\text{отв}} = d_{\text{p}} + 3$.

Диаметр гладкой части (шейки) шпильки определяется расчётом на прочность по формуле

$$d_{uu} = \sqrt{\frac{4 \cdot k \cdot Q}{\pi \cdot z \cdot [\sigma]} + d_o^2} , \qquad (6.11)$$

где k — коэффициент, учитывающий крутящий момент при затяжке шпилек (k = 1,0 для затвора с двухконусным обтюратором); z — число шпилек (принимается конструктивно см. таблицу П10); [σ] — допускаемое напряжение материала шпильки при рабочей температуре (для стали 35X [σ] = 282 МПа); d_o — диаметр центрального отверстия (для шпилек М64...М72 d_o = 10 мм; для шпилек М80...М110 d_o = 20 мм)

6.2. Примеры расчёта

Пример 6.1.

Определить расчётную толщину стенки цилиндрической обечайки АВД (см. рис. 6.1). Исходные данные: внутренний диаметр аппарата $D_{\rm B}=1000$ мм, давление в аппарате p=30 МПа, материал — сталь 20К, рабочая температура $t_{\rm pa6}=300$ °C, коэффициент прочности сварного шва $\phi=0.95$.

Решение

Дополнительные данные: по таблице П 7 для стали 20К при температуре $t_{pa6}=300^{\circ}\text{C}$ имеем [σ] = 119 МПа. Расчётные формулы см. в 6.1. Коэффициент толстостенности

$$\beta = e^{\frac{p}{[\sigma] \cdot \varphi}} = e^{\frac{30}{119 \cdot 0.95}} = 1,304$$

Расчётная толщина стенки обечайки

$$S_{1p} = 0.5 \cdot D_B \cdot (\beta - 1) = 0.5 \cdot 1000 \cdot (1.304 - 1) = 152 \text{ mm}$$

OtBet: $s_{1p} = 152 \text{ MM}$

Пример 6.2.

Определить расчётную толщину плоского днища АВД (см. рис. 6.1). Днище не имеет технологических отверстий. Исходные данные: внутренний диаметр аппарата $D_B=1000$ мм, давление в аппарате p=30 МПа, материал — сталь 20К, рабочая температура $t_{pa\delta}=300$ °С, коэффициент ослабления сечения $\psi=1$.

Решение

Дополнительные данные: по таблице П 7 для стали 20К при температуре $t_{\text{раб}} = 300$ °C имеем [σ] = 119 МПа. Расчётные формулы см. в 6.1.

$$s_{3p} = 0.45 \cdot D_B \cdot \sqrt{\frac{p}{[\sigma] \cdot \psi}} = 0.45 \cdot 1000 \cdot \sqrt{\frac{30}{119 \cdot 1}} = 226 \text{ mm}$$

Ответ: $s_{3p} = 226 \text{ мм}.$

Пример 6.3.

Определить расчётное усилие Q шпилек крышки ABД с двухконусным обтюратором (см. рис.6.1). Исходные данные: внутренний диаметр аппарата $D_B = 1000$ мм, давление в аппарате p = 30 МПа, угол конуса стального обтюратора $\alpha = 30^\circ$, угол трения стали по меди $\rho = 15^\circ$.

Решение

Дополнительные данные: конструктивные размеры обтюратора средний диаметр уплотнительной поверхности $D_{cp}=1,022$ м, ширина обтюраторного кольца по средней линии уплотнительных поверхностей $A_{cp}=0,084$ м (см. табл.6.1). Расчётные формулы см. в 6.1.

Равнодействующая внутреннего давления

$$Q_{\mathcal{I}} = 0.785 \cdot D_{cp}^2 \cdot p = 0.785 \cdot 1.022^2 \cdot 30 = 24.6 \text{ MH}$$

Осевая составляющая равнодействующей внутреннего давления

$$Q_{B} = 1,57 \cdot D_{cp} \cdot A_{cp} \cdot tg(\alpha - \rho) \cdot p = 1,57 \cdot 1,022 \cdot 0,084 \cdot tg(30 - 15) \cdot 30 = 0$$

1,08 MH

Расчётное усилие шпилек крышки

$$Q = Q_{\text{A}} + Q_{\text{B}} = 24.6 + 1.08 = 25.68 \text{ MH}$$

Ответ: Расчётное усилие шпилек крышки АВД Q = 25,68 МН.

Пример 6.4

Определить диаметр гладкой части (шейки) $d_{\rm m}$ шпилек для крепления крышки ABД. Затвор с двухконусным обтюратором. Шпильки имеют центральное отверстие $d_0=10$ мм. Материал шпилек сталь 35X, $[\sigma]=282$ МПа. Исходные данные: внутренний диаметр аппарата $D_{\rm B}=1$ м; расчётное усилие шпилек Q=25,68 МН; число шпилек z=24 (см. табл. 6.1); коэффициент, учитывающий крутящий момент при затяжке шпилек z=1.

Решение

$$d_{uu} = \sqrt{\frac{4 \cdot k \cdot Q}{\pi \cdot z \cdot [\sigma]} + d_0^2} = \sqrt{\frac{4 \cdot 1 \cdot 25,68}{\pi \cdot 24 \cdot 282} + 0,01^2} = 0,0702 \text{ m} = 70,2 \text{ mm}$$

По ГОСТ 9066–75 выбираем шпильку типа В с диаметром шейки $d_{\rm m}$ = 72 мм, резьба M80.

Ответ: шпилька $d_{\text{m}} = 72$ мм, резьба М80.

Пример 6.5

Определить расчётную толщину крышки АВД из стали 09Г2С. В крышке отсутствуют технологические отверстия. Исходные данные: внутренний диаметр аппарата $D_B=1$ м; расчётное усилие шпилек Q=25,68 МН; давление в аппарате p=30 МПа; диаметр резьбы шпилек $d_{pes}=80$ мм; рабочая температура в аппарате $t_{pa6}=300^{\circ}\mathrm{C}$.

Решение

Дополнительные данные: конструктивные размеры обтюратора наружный диаметр крышки $D_{\text{н кр}}=1,323$ м; диаметр установки болтов $D_{6}=1,22$ м; средний диаметр уплотнительной поверхности $D_{cp}=1,022$ м; диаметр отверстий под шпильки $d_{\text{отв}}=d_{\text{рез}}+3=80+3=83$ мм (определяем конструктивно); по таблице Π 7 для стали 09 Γ 2C при температуре $t_{\text{раб}}=300^{\circ}$ C имеем [σ] = 134 М Π а. Расчётные формулы см. в 6.1.

$$H_{p} = 0.45 \cdot \sqrt{\frac{3.8 \cdot Q \cdot (D_{6} - D_{cp}) + D_{cp}^{3} \cdot p}{(D_{n\kappa p} - 2 \cdot d_{ome} - \Sigma d_{i}) \cdot [\sigma]}} = 0.45 \cdot \sqrt{\frac{3.8 \cdot 23.68 \cdot (1.22 - 1.022) + 1.022^{3} \cdot 30}{(1.323 - 2 \cdot 0.083 - 0) \cdot 134}} = 0.259 \text{ m} = 259 \text{ mm}$$

Ответ: $H_p = 259 \text{ мм}$

7. Контрольные задачи

Задача 1.1.

Определить давление гидравлического испытания стального сварного аппарата. Исходные данные для решения задачи представлены в таблице 7.1. Пояснения: p_p – рабочее давление, МПа; рабочая температура t_p , град C.

Таблица 7.1 - Исходные данные для решения задачи 1.1.

N_0N_0	Сталь	p_p	t _p	N <u>o</u> N <u>o</u>	Сталь	p_p	t_p
1.1.1	Ст3сп	0,6	200	1.1.11	12XM	0,6	400

1.1.2	Ст3сп	0,7	250	1.1.12	12XM	0,7	450
1.1.3	Ст3сп	0,8	300	1.1.13	12XM	0,8	470
1.1.4	Ст3сп	0,9	350	1.1.14	12XM	0,9	500
1.1.5	Ст3сп	1	400	1.1.15	12XM	1	540
1.1.6	20K	0,6	200	1.1.16	09Г2С	0,6	200
1.1.7	20K	0,7	250	1.1.17	09Г2С	0,7	250
1.1.8	20K	0,8	300	1.1.18	09Г2С	0,8	300
1.1.9	20K	0,9	350	1.1.19	09Г2С	0,9	350
1.1.10	20K	1	400	1.1.20	09Г2С	1	400

Задача 1.2.

Определить допускаемое напряжение стали для рабочих условий аппарата. Исходные данные для решения задачи представлены в таблице 7.2. Пояснения: рабочая температура $t_{\rm p}$, град C.

Таблица 7.2 - Исходные данные для решения задачи 1.2.

N_0N_0	Сталь	t_p	N_0N_0	Сталь	t_p
1.2.1	Ст3сп	210	1.2.11	12XM	410
1.2.2	Ст3сп	220	1.2.12	12XM	420
1.2.3	Ст3сп	230	1.2.13	12XM	430
1.2.4	Ст3сп	260	1.2.14	12XM	510
1.2.5	Ст3сп	270	1.2.15	12XM	520
1.2.6	20K	210	1.2.16	09Г2С	210
1.2.7	20K	220	1.2.17	09Г2С	220
1.2.8	20K	230	1.2.18	09Г2С	230
1.2.9	20К	260	1.2.19	09Г2С	260
1.2.10	20К	270	1.2.20	09Г2С	270

Задача 1.3.

Определить допускаемое напряжение материала для условий испытания аппарата. Исходные данные для решения задачи представлены в таблице 7.3. Пояснения: марка – марка материала; вид исп. – вид испытания (гидравл. – гидравлическое; пневмат. – пневматическое).

Таблица 7.3 - Исходные данные для решения задачи 1.3.

N_0N_0	Марка	Вид исп.	NoNo	Марка	Вид исп.
1.3.1.	20K	гидравл.	1.3.11.	20K	пневмат.
1.3.2.	16ГС	гидравл.	1.3.12.	16ГС	пневмат.
1.3.3.	09Г2С	гидравл.	1.3.13.	09Г2С	пневмат.
1.3.4.	12XM	гидравл.	1.3.14.	12XM	пневмат.
1.3.5.	15X5M	гидравл.	1.3.15.	15X5M	пневмат.

1.3.6.	12X18H10T	гидравл.	1.3.16.	12X18H10T	пневмат.
1.3.7.	06ХН28МДТ	гидравл.	1.3.17.	06ХН28МДТ	пневмат.
1.3.8.	BT1-0	гидравл.	1.3.18.	BT1-0	пневмат.
1.3.9.	М3р	гидравл.	1.3.19.	М3р	пневмат.
1.3.10.	АМц	гидравл.	1.3.20.	АМц	пневмат.

Задача 1.4.

Определить условное давление для стального аппаратного фланца. Исходные данные для решения задачи представлены в таблице 7.4. Пояснения: t_p – рабочая температура, град C; p_p – расчётное давление, МПа.

Таблица 7.4 - Исходные данные для решения задачи 1.4.

N_0N_0	Сталь	t_p	p_p	N_0N_0	Сталь	t_p	p_p
1.4.1.	20	250	1,5	1.4.11.	20	400	2,2
1.4.2.	20К	250	1,5	1.4.12.	20K	400	2,2
1.4.3.	09Г2С	250	1,5	1.4.13.	09Г2С	400	2,2
1.4.4.	16ГС	250	1,5	1.4.14.	16ГС	400	2,2
1.4.5.	12X18H10T	250	1,5	1.4.15.	12X18H10T	400	2,2
1.4.6.	06ХН28МДТ	250	1,5	1.4.16.	06ХН28МДТ	400	2,2
1.4.7.	15X5M	250	1,5	1.4.17.	15X5M	400	2,2
1.4.8.	16ГС	250	1,5	1.4.18.	16ГС	400	2,2
1.4.9.	09Г2С	250	1,5	1.4.19.	09Г2С	400	2,2
1.4.10.	12XM	250	1,5	1.4.20.	12XM	400	2,2

Задача 1.5.

Определить расчётное давление среды в аппарате. Исходные данные для решения задачи представлены в таблице 7.5. Пояснения: p_{pa6} — рабочее давление в аппарате, МПа; ρ — плотность среды, $\kappa \Gamma/M^3$; L — высота аппарата, м.

Таблица 7.5 - Исходные данные для решения задачи 1.5.

N_0N_0	p _{pa6}	ρ	L	N_0N_0	р _{раб}	ρ	L
1.5.1.	1,6	1060	3	1.5.11.	1,2	1360	4,8
1.5.2.	1,4	950	4,2	1.5.12.	0,8	1297	6
1.5.3.	1,2	1555	4,2	1.5.13.	0,6	870	6,6
1.5.4.	1	873	5,4	1.5.14.	0,4	1530	7,2
1.5.5.	1,6	793	5,4	1.5.15.	1,6	1060	3,6
1.5.6.	0,8	1188	6,6	1.5.16.	1,4	950	4,8
1.5.7.	0,4	1250	8,4	1.5.17.	1,2	1555	4,8
1.5.8.	0,3	1130	3	1.5.18.	1	873	6

N_0N_0	$p_{pa\delta}$	ρ	L	N_0N_0	р _{раб}	ρ	L
1.5.9.	1,6	777	3,6	1.5.19.	1,6	793	6,3
1.5.10.	1,4	1160	4,8	1.5.20.	0,8	1188	6,6

Залача 2.1.

В поперечном сечении растянутого элемента конструкции действует нормальное напряжение σ_{max} . В сечении, наклонённом к оси элемента на угол α , действует касательное напряжение τ_{α} (см. рис.2.2). Определить: значение угла α и величину нормального напряжения σ_{α} , действующего на этой площадке. Исходные данные для решения задачи представлены в таблице 7.6. Пояснения: σ_{max} , τ_{α} в МПа.

Таблица 7.6 – Исходные данные для решения задачи 2.1.

N_0N_0	σ_{max}	τ_{lpha}	N_0N_0	σ_{max}	τ_{lpha}	N_0N_0	σ_{max}	τ_{lpha}
2.1.1.	50	17	2.1.8.	55	19	2.1.15.	60	21
2.1.2.	50	18	2.1.9.	55	20	2.1.16.	65	17
2.1.3.	50	19	2.1.10.	55	21	2.1.17.	65	18
2.1.4.	50	20	2.1.11.	60	17	2.1.18.	65	19
2.1.5.	50	21	2.1.12.	60	18	2.1.19.	65	20
2.1.6.	55	17	2.1.13.	60	19	2.1.20.	65	21
2.1.7.	55	18	2.1.14.	60	20	2.1.21.	70	20

Задача 2.2.

В некоторой точке элемента конструкции известны значения главных напряжений σ_1 , σ_2 , σ_3 . Определите значения расчётных напряжений в этой точке элемента конструкции по II, III и IV гипотезам прочности. Дополнительные данные: $\mu=0,3$. Исходные данные для решения задачи представлены в таблице 7.7. Пояснения: значения главных напряжений в МПа.

Таблица 7.7 - Исходные данные для решения задачи 2.2.

N_0N_0	σ_1	σ_2	σ_3	N_0N_0	σ_1	σ_2	σ_3
2.2.1.	125	102	79	2.2.11.	118	99	69
2.2.2.	130	104	78	2.2.12.	123	101	68
2.2.3.	135	106	77	2.2.13.	128	103	67
2.2.4.	140	108	76	2.2.14.	133	105	66
2.2.5.	145	110	75	2.2.15.	138	107	65
2.2.6.	119	112	74	2.2.16.	117	109	64
2.2.7.	124	114	73	2.2.17.	122	111	63
2.2.8.	129	116	72	2.2.18.	127	113	62
2.2.9.	134	118	71	2.2.19.	132	115	61
2.2.10.	139	120	70	2.2.20.	137	117	60

Залача 2.3.

Для тонкостенной цилиндрической обечайки сварного аппарата, внутренним давлением, проводилось находящегося под измерение напряжений по двум взаимно перпендикулярным направлениям с нормалями а, в (см. рисунок к примеру 2.3). Для значений углов а, в измерены напряжения σ_{a} , σ_{b} . Определить значения главных напряжений в стенке обечайки. Исходные данные для решения задачи представлены в таблице 7.8. Пояснения: значения углов α, β в градусах; значения напряжений в МПа.

т аолица	a /.6 - FI	слодпы	с даппыс	для реп	испия зад	ачи 2.3.			
N_0N_0	α	β	σ_{α}	σ_{β}	N_0N_0	α	β	σ_{α}	σ_{β}
2.3.1.	42	132	23,28	21,72	2.3.11.	42	132	38,81	36,19
2.3.2.	40	130	23,80	21,20	2.3.12.	40	130	39,67	35,33
2.3.3.	35	125	25,07	19,93	2.3.13.	35	125	41,78	33,22
2.3.4.	30	120	26,25	18,75	2.3.14.	30	120	43,75	31,25
2.3.5.	25	115	27,32	17,68	2.3.15.	25	115	45,53	29,47
2.3.6.	42	132	31,05	28,95	2.3.16.	42	132	46,57	43,43
2.3.7.	40	130	31,74	28,26	2.3.17.	40	130	47,60	42,40
2.3.8.	35	125	33,42	26,58	2.3.18.	35	125	50,13	39,87
2.3.9.	30	120	35,00	25,00	2.3.19.	30	120	52,50	37,50
2.3.10.	25	115	36,43	23,57	2.3.20.	25	115	54,64	35,36

Таблица 7 8 - Исхолные данные для решения задачи 2 3

Залача 2.4.

Элементы колосниковой решётки изготовлены из стального двутавра № дв. Определить величину допустимой силы [Р], приложенной в заданной точке элемента колосниковой решётки на расстоянии «а, м» от левой опоры (рисунок к примеру 2.4.). Исходные данные для решения задачи представлены в таблице 7.9. Пояснения: № дв. – номер профиля (см. таблицу Π 16); l – длина элемента колосниковой решётки, м; $[\sigma]$ – допускаемое напряжение стали двутавра, МПа.

т аолица	1 аолица 7.9 - исходные данные для решения задачи 2.4.													
N_0N_0	№ дв.	l	а	[σ]	N_0N_0	№ дв.	l	а	[σ]					
2.4.1.	12	3	1,5	140	2.4.11.	12	3	1,2	170					
2.4.2.	14	3	2,0	140	2.4.12.	14	3	1,0	170					
2.4.3.	16	3	2,4	140	2.4.13.	16	3	1,5	170					
2.4.4.	18	3	1,7	140	2.4.14.	18	3	2,0	170					
2.4.5.	10	3	1,2	130	2.4.15.	10	3	2,4	140					
2.4.6.	12	4	1,3	130	2.4.16.	12	4	2,3	140					
2.4.7.	14	4	2,0	130	2.4.17.	14	4	1,6	140					

	2.4.8.	16	4	2,7	130	2.4.18.	16	4	1,3	140
	2.4.9.	18	4	3,2	130	2.4.19.	18	4	2,0	140
2	2.4.10.	10	4	2,3	170	2.4.20.	10	4	2,7	140

Залача 2.5.

Элементы колосниковой решётки изготовлены из стального двутавра \mathbb{N}_{2} дв. Определить величину допустимой интенсивности равномерно распределённой нагрузки [q], приложенной к элементу колосниковой решётки (рисунок к примеру 2.5). Исходные данные для решения задачи представлены в таблице 7.10. Пояснения: \mathbb{N}_{2} дв. — номер профиля (см. таблицу Π 16); l — длина элемента колосниковой решётки, м; $[\sigma]$ — допускаемое напряжение стали двутавра, М Π а.

Таблица 7.10 - Исходные данные для решения задачи 2.5.

N_0N_0	№ дв.	l	[σ]	$N_{0}N_{0}$	№ дв.	l	[σ]
2.5.1.	12	3	140	2.5.11.	12	3	170
2.5.2.	14	3	140	2.5.12.	14	3	170
2.5.3.	16	3	140	2.5.13.	16	3	170
2.5.4.	18	3	140	2.5.14.	18	3	170
2.5.5.	10	3	130	2.5.15.	10	3	140
2.5.6.	12	4	130	2.5.16.	12	4	140
2.5.7.	14	4	130	2.5.17.	14	4	140
2.5.8.	16	4	130	2.5.18.	16	4	140
2.5.9.	18	4	130	2.5.19.	18	4	140
2.5.10.	10	4	170	2.5.20.	10	4	140

Задача 2.6.

Определить экономичность при изгибе балок из прокатного профиля двутавра $\mathbb{N}_{\mathbb{Q}}$ дв или швеллера $\mathbb{N}_{\mathbb{Q}}$ шв и кольцевого сечения c = d/D. Балки имеют равновеликие сечения. Исходные данные для решения задачи представлены в таблице 7.11. Пояснения: $\mathbb{N}_{\mathbb{Q}}$ дв. — номер двутавра (см. таблицу Π 16); $\mathbb{N}_{\mathbb{Q}}$ шв — номер швеллера (см. таблицу Π 16); $\mathbb{N}_{\mathbb{Q}}$ шв — номер швеллера (см. таблицу Π 16), $\mathbb{N}_{\mathbb{Q}}$ шв — номер швеллера (см. таблицу Π 16), $\mathbb{N}_{\mathbb{Q}}$ шв — номер швеллера (см. таблицу Π 16), $\mathbb{N}_{\mathbb{Q}}$ шв — номер швеллера (см. таблицу Π 16), $\mathbb{N}_{\mathbb{Q}}$ шв — номер швеллера (см. таблицу Π 16), $\mathbb{N}_{\mathbb{Q}}$ шв — номер швеллера (см. таблицу Π 16), $\mathbb{N}_{\mathbb{Q}}$ шв — номер швеллера (см. таблицу Π 16), $\mathbb{N}_{\mathbb{Q}}$ шв — номер швеллера (см. таблицу Π 16), $\mathbb{N}_{\mathbb{Q}}$ шв — номер швеллера (см. таблицу Π 16), $\mathbb{N}_{\mathbb{Q}}$ шв — номер швеллера (см. таблицу Π 16), $\mathbb{N}_{\mathbb{Q}}$ празмеры кольцевого сечения балки, равновеликой сечению прокатного профиля.

Таблица 7.11 - Исходные данные для решения задачи 2.6.

N_0N_0	№ дв.	№ шв.	c	N_0N_0	№ дв.	№ шв.	c
2.6.1.	12	_	0,75	2.6.11.		10У	0,75
2.6.2.	14		0,75	2.6.12.		12У	0,75
2.6.3.	16		0,75	2.6.13.		14У	0,75
2.6.4.	18		0,75	2.6.14.		16У	0,75
2.6.5.	10		0,75	2.6.15.		18У	0,75

2.6.6.	12		0,85	2.6.16.		10У	0,85
2.6.7.	14		0,85	2.6.17.		12У	0,85
2.6.8.	16		0,85	2.6.18.		14У	0,85
2.6.9.	18		0,85	2.6.19.		16У	0,85
2.6.10.	10	_	0,85	2.6.20.	_	18У	0,85

Задача 3.1.

Для стальных аппаратов, работающих под внутренним давлением.

- 1. Определить расчётную толщину стенки тонкостенных аппаратов разного конструктивного исполнения (таблица 3.1): а) сферическая обечайка; б) цилиндрическая обечайка; в) стандартное эллиптическое днище; г) коническое днище $2\alpha = 90^{\circ}$.
- 2. Проверить выполнение условия тонкостенности для аппарата с наибольшей толшиной стенки.

Исходные данные для решения задачи представлены в таблице 7.12. Пояснения: D_B — внутренний диаметр аппарата, м; $[\sigma]$ — допускаемое напряжение материала, МПа; р — давление в аппарате, МПа; ϕ — коэффициент прочности сварного шва; c — конструктивная прибавка, мм.

	Two man and the second												
N_0N_0	Вид	D_{B}	p	[σ]	φ	С	N_0N_0	Вид	D_{B}	p	[σ]	φ	С
3.1.1.	a	1,1	1	170	1	1	3.1.11.	В	1,1	1	170	1	1
3.1.2.	a	1,2	1	140	1	1	3.1.12.	В	1,2	1	140	1	1
3.1.3.	a	1,3	1	160	1	1	3.1.13.	В	1,3	1	160	1	1
3.1.4.	a	1,4	1	180	1	1	3.1.14.	В	1,4	1	180	1	1
3.1.5.	a	1,5	1	130	1	1	3.1.15.	В	1,5	1	130	1	1
3.1.6.	б	1,1	1	170	1	1	3.1.16.	Γ	1,1	1	170	1	1
3.1.7.	б	1,2	1	140	1	1	3.1.17.	Γ	1,2	1	140	1	1
3.1.8.	б	1,3	1	160	1	1	3.1.18.	Γ	1,3	1	160	1	1
3.1.9.	б	1,4	1	180	1	1	3.1.19.	Γ	1,4	1	180	1	1
3.1.10.	б	1,5	1	130	1	1	3.1.20.	Γ	1,5	1	130	1	1

Таблица 7.12 - Исходные данные для решения задачи 3.1.

Залача 3.2.

Тонкостенные аппараты работают под внутренним давлением. Определить допустимое давление для аппаратов разного конструктивного исполнения (таблица 3.1): а) сферическая обечайка; б) цилиндрическая обечайка; в) стандартное эллиптическое днище; г) коническое днище $2\alpha = 90^{\circ}$.

Исходные данные для решения задачи представлены в таблице 7.13. Пояснения: D_B — внутренний диаметр аппарата, м; s — исполнительная толщина стенки, м; [σ] — допускаемое напряжение материала, МПа; ϕ — коэффициент прочности сварного шва; с — конструктивная прибавка, мм.

			- 7 1			т г							
N_0N_0	Вид	D_{B}	S	[σ]	φ	С	N_0N_0	Вид	D_{B}	S	[σ]	φ	С
3.2.1.	a	1,1	3,5	170	1	1	3.2.11.	В	1,1	7	170	1	1
3.2.2.	a	1,2	4	140	1	1	3.2.12.	В	1,2	8	140	1	1
3.2.3.	a	1,3	4,5	160	1	1	3.2.13.	В	1,3	9	160	1	1
3.2.4.	a	1,4	3	180	1	1	3.2.14.	В	1,4	6	180	1	1
3.2.5.	a	1,5	5	130	1	1	3.2.15.	В	1,5	10	130	1	1
3.2.6.	б	1,1	7	170	1	1	3.2.16.	Γ	1,1	7	170	1	1
3.2.7.	б	1,2	8	140	1	1	3.2.17.	Γ	1,2	8	140	1	1
3.2.8.	б	1,3	9	160	1	1	3.2.18.	Γ	1,3	9	160	1	1
3.2.9.	б	1,4	6	180	1	1	3.2.19.	Γ	1,4	6	180	1	1
3.2.10.	б	1,5	10	130	1	1	3.2.20.	Γ	1,5	10	130	1	1

Таблица 7.13 - Исходные данные для решения задачи 3.2.

Залача 3.3.

Определить расчётную толщину плоского неотбортованного стального днища (тип 1) аппарата, нагруженного внутренним давлением. Днище имеет центральное технологическое отверстие диаметром d=100 мм. Исходные данные для решения задачи представлены в таблице 7.14. Пояснения: D_B – внутренний диаметр аппарата, м; $[\sigma]$ – допускаемое напряжение материала, МПа; р – давление в аппарате, МПа.

N_0N_0	D_{B}	[σ]	р	N_0N_0	D_{B}	[σ]	p
3.3.1.	0,7	140	0,125	3.3.11.	1,0	160	0,33
3.3.2.	0,8	140	0,15	3.3.12.	1,1	160	0,31
3.3.3.	0,9	140	0,175	3.3.13.	1,2	160	0,29
3.3.4.	1,0	140	0,2	3.3.14.	0,6	160	0,27
3.3.5.	1,1	140	0,225	3.3.15.	0,7	160	0,25
3.3.6.	1,2	147	0,25	3.3.16.	0,8	180	0,23
3.3.7.	0,6	147	0,275	3.3.17.	0,9	180	0,21
3.3.8.	0,7	147	0,3	3.3.18.	1,0	180	0,19
3.3.9.	0,8	147	0,325	3.3.19.	1,1	180	0,17

Таблица 7.14 - Исходные данные для решения задачи 3.3.

3.3.10.

0,9

147

Задача 3.4.

3.3.20.

0.35

1,2

180

0.15

Определить допускаемое рабочее давление в стальном аппарате с плоским неотбортованным днищем (тип 1). Днище имеет центральное технологическое отверстие диаметром d=150 мм. Конструктивная прибавка к толщине стенки c=1 мм. Исходные данные для решения задачи представлены в таблице 7.15. Пояснения: D_B – внутренний диаметр аппарата,

м; $[\sigma]$ – допускаемое напряжение материала, МПа; s_1 – исполнительная толщина стенки аппарата, мм.

N_0N_0	D_{B}	[σ]	s_1	N_0N_0	D_{B}	[σ]	s_1
3.4.1.	0,7	140	13	3.4.11.	1,0	160	27
3.4.2.	0,8	140	16	3.4.12.	1,1	160	29
3.4.3.	0,9	140	19	3.4.13.	1,2	160	30
3.4.4.	1,0	140	23	3.4.14.	0,6	160	16
3.4.5.	1,1	140	26	3.4.15.	0,7	160	17
3.4.6.	1,2	147	29	3.4.16.	0,8	180	18
3.4.7.	0,6	147	16	3.4.17.	0,9	180	19
3.4.8.	0,7	147	20	3.4.18.	1,0	180	20

Таблица 7.15 - Исходные данные для решения задачи 3.4.

147

147

3.4.9.

3.4.10.

8,0

0,9

Задача 3.5.

3.4.19.

3.4.20.

1,1

1,2

180

180

20

21

23

26

Определить исполнительную толщину и массу стандартного согласно ГОСТ 6533–68 эллиптического отбортованного днища стального аппарата, работающего под внутренним давлением. Конструктивная прибавка к толщине стенки c=1 мм. Исходные данные для решения задачи представлены в таблице 7.16. Пояснения: D_B – внутренний диаметр аппарата, м; $[\sigma]$ – допускаемое напряжение материала, МПа; p – давление в аппарате, МПа.

тиолици 7.10 тисходиме диниме для решения зада и 3.3.								
N_0N_0	D_{B}	[σ]	p	N_0N_0	D_{B}	[σ]	p	
3.5.1.	0,7	140	1,9	3.5.11.	1,2	160	1,9	
3.5.2.	0,8	140	1,8	3.5.12.	0,6	160	1,8	
3.5.3.	0,9	140	1,7	3.5.13.	0,7	160	1,7	
3.5.4.	1	140	1,6	3.5.14.	0,8	160	1,6	
3.5.5.	1,2	140	1,5	3.5.15.	0,9	160	1,5	
3.5.6.	0,6	147	1,4	3.5.16.	1	180	1,4	
3.5.7.	0,7	147	1,3	3.5.17.	1,2	180	1,5	
3.5.8.	0,8	147	1,2	3.5.18.	0,7	180	1,4	
3.5.9.	0,9	147	2,1	3.5.19.	0,8	180	1,3	
3.5.10.	1	147	2	3.5.20.	0,9	180	1,2	

Таблица 7 16 - Исходные данные для решения задачи 3 5

Задача 3.6.

Определить площадь поверхности цельносварного аппарата (рис. 3.3), подлежащего гуммированию, опираясь в качестве базового на внутренний диаметр аппарата. Исходные данные для решения задачи представлены в

таблице 7.17. Пояснения: V – объём полости аппарата, M^3 ; D_B – внутренний (базовый) диаметр аппарата, M;

Таблица 7.17 - Исходные данные для решения задачи 3.6.

N_0N_0	D_{B}	V	N_0N_0	D_{B}	V	N_0N_0	D_{B}	V
3.6.1.	0,7	0,9	3.6.8.	0,8	1,3	3.6.15.	0,9	2,3
3.6.2.	0,8	1,5	3.6.9.	0,9	2	3.6.16.	1	3,3
3.6.3.	0,9	2,1	3.6.10.	1	2,7	3.6.17.	1,2	4,6
3.6.4.	1	3	3.6.11.	1,2	3,8	3.6.18.	0,6	7,9
3.6.5.	1,2	4,2	3.6.12.	0,6	6,6	3.6.19.	0,7	0,85
3.6.6.	0,6	7,2	3.6.13.	0,7	1	3.6.20.	0,8	1,4
3.6.7.	0,7	0,8	3.6.14.	0,8	1,6			

Задача 3.7.

Определить высоту цельносварного цилиндрического аппарата с неотбортованными эллиптическими днищами (рис. 3.3), опираясь в качестве базового на внутренний диаметр аппарата. Исходные данные для решения задачи представлены в таблице 7.18. Пояснения: D_B — внутренний диаметр аппарата (базовый диаметр), м; V — объём полости аппарата, M3.

Таблица 7.18 - Исходные данные для решения задачи 3.7.

			, , , , ,	1	, ,			
N_0N_0	D_{B}	V	$N_{\underline{0}}N_{\underline{0}}$	D_{B}	V	N_0N_0	D_{B}	V
3.7.1.	0,7	0,9	3.7.8.	0,8	1,3	3.7.15.	0,9	2,3
3.7.2.	0,8	1,5	3.7.9.	0,9	2	3.7.16.	1	3,3
3.7.3.	0,9	2,1	3.7.10.	1	2,7	3.7.17.	1,2	4,6
3.7.4.	1	3	3.7.11.	1,2	3,8	3.7.18.	0,6	7,9
3.7.5.	1,2	4,2	3.7.12.	0,6	6,6	3.6.19.	0,7	0,85
3.7.6.	0,6	7,2	3.7.13.	0,7	1	3.6.20.	0,8	1,4
3.7.7.	0,7	0,8	3.7.14.	0,8	1,6			

Задача 3.8.

Определить площадь поверхности и вместимость конического неотбортованного днища (рис. 3.4 а). Исходные данные для решения задачи представлены в таблице 7.19. Пояснения: D_B – внутренний диаметр аппарата, м, α_{κ} – угол конуса днища, град.

Таблица 7.19 - Исходные данные для решения задачи 3.8.

N_0N_0	D_{B}	$\alpha_{\rm K}$	N_0N_0	D_{B}	$\alpha_{\rm K}$	$N_{\underline{0}}N_{\underline{0}}$	D_{B}	$\alpha_{\scriptscriptstyle K}$
3.8.1.	0,7	45	3.8.8.	0,8	40	3.8.15.	0,9	60
3.8.2.	0,8	45	3.8.9.	0,9	40	3.8.16.	1	60

3.8.3.	0,9	45	3.8.10.	1	40	3.8.17.	1,2	55
3.8.4.	1	45	3.8.11.	1,2	60	3.8.18.	0,6	55
3.8.5.	1,2	45	3.8.12.	0,6	60	3.8.19.	0,7	55
3.8.6.	0,6	45	3.8.13.	0,7	60	3.8.20.	0,8	55
3.8.7.	0,7	40	3.8.14.	0,8	60			

Задача 3.9.

Определить размеры заготовки из листа для конического неотбортованного днища (рис. 3.4 б). Исходные данные для решения задачи представлены в таблице 7.20. Пояснения: D_B – внутренний диаметр аппарата, м, α_κ – угол конуса днища, град.

Таблица 7.20 - Исходные данные для решения задачи 3.9.

N_0N_0	D		N_0N_0	D		N_0N_0	D	
745745	D_{B}	α_{κ}	TANTA	D_{B}	α_{κ}	JAGNA	D_{B}	α_{κ}
3.9.1.	0,7	45	3.9.8.	0,8	40	3.9.15.	0,9	60
3.9.2.	0,8	45	3.9.9.	0,9	40	3.9.16.	1	60
3.9.3.	0,9	45	3.9.10.	1	40	3.9.17.	1,2	55
3.9.4.	1	45	3.9.11.	1,2	60	3.9.18.	0,6	55
3.9.5.	1,2	45	3.9.12.	0,6	60	3.9.19.	0,7	55
3.9.6.	0,6	45	3.9.13.	0,7	60	3.9.20.	0,8	55
3.9.7.	0,7	40	3.9.14.	0,8	60			

Задача 4.1.

В цилиндрической обечайке имеется одиночное отверстие для трубы. Проверить необходимость укрепления отверстия для трубы с наружным диаметром d_H (мм) в обечайке с внутренним диаметром D_B (м) (см. рис.4.1). Исходные данные для решения задачи представлены в таблице 7.21. Пояснения: s_p — расчётная толщина стенки обечайки, мм; s — исполнительная толщина стенки обечайки, мм; c — конструктивная прибавка к толщине стенки обечайки, мм.

Таблица 7.21 - Исходные данные для решения задачи 4.1.

	,			,							
N_0N_0	d_{H}	D_{B}	Sp	S	c	N_0N_0	d_{H}	D_{B}	Sp	S	c
4.1.1.	168	1,1	7,53	10	1	4.1.11.	203	1,1	3,94	6	1
4.1.2.	168	1,2	10,29	13	1	4.1.12.	203	1,2	4,73	7	1
4.1.3.	168	1,3	6,67	9	1	4.1.13.	203	1,3	5,60	8	1
4.1.4.	168	1,4	8,14	11	1	4.1.14.	203	1,4	5,37	7	1
4.1.5.	168	1,5	10,27	13	1	4.1.15.	203	1,5	6,20	8	1
4.1.6.	180	1,1	3,94	6	1	4.1.16.	219	1,1	4,87	7	1
4.1.7.	180	1,2	8,63	11	1	4.1.17.	219	1,2	5,67	8	1
4.1.8.	180	1,3	11,71	15	1	4.1.18.	219	1,3	6,53	9	1

4.1	.9.	180	1,4	7,54	10	1	4.1.19.	219	1,4	7,45	10	1
4.1.	.10.	180	1,5	9,16	12	1	4.1.20.	219	1,5	8,43	11	1

Задача 4.2.

В обечайке размещены два патрубка из трубы с внутренним диаметром $d_{\Pi 1}$, $d_{\Pi 2}$ (мм). Расстояние между осями патрубков A (мм) (рис.4.2). Толщина стенки патрубков $s_{\Pi 1}$, $s_{\Pi 2}$ (мм). Определить необходимость учёта взаимного влияния отверстий для патрубков при их укреплении. Исходные данные для решения задачи представлены в таблице 7.22.

Таблица 7.22 - Исходные данные для решения задачи 4.2.

N_0N_0	$d_{\Pi 1}$	$d_{\Pi 2}$	Α	$\mathbf{s}_{\Pi 1}$	$s_{\Pi 2}$	N_0N_0	$d_{\Pi 1}$	$d_{\Pi 2}$	Α	$\mathbf{s}_{\Pi 1}$	$s_{\Pi 2}$
4.2.1.	166	178	250	6	6	4.2.11.	205	166	250	7	7
4.2.2.	166	191	250	7	7	4.2.12.	178	166	250	8	8
4.2.3.	178	205	250	8	8	4.2.13.	166	178	250	6	6
4.2.4.	191	229	250	6	6	4.2.14.	166	191	250	7	7
4.2.5.	205	166	250	7	7	4.2.15.	178	205	250	8	8
4.2.6.	229	166	250	8	8	4.2.16.	191	229	250	6	6
4.2.7.	166	178	250	6	6	4.2.17.	205	166	250	7	7
4.2.8.	166	191	250	7	7	4.2.18.	229	166	250	8	8
4.2.9.	178	205	250	8	8	4.2.19.	166	191	250	6	6
4.2.10.	191	178	250	6	6	4.2.20.	166	205	250	7	7

Залача 4.3.

В обечайке размещены два патрубка из трубы с внутренним диаметром $d_{\Pi 1},\ d_{\Pi 2}$ (мм). Расстояние между осями патрубков A (мм) (рис. 4.2). Из предварительных расчётов получено, что при укреплении отверстий в обечайке требуется учитывать их взаимное влияние. Определить значение условного диаметра отверстия при расчёте укрепления двух смежных отверстий. Дополнительные данные: конструктивная прибавка к толщине стенки патрубка с (мм). Исходные данные для решения задачи представлены в таблице 7.23.

Таблица 7.23 - Исходные данные для решения задачи 4.3.

N_0N_0	$d_{\Pi 1}$	$d_{\Pi 2}$	A	c	N_0N_0	$d_{\Pi 1}$	$d_{\Pi 2}$	A	c
4.3.1.	166	178	250	1	4.3.11.	205	166	250	1
4.3.2.	166	191	250	1	4.3.12.	178	166	250	1
4.3.3.	178	205	250	1	4.3.13.	166	178	250	1
4.3.4.	191	229	250	1	4.3.14.	166	191	250	1
4.3.5.	205	166	250	1	4.3.15.	178	205	250	1
4.3.6.	229	166	250	1	4.3.16.	191	229	250	1
4.3.7.	166	178	250	1	4.3.17.	205	166	250	1

4.3.8.	166	191	250	1	4.3.18.	229	166	250	1
4.3.9.	178	205	250	1	4.3.19.	166	191	250	1
4.3.10.	191	178	250	1	4.3.20.	166	205	250	1

Задача 5.1.

Гладкая цилиндрическая обечайка (рис. 5.1) работает под внешним давлением. Определить категорию обечайки (длинная, короткая). Исходные данные для решения задачи представлены в таблице 7.24. Пояснения: D_B – внутренний диаметр обечайки, м; l_p – расчётная длина обечайки, м; s – исполнительная толщина стенки, мм; c – конструктивная прибавка к толщине стенки, мм.

Таблица 7.24 - Исходные данные для решения задачи 5.1.

				1					
$N_{0}N_{0}$	D_{B}	l_p	S	С	$N_{0}N_{0}$	D_{B}	l_p	S	С
5.1.1.	1,1	8	10	1	5.1.11.	1,1	8	6	1
5.1.2.	1,2	6	13	1	5.1.12.	1,2	6	7	1
5.1.3.	1,3	5	9	1	5.1.13.	1,3	5	8	1
5.1.4.	1,4	7	11	1	5.1.14.	1,4	7	7	1
5.1.5.	1,5	8	13	1	5.1.15.	1,5	8	8	1
5.1.6.	1,1	8	6	1	5.1.16.	1,1	8	7	1
5.1.7.	1,2	6	11	1	5.1.17.	1,2	6	8	1
5.1.8.	1,3	5	15	1	5.1.18.	1,3	5	9	1
5.1.9.	1,4	7	10	1	5.1.19.	1,4	7	10	1
5.1.10.	1,5	8	12	1	5.1.20.	1,5	8	11	1

Залача 5.2.

Гладкая короткая цилиндрическая обечайка (рис. 5.1) работает под внешним давлением. Проверить для обечайки выполнение условия работы в пределах упругости

$$0.052 \cdot \sqrt[6]{\frac{p}{10^{-6} \cdot E}} \le \frac{L}{D_B} \le 7.68 \cdot \sqrt[6]{\frac{10^{-6} \cdot E}{p}} \ .$$

Исходные данные для решения задачи представлены в таблице 7.25. Пояснения: $E = 1,99 \cdot 10^5 \, \mathrm{M\Pi a}$ – модуль упругости материала; D_B – внутренний диаметр обечайки, м; L – длина обечайки, м; p – внешнее давление, МПа.

Таблица 7.25 - Исходные данные для решения задачи 5.2.

N_0N_0	D_{B}	L	p	$N_{0}N_{0}$	D_{B}	L	p
5.2.1.	1,1	4	0,67	5.2.11.	1,1	4	0,45
5.2.2.	1,2	6	0,69	5.2.12.	1,2	6	0,47
5.2.3.	1,3	5	0,71	5.2.13.	1,3	5	0,49

5.2.4.	1,4	7	0,73	5.2.14.	1,4	7	0,51
5.2.5.	1,5	8	0,75	5.2.15.	1,5	8	0,53
5.2.6.	1,1	5	0,35	5.2.16.	1,1	4	0,55
5.2.7.	1,2	6	0,37	5.2.17.	1,2	6	0,57
5.2.8.	1,3	5	0,39	5.2.18.	1,3	5	0,59
5.2.9.	1,4	7	0,41	5.2.19.	1,4	7	0,61
5.2.10.	1,5	8	0,43	5.2.20.	1,5	8	0,63

Залача 5.3.

Гладкая короткая цилиндрическая обечайка (рис. 5.1) работает под внешним давлением в пределах упругости. Определить расчётную толщину стенки обечайки. Исходные данные для решения задачи представлены в таблице 7.26. Пояснения: $E=1,99\cdot 10^5$ МПа — модуль упругости материала; D_B — внутренний диаметр обечайки, м; L — длина обечайки, м; p — внешнее давление, МПа.

Таблица 7.26 - Исходные данные для решения задачи 5.3.

N_0N_0	D_{B}	L	р	N <u>o</u> N <u>o</u>	D_{B}	L	р
5.3.1.	1,1	4	0,16	5.3.11.	1,1	4	0,26
5.3.2.	1,2	6	0,17	5.3.12.	1,2	6	0,27
5.3.3.	1,3	5	0,18	5.3.13.	1,3	5	0,28
5.3.4.	1,4	7	0,19	5.3.14.	1,4	7	0,29
5.3.5.	1,5	8	0,2	5.3.15.	1,5	8	0,3
5.3.6.	1,1	5	0,21	5.3.16.	1,1	4	0,31
5.3.7.	1,2	6	0,22	5.3.17.	1,2	6	0,32
5.3.8.	1,3	5	0,23	5.3.18.	1,3	5	0,33
5.3.9.	1,4	7	0,24	5.3.19.	1,4	7	0,34
5.3.10.	1,5	8	0,25	5.3.20.	1,5	8	0,35

Залача 5.4.

Гладкая короткая цилиндрическая обечайка (рис. 5.1) работает под внешним давлением в пределах упругости. Определить допускаемое давление для обечайки из условия устойчивости. Исходные данные для решения задачи представлены в таблице 7.27. Пояснения: $E=1,99\cdot10^5\,\mathrm{M\Pi a}-\mathrm{модуль}$ упругости материала; D_B- внутренний диаметр обечайки, м; L- длина обечайки, м; s- исполнительная толщина стенки обечайки, мм; c- конструктивная прибавка к толщине стенки, мм.

Таблица 7.27 - Исходные данные для решения задачи 5.4.

N_0N_0	D_{B}	L	S	c	N_0N_0	D_{B}	L	S	c
5.4.1.	1,1	4	10	1	5.4.11.	1,1	4	12	1
5.4.2.	1,2	6	12	1	5.4.12.	1,2	6	14	1

5.4.3.	1,3	5	12	1	5.4.13.	1,3	5	14	1
5.4.4.	1,4	7	14	1	5.4.14.	1,4	7	17	1
5.4.5.	1,5	8	16	1	5.4.15.	1,5	8	18	1
5.4.6.	1,1	5	12	1	5.4.16.	1,1	4	12	1
5.4.7.	1,2	6	13	1	5.4.17.	1,2	6	15	1
5.4.8.	1,3	5	13	1	5.4.18.	1,3	5	15	1
5.4.9.	1,4	7	16	1	5.4.19.	1,4	7	18	1
5.4.10.	1,5	8	17	1	5.4.20.	1,5	8	19	1

Задача 5.5.

Гладкая короткая цилиндрическая обечайка (рис. 5.1) работает под внешним давлением в пределах упругости. Определить допускаемое давление для обечайки из условия прочности. Исходные данные для решения задачи представлены в таблице 7.28. Пояснения: $[\sigma]$ – допускаемое напряжение материала при рабочей томпературе; D_B – внутренний диаметр обечайки, м; L – длина обечайки, м; s – исполнительная толщина стенки обечайки, мм; s – конструктивная прибавка к толщине стенки, мм.

Таблица 7.28 - Исходные данные для решения задачи 5.5.

				1					
N_0N_0	D_{B}	[σ]	S	c	$N_{0}N_{0}$	D_{B}	[σ]	S	c
5.5.1.	1	140	5	1	5.5.11.	2,4	184	14	1,1
5.5.2.	1,4	160	6	0,7	5.5.12.	2,8	150	13	0,3
5.5.3.	1,6	170	6	0,9	5.5.13.	2,8	160	14	0,2
5.5.4.	1,6	170	7	1,1	5.5.14.	1,2	140	5	1
5.5.5.	1,8	171	6	0,6	5.5.15.	1,6	160	6	0,7
5.5.6.	1,8	140	7	0,8	5.5.16.	1,8	170	7	0,9
5.5.7.	1,6	128	8	1	5.5.17.	1,8	170	7	1,1
5.5.8.	2	158	8	0,6	5.5.18.	2	171	7	0,6
5.5.9.	2	140	10	1,2	5.5.19.	2	140	8	0,8
5.5.10.	2,4	170	11	0,8	5.5.20.	1,4	128	7	1

Задача 5.6.

Гладкая короткая цилиндрическая стальная обечайка работает под внешним давлением в пределах упругости. Определить допускаемое давление для обечайки из условия прочности и устойчивости. Исходные данные для решения задачи представлены в таблице 7.29. Пояснения: $[p_H]_\sigma$ – допускаемое давление из условия прочности, МПа; $[p_H]_E$ – допускаемое давление из условия устойчивости, МПа.

Таблица 7.29 - Исходные данные для решения задачи 5.6.

$N_{\circ}N_{\circ}$	$[p_{ m H}]_{\sigma}$	$[p_{ m H}]_{ m E}$	N_0N_0	$[p_{ m H}]_{\sigma}$	$[p_{ m H}]_{ m E}$
5.6.1.	1,12	0,137	5.6.11.	1,97	0,095
5.6.2.	1,21	0,168	5.6.12.	1,35	0,081
5.6.3.	1,08	0,114	5.6.13.	1,57	0,080
5.6.4.	1,25	0,116	5.6.14.	0,93	0,104
5.6.5.	1,02	0,102	5.6.15.	1,06	0,138
5.6.6.	0,96	0,104	5.6.16.	1,15	0,150
5.6.7.	1,12	0,137	5.6.17.	1,11	0,097
5.6.8.	1,16	0,099	5.6.18.	1,09	0,134
5.6.9.	1,23	0,091	5.6.19.	1,00	0,129
5.6.10.	1,44	0,094	5.6.20.	1,09	0,114

Залача 5.7.

Гладкая короткая цилиндрическая стальная обечайка работает под внешним давлением в пределах упругости, дополнительно на обечайку действует осевая сжимающая сила. Определить допускаемое значение осевой сжимающей силы из условия устойчивости. Исходные данные для решения задачи представлены в таблице 7.30. Пояснения: E- модуль упругости материала, МПа; D_B- внутренний диаметр обечайки; м; s- исполнительная толщина стенки обечайки; мм, c- конструктивная прибавка к толщине стенки; мм. При решении коэффициент запаса устойчивости принять $n_y=2.4$.

Таблица 7.30 - Исходные данные для решения задачи 5.7.

	- morrowdin A to a second discount of the form of the first of the										
$N_{0}N_{0}$	E×10 ⁻⁵	D_B	S	c	N_0N_0	E×10 ⁻⁵	D_B	S	c		
5.7.1.	1,99	1	5	1	5.7.11.	2,00	2,4	14	1,1		
5.7.2.	1,99	1,4	6	0,7	5.7.12.	2,00	2,8	13	0,3		
5.7.3.	1,99	1,6	6	0,9	5.7.13.	2,00	2,8	14	0,2		
5.7.4.	1,99	1,6	7	1,1	5.7.14.	1,99	1,2	5	1		
5.7.5.	2,00	1,8	6	0,6	5.7.15.	2,00	1,6	6	0,7		
5.7.6.	1,99	1,8	7	0,8	5.7.16.	1,99	1,8	7	0,9		
5.7.7.	1,99	1,6	8	1	5.7.17.	1,99	1,8	7	1,1		
5.7.8.	1,99	2	8	0,6	5.7.18.	2,00	2	7	0,6		
5.7.9.	1,99	2	10	1,2	5.7.19.	1,99	2	8	0,8		
5.7.10.	1,99	2,4	11	0,8	5.7.20.	1,99	1,4	7	1		

Задача 5.8.

Гладкая короткая цилиндрическая стальная обечайка работает под внешним давлением в пределах упругости, дополнительно на обечайку действует осевая сжимающая сила. Определить допускаемое значение осевой сжимающей силы из условия прочности. Исходные данные для решения задачи представлены в таблице 7.31. Пояснения: $D_{\rm B}$ — внутренний диаметр

обечайки, м; $[\sigma]$ — допускаемое напряжение материала, МПа; s — исполнительная толщина стенки обечайки; мм, c — конструктивная прибавка к толщине стенки; мм.

Таблица 7.31 - Исходные данные для	решения задачи 5.8.
------------------------------------	---------------------

N_0N_0	D_B	[σ]	S	c	N_0N_0	D_B	[σ]	S	c
5.7.1.	1	140	5	1	5.7.11.	2,4	184	14	1,1
5.7.2.	1,4	160	6	0,7	5.7.12.	2,8	150	13	0,3
5.7.3.	1,6	170	6	0,9	5.7.13.	2,8	160	14	0,2
5.7.4.	1,6	170	7	1,1	5.7.14.	1,2	140	5	1
5.7.5.	1,8	171	6	0,6	5.7.15.	1,6	160	6	0,7
5.7.6.	1,8	140	7	0,8	5.7.16.	1,8	170	7	0,9
5.7.7.	1,6	128	8	1	5.7.17.	1,8	170	7	1,1
5.7.8.	2	158	8	0,6	5.7.18.	2	171	7	0,6
5.7.9.	2	140	10	1,2	5.7.19.	2	140	8	0,8
5.7.10.	2,4	170	11	0,8	5.7.20.	1,4	128	7	1

Залача 5.9.

Гладкая короткая цилиндрическая стальная обечайка работает под внешним давлением в пределах упругости, дополнительно на обечайку действует осевая сжимающая сила. Определить допустимую осевую сжимающую силу из условия прочности и устойчивости. Исходные данные для решения задачи представлены в таблице 7.32. Пояснения: $[F]_{\sigma}$ – допустимая осевая сжимающая сила из условия прочности, MH; $[F]_{E}$ – допустимая осевая сжимающая сила из условия устойчивости, MH.

Таблица 7.32 - Исходные данные для решения задачи 5.9.

N_0N_0	$[F]_{\sigma}$	$[F]_{E}$	$N_{0}N_{0}$	$[F]_{\sigma}$	$[F]_{E}$
5.9.1.	1,77	2,60	5.9.11.	17,99	31,52
5.9.2.	3,74	4,44	5.9.12.	16,83	28,06
5.9.3.	4,37	3,77	5.9.13.	19,52	34,54
5.9.4.	5,06	5,43	5.9.14.	2,12	2,37
5.9.5.	5,24	4,13	5.9.15.	4,28	4,18
5.9.6.	4,93	5,80	5.9.16.	5,88	5,57
5.9.7.	4,52	8,33	5.9.17.	5,69	5,12
5.9.8.	7,37	8,56	5.9.18.	6,90	5,99
5.9.9.	7,77	13,20	5.9.19.	6,36	8,00
5.9.10.	13,13	17,43	5.9.20.	3,39	6,06

Задача 5.10.

Аппарат с перемешивающим устройством (рис. 5.1), работает под внешним давлением. Определить величину осевой сжимающей силы,

действующей на обечайку аппарата. Исходные данные для решения задачи представлены в таблице 7.33. Пояснения: D_B – внутренний диаметр аппарата, м; $p_{\text{нр}}$ – расчётное наружное давление, МПа; m – масса перемешивающего устройства, кг.

Таблица 7 33 -	Исходные данные	лля решения	залачи 5 10
I dominga 1.55	телодиве даниве	дли решении	Јиди III Ј. I О.

N_0N_0	D_{B}	p_{Hp}	m	N_0N_0	D_{B}	p_{Hp}	m
5.10.1.	1	0,09	730	5.10.11.	2,4	0,07	2150
5.10.2.	1,4	0,091	1000	5. 10.12.	2,8	0,07	2300
5. 10.3.	1,6	0,089	1270	5. 1013.	2,8	0,06	2150
5. 10.4.	1,6	0,082	1770	5. 1014.	1,2	0,09	730
5. 10.5.	1,8	0,079	2150	5. 10.15.	1,6	0,091	1000
5. 10.6.	1,8	0,088	2300	5. 10.16.	1,8	0,089	1270
5. 10.7.	1,6	0,09	730	5. 10.17.	1,8	0,082	1770
5. 10.8.	2	0,085	1000	5. 10.18.	2	0,079	2150
5. 10.9.	2	0,08	1270	5. 1019.	2	0,088	2300
5. 10.10.	2,4	0,08	1770	5. 10.20.	1,4	0,09	730

Залача 5.11.

Гладкая короткая цилиндрическая стальная обечайка работает под внешним давлением в пределах упругости, дополнительно на обечайку действует осевая сжимающая сила (см. рис. 5.1). Проверить выполнение условия устойчивости обечайки. Исходные данные для решения задачи представлены в таблице 7.34. Пояснения: p_{np} – расчётное наружное давление, МПа; $[p_H]$ – допустимое наружное давление, МПа; [F] – допустимая осевая сжимающая сила, МН.

Таблица 7.34 - Исходные данные для решения задачи 5.11.

N_0N_0	$p_{\scriptscriptstyle \mathrm{Hp}}$	$[p_H]$	F	[F]	N_0N_0	$p_{\scriptscriptstyle \mathrm{Hp}}$	[p _H]	F	[F]
5.11.1.	0,09	0,136	0,078	1,46	5.11.11.	0,07	0,095	0,338	15,63
5.11.2.	0,091	0,166	0,150	2,86	5.11.12.	0,07	0,081	0,453	14,44
5.11.3.	0,089	0,114	0,191	2,86	5.11.13.	0,06	0,079	0,390	16,99
5.11.4.	0,082	0,115	0,182	3,70	5.11.14.	0,09	0,104	0,109	1,58
5.11.5.	0,079	0,102	0,222	3,24	5.11.15.	0,091	0,137	0,193	2,99
5.11.6.	0,088	0,103	0,246	3,75	5.11.16.	0,089	0,148	0,239	4,04
5.11.7.	0,09	0,136	0,188	3,98	5.11.17.	0,082	0,097	0,226	3,81
5.11.8.	0,085	0,099	0,277	5,59	5.11.18.	0,079	0,133	0,269	4,52
5.11.9.	0,08	0,091	0,264	6,70	5.11.19.	0,088	0,128	0,299	4,98
5.11.10.	0,08	0,094	0,379	10,49	5.11.20.	0,09	0,114	0,146	2,96

Задача 6.1.

Определить расчётную толщину стенки цилиндрической обечайки АВД (рис. 6.1). Материал обечайки сталь 20К. Исходные данные для решения задачи представлены в таблице 7.35. Пояснения: $\phi = 0.95$ — коэффициент прочности сварного шва; D_B — внутренний диаметр аппарата, м; р — давление в аппарате, МПа; $t_{\text{раб}}$ — рабочая температура в аппарате, град C.

Таблица 7.35 - Исходные данные для решения задачи 6.1	
---	--

N_0N_0	D_{B}	p	t _{paő}	$N_{0}N_{0}$	D_{B}	p	t _{paő}
6.1.1.	1,1	45	200	6.1.11.	1,1	30	400
6.1.2.	1,2	40	250	6.1.12.	1,2	15	450
6.1.3.	1,3	35	300	6.1.13.	1,3	20	200
6.1.4.	1,4	30	350	6.1.14.	1,4	15	250
6.1.5.	1,5	25	400	6.1.15.	1,5	25	300
6.1.6.	1,1	20	450	6.1.16.	1,1	40	350
6.1.7.	1,2	15	200	6.1.17.	1,2	15	400
6.1.8.	1,3	15	250	6.1.18.	1,3	10	450
6.1.9.	1,4	20	300	6.1.19.	1,4	25	200
6.1.10.	1,5	15	350	6.1.20.	1,5	20	250

Задача 6.2.

Определить расчётную толщину плоского днища АВД (рис.6.1). Днище не имеет технологических отверстий. Материал днища сталь 20К. Исходные данные для решения задачи представлены в таблице 7.36. Пояснения: D_B — внутренний диаметр аппарата, м; р — давление в аппарате, МПа; $t_{\text{раб}}$ — рабочая температура в аппарате, град C.

Таблица 7.36 - Исходные данные для решения задачи 6.2.

N_0N_0	D_{B}	p	t _{paő}	N_0N_0	D_{B}	p	t _{paб}
6.2.1.	1,1	45	200	6.2.11.	1,1	30	400
6.2.2.	1,2	40	250	6.2.12.	1,2	15	450
6.2.3.	1,3	35	300	6.2.13.	1,3	20	200
6.2.4.	1,4	30	350	6.2.14.	1,4	15	250
6.2.5.	1,5	25	400	6.2.15.	1,5	25	300
6.2.6.	1,1	20	450	6.2.16.	1,1	40	350
6.2.7.	1,2	15	200	6.2.17.	1,2	15	400
6.2.8.	1,3	15	250	6.2.18.	1,3	10	450
6.2.9.	1,4	20	300	6.2.19.	1,4	25	200
6.2.10.	1,5	15	350	6.2.20.	1,5	20	250

Задача 6.3.

АВД (рис.6.1) имеет крышку с двухконусным обтюратором (угол конуса стального обтюратора $\alpha = 30^\circ$, угол трения стали по меди $\rho = 15^\circ$).

Материал крышки сталь 20К. Определить расчётное усилие Q шпилек крышки АВД. Исходные данные для решения задачи представлены в таблице 7.37. Дополните конструктивные размеры обтюратора см. в таблице 6.1. Пояснения: D_B — внутренний диаметр аппарата, м; р — давление в аппарате, МПа.

Тиолиц	u 1.51 11	Сподпыс	данные д	om pemer	пт эада г	11 0.5.		
N_0N_0	D_{B}	p	N_0N_0	D_{B}	p	N_0N_0	D_{B}	p
6.3.1.	0,8	45	6.3.8.	0,8	15	6.3.15.	0,8	25
6.3.2.	1	40	6.3.9.	1	20	6.3.16.	1	40
6.3.3.	1,2	35	6.3.10.	1,2	15	6.3.17.	1,2	15
6.3.4.	1,4	30	6.3.11.	1,4	30	6.3.18.	1,4	10
6.3.5.	1,6	20	6.3.12.	1,6	15	6.3.19.	1,6	25
6.3.6.	1,8	20	6.3.13.	1,8	20	6.3.20.	1,8	20
637	2	15	631/	2	15	6321	2	10

Таблица 7.37 - Исходные данные для решения задачи 6.3.

Залача 6.4.

Крышка АВД (рис 6.1) имеет затвор с двухконусным обтюратором. Определить диаметр гладкой части шпилек $d_{\rm m}$ для крепления крышки АВД. Шпильки типа В по ГОСТ 9066–75 имеют центральное отверстие $d_{\rm o}$ (см. табл. П17). Число шпилек z принять конструктивно (см. табл. 6.1). Материал шпилек сталь 35X, [σ] = 282 МПа. Исходные данные для решения задачи представлены в таблице 7.38. Пояснения: $D_{\rm B}$ – внутренний диаметр аппарата, м; Q – расчётное усилие шпилек, МН.

		7 1 -	r 1 - r -	· I ·				
N_0N_0	D_{B}	Q	№	D_{B}	Q	N_0N_0	D_{B}	Q
6.4.1.	0,8	24,84	6.4.8.	0,8	8,28	6.4.15.	0,8	13,80
6.4.2.	1	34,24	6.4.9.	1	17,12	6.4.16.	1	34,24
6.4.3.	1,2	42,81	6.4.10.	1,2	18,35	6.4.17.	1,2	18,35
6.4.4.	1,4	49,64	6.4.11.	1,4	49,64	6.4.18.	1,4	16,55
6.4.5.	1,6	42,94	6.4.12.	1,6	32,20	6.4.19.	1,6	53,67
6.4.6.	1,8	54,18	6.4.13.	1,8	54,18	6.4.20.	1,8	54,18
6.4.7.	2	50,19	6.4.14.	2	50,19	6.4.21.	2	33,46

Таблица 7.38 - Исходные данные для решения задачи 6.4.

Задача 6.5.

Крышка АВД (рис.6.1) изготовлена из стали 09Г2С. В крышке отсутствуют технологические отверстия. Определить расчётную толщину крышки АВД. Исходные данные для решения задачи представлены в таблице 7.39. Дополнительные конструктивные размеры (D_6 , D_{cp}) крышки и обтюратора см. в таблице 6.1. Диаметр отверстий под шпильки $d_{orb} = d_{pes} + 3$, мм. Пояснения: D_B — внутренний диаметр аппарата, м; D_H — наружный

диаметр крышки ($D_H=D_6+2\cdot d_{pes}$); D_6 — диаметр установки шпилек, м; D_{cp} — средний диаметр уплотнительной поверхности, м; р — давление в аппарате, МПа; Q — усилие шпилек, МН; d_{pes} — номинальный диаметр резьбы шпилек, мм; t_{pa6} — рабочая температура в аппарате.

Таблица 7.39 - Исходные данные для решения задачи 6.5.

N_0N_0	D_{B}	Q	р	d_{pe_3}	t _{paő}	N_0N_0	D_{B}	Q	p	d_{pe3}	t _{paő}
6.5.1.	0,8	24,84	45	76	200	6.5.11.	1,4	49,64	30	110	200
6.5.2.	1	34,24	40	90	250	6.5.12.	1,6	32,20	15	80	250
6.5.3.	1,2	42,81	35	100	300	6.5.13.	1,8	54,18	20	100	300
6.5.4.	1,4	49,64	30	110	350	6.5.14.	2	50,19	15	100	350
6.5.5.	1,6	42,94	20	90	400	6.5.15.	0,8	13,80	25	60	400
6.5.6.	1,8	54,18	20	100	200	6.5.16.	1	34,24	40	90	200
6.5.7.	2	50,19	15	100	250	6.5.17.	1,2	18,35	15	68	250
6.5.8.	0,8	8,28	15	52	300	6.5.18.	1,4	16,55	10	64	300
6.5.9.	1	17,12	20	64	350	6.5.19.	1,6	53,67	25	100	350
6.5.10.	1,2	18,35	15	68	400	6.5.20.	1,8	54,18	20	100	400

Приложения

Таблица $\Pi 1$ - Рабочее давление для теплообменных аппаратов в зависимости от условного давления p_y и температуры t

ру, МПа	Группа назначения	Пределы	Предельное рабочее давление (МПа) при t (°C							
-	теплообменников*	до 100	200	250	300	350				
0.6	A	0,6	0,5	0,5	0,45	0,42				
0,6	Б	0,5	0,45	0,45	0,42	0,40				
1.0	A	1,0	0,85	0,85	0,75	0,70				
1,0	Б	0,9	0,75	0,75	0,70	0,65				
1.6	A	1,6	1,40	1,35	1,20	1,10				
1,6	Б	1,4	1,25	1,20	1,15	1,06				

2.5	A	2,5	2,20	2,15	1,95	1,75
2,5	Б	2,2	1,95	1,90	1,80	1,65
4.0	A	4,0	3,5	3,40	3,10	2,9
4,0	Б	3,5	3,3	3,25	3,05	2,75
6.1	A	6,4	5,6	5,45	5,05	4,6
6,4	Б	5,5	5,2	5,10	4,80	4,3

^{*} Группа A – теплообмен между взрыво- и пожаробезопасными средами и средами, не обладающими токсичностью; группа Б – теплообмен между взрыво- и пожароопасными и токсичными средами

Таблица Π 2 - Расчётное давление для аппаратных фланцев в зависимости от условного давления p_v и температуры t

p _y ,	Марка стали		Расчё	тное да	авлени	е флані	ца (МГ	Га) при	t (°C)	
МΠа		до 100	200	250	300	350	400	450	500	540
	20; 20K		0,57	0,51	0,46	0,45	0,38	0.26	_	
	09Г2С; 16ГС			0,54	0,50	0,46	0,39	0,26	_	_
0,6	12X18H10T 10X17H13M2T	0,6	0,55	0,53	0,52	0,50	0,49	_		_
	06ХН28МДТ		0,54	0,51	0,48	0,47	0,45	0,43	0,37	0,30
	15X5M		0,57	0,54	0,51	0,48	0,45	0,40	0,34	0,23
	20; 20K		0,95	0,85	0,77	0,73	0,63	0,43	_	
	09Г2С; 16ГС		0,93	0,91	0,84	0,77	0,66	0,43	_	
1,0	12X18H10T 10X17H13M2T	1,0	0,92	0,88	0,86	0,84	0,82	0,72	0,62	0,50
	06ХН28МДТ		0,90	0,85	0,80	0,78	0,75			
	15X5M		0,95	0,90	0,85	0,81	0,74	0,67	0,57	0,38
	20; 20К		1,52	1,40	1,33	1,17	1,01	0,69		
	09Г2С; 16ГС		1,48	1,45	1,34	1,23	1,05	_	_	
1,6	12X18H10T 10X17H13M2T	1,6	1,47	1,44	1,36	1,32	1,29	1,15	0,99	0,80
	06ХН28МДТ		1,44	1,36	1,28	1,24	1,19	_	_	_
	15X5M		1,52	1,44	1,36	1,29	1,19	1,07	0,91	0,53
	20; 20K		2,38	2,32	2,09	1,87	1,60	—		
	09Г2С; 16ГС		2,31	2,26	2,09	1,90	1,64	1,08		
2,5	12X18H10T 10X17H13M2T	2,5	2,32	2,25	2,15	2,10	2,05	1,80	1,55	1,25
	06ХН28МДТ		2,25	2,12	1,99	1,94	1,87	_	_	
	15X5M		2,38	2,25	2,13	2,00	1,80	1,57	1,22	
	20; 20K		3,83	3,72	3 35	2,99	2,59	1,73		
4,0	09Г2С; 16ГС	4,0	3,70	3,60	3,35	3,07	2,62	1,/3		
	12X18H10T		3,70	3,52	3,40	3,25	3,00	2,68	2,28	1,32

p _y ,	Марка стали		Расчё	Расчётное давление фланца (МПа) при t (°C)								
МΠа		до 100	200	250	300	350	400	450	500	540		
	10X17H13M2T											
	06ХН28МДТ		3,59		3,20	3,10	2,98					
	15X5M		3,80	3,60	3,40	3,20	3,00	2,68	2,28	1,32		
	20; 20K		6,00	5,76	5,38	4,69	4,06	2,78				
	09Г2С; 16ГС		5,83	5,80	5,33	4,09	4,13	2,70				
6,3	12X18H10T 10X17H13M2T	6,3	5,94	5,76	5,55	5,37	5,25	4,61	3,97	3,20		
	15X5M		6,08	5,76	5,45	5,12	4,80	4,28	3,65	2,10		

Приведённые в таблице значения технологических параметров соответствуют ГОСТ 28759.1–90

Таблица Π 3 - Перечень материалов, стойких в некоторых технологических средах

Парамет	ры среды	Рекомендуемые материалы*						
Конц., %	t, °C	гекомендуемые материалы						
		Азотная кислота HNO ₃						
Любая	20-tкип	Титан: ВТ1-0, ВТ1-00						
	до 50	Стали: 08Х17Т, 12Х17, 14Х17Н2						
	до 20	Стали: 08Х13, 12Х13, 12Х18Н10Т, 08Х18Н12Б						
		Ферросилиды: ЧС15, ЧС17						
	Аммиак NH ₃							
Любая ¹	до 100	Стали: 08Х13, 12Х13, 12Х17, 08Х17Т, 14Х17Н2,						
		15X25T, 12X18H10T, 08X17H13M2T						
	до 60	Фторопласт-3						
	20tкип	Стали: Ст3сп, 10, 20. Диабаз плавленый, фарфор						
		кислотоупорный						
		Мочевина (карбамид) CO(NH ₂) ₂						
Любая ²	20-т	Керамика кислотоупорная, эмаль кислотоупорная						
	20	Стали: 12Х13, 20Х13, 12Х17, 12Х18Н10Т						
Расплав ³	_	Ферросилид ЧС15						
		Серная кислота H ₂ SO ₄						
Любая	20-т	Фарфор кислотоупорный, стекло кварцевое						
	до 150	Эмаль кислотоупорная						
	20	Ферросилиды: ЧС15, ЧС17						
0,01-0,05	20	Латунь Л62						
0,1–96	30–50	Стали: 08Х17Н13М2Т, 10Х17Н13М3Т						
0,5-80	20-tкип	Свинец: С1, С2, С3						
		Сернистая кислота H_2SO_3						
2	20	Стали: 12Х21Н5Т, 12Х18Н10Т						

Парамет	ры среды	D. ¥
Конц., %	t, °C	Рекомендуемые материалы*
20	20	Стали: 12Х18Н10Т, 08Х18Н10Т, 08Х18Н12Б,
		08X17H13M2T
Нас.р-ры ⁴	100	Стали: 08Х17Н13М2Т, 10Х17Н13М3Т
		Сернистый ангидрид SO_2
Любая ⁵	до 750	Ферросилиды: ЧС15, ЧС17
	20	Алюминий A0; медь M3; свинец C4
	20-70	Титан: ВТ1-0, ВТ1-00, ВТ1-1
Любая ⁶	до 300	Стали: 08Х18Н10Т, 12Х18Н10Т, 08Х18Н12Б,
		10X17H13M2T
_		Сероводород H ₂ S
Любая ⁵	до 900	Ферросилиды: ЧС15, ЧС17
	до 250	Алюминий: А95, А85, А8
	до 200	Стали: 08Х17Т, 08Х21Н5Т, 08Х21Н6М2Т,
		08X18H12Б, 10X17H13M2T
	20	Свинец С4
	T	Соляная кислота HCl
Любая ⁷	20-т	Антихлор ЧС15М4; антегмиты: АТМ-1, АТМ-1Г,
		ATM-10
0,2	до 50	Сплав (Fe–Ni): 06X23H28M3Д3T
до 0,5	до 100	Титан: ВТ1-0, ВТ1-00
1–20	до t _{кип}	Сплав Ni – хастеллой В
4	20	Медь: М1, М2
	T.	Хлор Cl ₂
100	Любая	Графит и уголь формованные
(сухой газ)		Ферросилиды: ЧС15, ЧС17
	до 300	Алюминий: A95, A85, A8
	20	Стали: 12Х13, 20Х13, 30Х13, 12Х17, 14Х17Н2,
		12X18H10T, 08X18H12
		Свинец С4
	20	Фосфорная кислота H ₃ PO ₄
Любая	20-т	Базальт плавленый, графит и уголь формованные,
		фторопласт—4
	до 50	Стали: 15Х25Т, 15Х28, 15Х28АН, 75Х28Л
	20	Ферросилиды: ЧС15, ЧС17
	20. 65	Плавиковая кислота НБ
5	20–65	Монель НМЖМц 28–2,5–1,5
10–100	20	Латунь Л62
		Сталь 08Х17Н13М2Т
		Сплав (Fe-Ni): 06X23H28M3Д3T

Парамет	ры среды	Ромомоннуюм но моторию ни *
Конц., %	t, °C	Рекомендуемые материалы*

Примечания: * данные [2]. Обозначение сред: 1 — аммиак газообразный, жидкий, водные растворы; 2 — водные растворы карбамида; 3 — расплав, содержащий аммиак; 4 — насыщенные растворы; 5 — сухой газ; 6 — влажный газ; 7 — водные растворы;

Таблица П 4 - ОСТ 26-291-94 Применение листовой стали

ГОСТ	ГОСТ на техн.	Рабочие	условия
марка	требования	Температура	Давление среды
		стенки, °С	МПа, не более
380-2005	14637-89	от -20 до +200	5
Ст3кп2, Ст3пс2,			
Ст3сп2			
Ст3сп5	14637-89	от –20 до +425	5
1050-88	9045-93	от -40 до +425	не ограничено
08кп			
5520-79	5520-79	от -20 до +200	не ограничено
16K, 18K, 20K,			
22K			
5520-79	5520-79	от -70 до +200	не ограничено
09Г2С, 10Г2С1			
5520–79	5520–79	от –40 до +200	не ограничено
17ΓC, 17Γ1C,			
16ГС			
5520–79	5520–79	от –40 до +560	не ограничено
12ХМ кат. 3			
19281–89	19281-89	от -20 до +200	16
10ХСНД,			
15ХСНД			
5632–72	7350–77	от –253 до +610	не ограничено
12X18H9T,			
12X18H10T			
5632–72	7350–77	от +20 до +700	не ограничено
08X17T			
5632-72	7350–77	от +20 до +1000	не ограничено
15X25T			

Пример обозначения полуфабриката из листового проката по ГОСТ 5520–79 : Листовой прокат нормальной точности прокатки (Б), нормальной плоскостности (ПН), необрезными кромками (НО), размером $12\times1500\times6000$ мм из стали 20К, категория 4, очищенной от окалины (ОП), нормализованной (Н)

ГОСТ	ГОСТ на техн.	Рабочие	условия
марка	требования	Температура	Давление среды
		стенки, °С	МПа, не более
ПИСТ	$E - \Pi H - HO - 12 \times 1$	500 × 6000 ΓΟCT 1990	03 – 74
JIVICI	$20K - 4 - O\Pi$	$-H \Gamma O C T 5520 - 79$	

Таблица П 5 - ОСТ 26-291-94 Применение стальных труб

	гост			
ГОСТ	ГОСТ на техн.	Рабочие		
марка стали	требования	Температура	Давление среды	
		стенки, °С	МПа, не более	
380–2005	3262–75	от 0 до +200	1,6	
14637-89	трубы			
Ст3сп3, Ст3пс3	водогазопроводные			
	(усиленные)			
Ст3сп4, Ст3пс4	10706–76	от -20 до +200	5	
	трубы			
	электросварные			
1050-88	ТУ14-3-624	от -30 до +400	4	
10, 20	трубы			
	электросварные			
10, 20	550–75	от -30 до +475	16	
	8731–87			
19281-89	ТУ14-3-1128	от -60 до +475	не ограничено	
09Г2С				
ТУ14-3-460	ТУ14-3-460	от –40 до +560	не ограничено	
15XM			_	
5632–72	9940-81	от -253 до +350	не ограничено	
12X18H10T			_	
5632–72	ТУ14-3-318	от -196 до +400	не ограничено	
06ХН28МДТ	ТУ14-3-763			
	ТУ14-3-822			
5632–72	9940-81	от 0 до +900	не ограничено	
15X25T	9941-81		-	
5632–72	9940-81	от –40 до +600	не ограничено	
08X13	9941–81			

Пример обозначения полуфабрикатов из труб:

1. Труба наружным диаметром 76 мм, толщиной стенки 5 мм, обычной точности изготовления, немерной длины из стали марки $08\mathrm{X}18\mathrm{H}10\mathrm{T}$

 $Труба76 \times 5 - 08X18H10T \Gamma OCT 9940 - 81$

2. Труба с наружным диаметром 70 мм, толщиной стенки 3,5 мм, длиной, кратной 1250 мм, обычной точности изготовления, из стали марки 10,

ГОСТ	ГОСТ на техн.	СТ на техн. Рабочие условия					
марка стали	требования	Температура Давление сре					
		стенки, °С	МПа, не более				
изготовляется по	группе Б ГОСТ 8731-	-74					
	T руба $\frac{70 \times 3,5 \times 1250}{70 \times 3,5 \times 1250}$	кр.ГОСТ 8732 – 78					
	<i>Б</i> 10 <i>ГО</i>	CT 8731 – 74					

Таблица П 6 - ГОСТ 10885-85. Состав слоёв двухслойной стали

Пиокируновий опой			Основ	ной слоі	й	
Плакирующий слой	Ст3сп	20K	16ГС	09Г2С	10ХСНД	12MX
08X13	+	+	+	+		+
12X18H10T	+	+	+	+	+	+
10X17H13M2T	+	+	+	+		_
06ХН28МДТ	+	+	+	+		_
XH65MB	_	_	+			_
Н70МФВ–ВИ	_	_	+			_
Монель НМЖМц 28-2,5-1,5	+	+				

Примечание. Двухслойные листы с сочетанием слоёв, не отмеченные знаком «+», изготовляют по согласованию с потребителем.

Пример обозначения полуфабриката из двухслойной листовой стали: Лист толщиной 20 мм, шириной 1400 мм и длиной 4000 мм с основным слоем из стали марки 16ГС категории 3 по ГОСТ 5520–79 и коррозионностойким слоем из стали марки 08X13 по ГОСТ 5632–72, класса сплошности сцепления слоёв 2, с нормальной толщиной коррозионно-стойкого слоя

$$\mathcal{J}ucm \frac{20 \times 1400 \times 4000 \ \Gamma OCT \ 10885 - 85}{(16 \Gamma C3 + 08 X 13) - \kappa \pi.2}$$

Таблица П 7 - ГОСТ Р 52857.1–2007. Допускаемые напряжения сплавов

Congress												
Стали												
Monro			3	наче	ние	[σ] в	МΠа	при	t (°C	()		
Марка	20	200	250	300	350	400	450	470	500	540	600	700
Ст3сп	140	126	120	108	98	85		_			_	_
10	130	118	112	100	88	74	51	42			_	
20, 20K	147	136	132	119	106	92	61	49			_	
16ГС, 09Г2С	170	148	145	134	123	105	71	56			_	
12XM, 12MX	147	145	145	141	137	132	124	117	96	47		
15X5M	146	134	127	120	114	105	94	89	79	54	25	

Марка		Значение [σ] в МПа при t (°C)										
	20	200	250	300	350	400	450	470	500	540	600	700
12X18H10T	160	140	136	130	126	121	117	115	113	111	74	30
10X17H13M2T	184	160	154	148	144	137	132	130	127	111	74	30
03Х21Н21М4ГБ	180	171	167	149	143	140		_			_	
06ХН28МДТ	147	124	117	110	107	103	_		_			

Пояснения: Ст3сп, 10, 20, 20К – стали углеродистые; 16ГС, 09Г2С – стали низколегированные; 12ХМ, 12МХ, 15Х5М – стали теплоустойчивые; 12Х18Н10Т, 10Х17Н13М2Т – стали жаростойкие, жаропрочные и коррозионностойкие; 03Х21Н21М4ГБ – сталь, стойкая против межкристаллитной коррозии; 06ХН28МДТ – железоникелевый сплав, стойкий против межкристаллитной коррозии

Таблица П 7. Продолжение

Цветные сплавы									
Морио Значение [σ] в МПа при t (°C)									
Марка	20	50	100	200	250	300			
АД00	17	16	14						
АМг5М	74	73	64	_					
M3	54	49	44	39	32				
Л63	70	68	65	50	30				
ЛЖМц 59-1-1	136	132	124	106	30				
BT 1-0	141	134	129	107	95	86			
AT3	230	212	202	171	164	145			

Пояснения: АД00 – алюминий технический; АМг5М алюминиевый сплав; М3 – техническая медь; Л63, ЛЖМц 59-1-1 – латуни; ВТ 1-0 – технический титан; АТ3 – титановый сплав.

Таблица П 8 - ГОСТ Р 52857.1–2007. Предел текучести (МПа) сталей и сплавов при комнатной температуре

	1 71		
Марка	Значение	Марка	Значение
Ст3сп	250	06ХН28МДТ	220
10	195	BT1-0	304
20, 20K	220	AT-3	530
16ГС, 09Г2С	300	М3р	81
12XM, 12MX	220	Л63	105
15X5M	220	A85M	24
12X18H10T	270	АМц	50
10X17H13M2T	276	АМг5М	115
03Х21Н21М4ГБ	270		
Пояснения: см. По	яснения к таблице	Π 7.	•

Таблица 9 - Модуль продольной упругости Е сплавов

Моторион	Зн	ачения	ι Ε·10 ⁻⁵	(МПа)) при то	емпера	туре (°	C)
Материал	20	100	150	200	300	450	550	650
Углеродистые и	1,99	1,91	1,86	1,81	1,71	1,4	_	
низколегированные стали	1,,,,	1,71	1,00	1,01	1,71	1,1		
Теплоустойчивые и								
коррозионно-стойкие	2,15	2,15	2,05	1,98	1,90	1,71	1,54	—
хромистые стали								
Жаропрочные и								
жаростойкие	2,00	2,00	1,99	1,97	1,90	1,74	1,60	1,43
аустенитные стали								
Алюминий и его сплавы	0,72	0,69	0,67					
Сплавы на основе меди	1,05	1,02	1,00	0,98				_
Сплавы титана	1,1	1,06	1,02	0,96	0,83		_	_

Таблица П 10 - Коэффициенты прочности (ϕ) сварных швов для стальных сосудов и аппаратов

	ф при	ф при объёме				
Вид сварного шва; способ сварки	контроля					
	100%	10-50%				
Стыковой или тавровый с двусторонним сплошным проваром; АДС, ПДС	1,0	0,9				
Стыковой с подваркой корня шва или тавровый с двусторонним сплошным проваром; РДС	1,0	0,9				
Стыковой, доступный сварке только с одной стороны и имеющий в процессе сварки металлическую подкладку со стороны корня шва, прилегающую по всей длине шва к основному металлу	0,9	0,8				
Втавр с конструктивным зазором свариваемых деталей	0,8	0,65				
Стыковой односторонний с флюсовой или керамической подкладкой; АДС, ПДС	0,9	0,8				
Стыковой; РДС	0,9	0,65				
Пояснение: объём контроля швов определяется техническими требованиями на изготовление						
Обозначение способов дуговой сварки: РДС – ручная; АДС – автоматическая; ПДС – полуавтоматическая						

Таблица П 11 - Коэффициенты прочности (ϕ) сварных швов для сосудов и аппаратов из алюминия и его сплавов

Вид сварного шва и способ сварки	φ
Стыковой двусторонний, односторонний с технологической	0,9

подкладкой, выполняемые сваркой в защитном газе или плазменной	
сваркой; угловой с двусторонним сплошным проваром таврового	
соединения, выполняемый сваркой в защитном газе	
Стыковой односторонний, тавровый с односторонним сплошным	0,85
приваром, выполняемые сваркой в защитном газе	0,83
Стыковой с двусторонним сплошным проваром, выполняемый	0.8
ручной дуговой сваркой	0,8
Стыковой односторонний, тавровый, выполоняемые всеми	0.75
способами сварки	0,75

Таблица П 12 - Коэффициенты прочности (ϕ) сварных и паяных швов для сосудов и аппаратов из меди и её сплавов

Вид сварного шва или паяного соединения и способ сварки	φ
Стыковой с двусторонним сплошным проваром, стыковой односторонний с технологической подкладкой, выполняемые автоматической дуговой сваркой неплавящимся электродом в защитном газе	0,92
Стыковой с двусторонним сплошным проваром, стыковой с подваркой корня шва, стыковой односторонний с технологической подкладкой, выполняемые ручной или полуавтоматической сваркой открытой дугой неплавящимся электродом или автоматической сваркой под флюсом	0,90
Стыковой с двусторонним сплошным проваром, выполняемый ручной дуговой сваркой	0,85
Стыковой односторонний с технологической подкладкой, выполняемый ручной дуговой сваркой	0,80
Паяное внахлёстку	0,75

Таблица П 13 - Коэффициенты прочности (ϕ) сварных швов для сосудов и аппаратов из титана и его сплавов

	ф при объёме		
Вид сварного шва и способ сварки	конт	роля	
	100%	10-50%	
Стыковой с двусторонним проваром автоматической сваркой под флюсом, автоматическая или ручная сварка в среде аргона или гелия с двусторонним сплошным проплавлением	0,95	0,85	
Соединение втавр при обеспечении сплошного двустороннего провара автоматической или ручной сваркой в среде аргона или гелия	0,9	0,8	
Соединение втавр, сплошной провар не обеспечивается	0,8	0,65	

	ф при объёме							
Вид сварного шва и способ сварки	контроля							
	100%	10-50%						
Стыковое соединение, доступное к сварке с одной стороны в защитной среде аргона или гелия и обеспечении защиты с обратной стороны	0,7	0,6						
Пояснение: объём контроля швов определяется техническими								
требованиями на изготовление								

Таблица П 14 - ГОСТ 6533—68. Масса стального эллиптического отбортованного днища

$D_{B_{i}}$	Масса днища (кг) при толщине стенки (мм)								
M	4	6	8	10	12	14	16		
0,6	13,9	21,0	28,2	35,5	43,2	50,7	58,3		
0,7	18,6	28,1	37,7	47,4	57,1	67,5	81,8		
0,8	24,0	36,2	48,5	60,9	73,5	90,3	105		
0,9	30,0	45,3	60,7	76,2	95,9	112	129		
1,0	36,7	55,5	74,3	93,2	117	137	157		
1,2		78,9	105	137	165	193	221		
Пояснен	ия: D _В – вн	_{тутренний}	диаметр а	ппарата (б	базовый ра	змер)			

Таблица П 15 - Формулы геометрических характеристик некоторых видов сечений при растяжении, изгибе и кручении

Вид	F	J_x, J_y	J_{ρ}	W_x, W_y	W_{ρ}
Круг	$0.25 \cdot \pi \cdot D^2$ $=$ $0.785 \cdot D^2$	$\frac{\pi \cdot D^4}{64}$	$\frac{\pi \cdot D^4}{32}$	$\frac{\pi \cdot D^3}{32}$	$\frac{\pi \cdot D^3}{16}$
Кольцо s c=d/D	$0.785 \cdot D^2 \times (1-c^2)$	$\frac{\pi \cdot D^4}{64}$ $\times (1 - c^4)$	$\frac{\pi \cdot D^4}{32} \times (1 - c^4)$	$\frac{\pi \cdot D^3}{32} \times (1 - c^4)$	$\frac{\pi \cdot D^3}{16} \times (1 - c^4)$
Тонкое кольцо $s \le 0,1 \cdot d_{cp}$	$\pi \cdot d_{cp} \cdot s$	$\frac{\pi \cdot d_{cp}^3 \cdot s}{8}$	$\frac{\pi \cdot d_{cp}^3 \cdot s}{4}$	$\frac{\pi \cdot d_{cp}^2 \cdot s}{4}$	$\frac{\pi \cdot d_{cp}^2 \cdot s}{2}$

Вид	F	J_x, J_y	$J_{ ho}$	W_x, W_y	W_{ρ}
Прямоугольник	a-b	$J_y = \frac{b \cdot a^3}{12}$ $J_x = \frac{a \cdot b^3}{12}$	I	$W_y = \frac{b \cdot a^2}{6}$ $W_x = \frac{a \cdot b^2}{6}$	

Пояснения: X, Y — центральные оси сечения; F— площадь поперечного сечения, см²; J_x , J_y — осевые моменты инерции сечения, см⁴; J_ρ — полярный момент инерции сечения, см⁴; W_x W_y — осевые моменты сопротивления сечения, см³; W_ρ — полярный момент сопротивления сечения, см³.

Таблица П 16 - Геометрические характеристики стальных горячекатаных профилей

No	h	F	m	W_{x}	W_{y}	$N_{\underline{0}}$	h	F	m	W_{x}	W_{y}
Двутавры ГОСТ 8239–89					Швеллеры ГОСТ 8240–97						
10	10	12,0	9,46	39,7	6,49	10У	10	10,9	8,59	34,8	6,46
12	12	14,7	11,50	58,4	8,72	12У	12	13,3	10,4	50,6	8,52
14	14	17,4	13,70	81,7	11,50	14У	14	15,6	12,3	70,2	11,0
16	16	20,2	15,90	109,0	14,50	16У	16	18,1	14,2	93,4	13,8
18	18	23,4	18,40	143,0	18,40	18У	18	20,7	16,3	121,0	17,0

Пояснения: № – номер профиля; h – высота профиля, см; F – площадь поперечного сечения профиля, см²; m – погонная масса профиля, кг/м; W_x , W_y – осевые моменты сопротивления изгибу, см³.

Таблица П 17 - ГОСТ 9066–75. Размеры (мм) шпилек фланцев (тип В)

d_p	52	60	64	68	76	80	90	100	110
d_{iii}	44	52	58	62	70	74	84	94	104
d _o	10						20		

Пояснения: d_p — номинальный диаметр резьбы; $\overline{d_m}$ — диаметр гладкой части; d_o — диаметр осевого отверстия.

Литература

Основная

- 1. Поникаров И.И., Поникаров С.И. Конструирование и расчёт элементов оборудования: учебник. М.: Альфа–М, 2010. 382 с.
- 2. Лащинский А.А., Толчинский А.Р. Основы конструирования и расчёта химической аппаратуры: Справочник. 3-е изд., стереотипное. М.: ООО ИД «Альянс», 2008.-752 с.

3. Арзамасов Б.Н., Соловьёва Т.В., Герасимов С.А. и др. Справочник по конструкционным материалам: Справочник/ Под общ. ред. Б.Н. Арзамасова, Т.В. Соловьёвой. – М.: Изд-во МГТУ, 2005. – 640 с.

Дополнительная

- 4. Тимонин А.С., Балдин Б.Г., Борщев В.Я. и др. Машины и аппараты химических производств. / Под общ. редакцией А.С.Тимонина. Калуга: Издательство Н.Ф.Бочкарёвой, 2008. 872 с.
- 5. Расчёт и конструирование машин и аппаратов химических производств: Примеры и задачи /М.Ф. Михалёв, Н.П.Третьяков, А.И. Мильченко, В.В. Зобнин; Под общ. ред. М.Ф. Михалёва. 2-е изд. М.: ООО «Торгово-Издательский Дом «Арис», 2010. 312 с.
- 6. Вихман Г.Л., Круглов С.А. Основы конструирования аппаратов и машин нефтеперерабатывающих заводов. М.: Машиностроение, 1978. 328 с.
- 7. Криворот А.С. Конструкция и основы проектирования машин и аппаратов химической промышленности. М.: Машиностроение, 1976. 376 с.
- 8. Лукьяница А.И., Сафонов Б.П. Основные правила проектирования сосудов и аппаратов химической промышленности НИ РХТУ, Новомосковск, 2012. 119 с.

Оглавление

	Предисловие	3
	Условные обозначения, используемые в тексте	4
	Введение	7
	Исходные данные для расчёта на прочность элементов оборудования	
.1.	Температура	
.2.	Давление	
	Базовый диаметр, диаметр условного прохода	
4	Конструкционные материалы и метаплические полуфабрикаты	

1.5.	Допускаемое напряжение, допускаемая нагрузка
1.6.	Примеры расчёта
2.	Элементы теории напряжённого состояния, расчёт несущей
	способности элементов оборудования
2.1.	Основные определения и расчётные формулы
	Примеры расчёта
3.	Расчёт на прочность тонкостенных корпусов аппаратов
3.1.	Расчётные формулы
3.2.	Примеры расчёта
4.	Расчёт укрепления отверстий тонкостенных аппаратов
4.1.	Расчётные формулы.
4.2.	Примеры расчёта
5.	Расчёт устойчивости формы тонкостенных аппаратов
5.1.	Расчётные формулы
	Примеры расчёта
6.	Расчёт на прочность корпусов аппаратов высокого давления (АВД)
6.1.	Расчётные формулы
	Примеры расчёта
7.	Контрольные задачи
	Приложения
П1.	Значения рабочего давления для теплообменных аппаратов в
	зависимости от условного давления p_{v} и температуры
П2.	Расчётное давление для аппаратных фланцев в зависимости от
	условного давления p _v и температуры
	t
П3.	Перечень материалов, стойких в некоторых агрессивных средах
П4.	ОСТ 26–291–94. Применение листовой стали
П5.	ОСТ 26–291–94. Применение стальных труб
	ГОСТ 10885-85. Состав слоёв двухслойной стали
П7.	ГОСТ Р 52857.1–2007. Допускаемые напряжения сплавов
П8.	ГОСТ Р 52857.1–2007. Предел текучести (МПа) сталей и сплавов при
	комнатной температуре
	Модуль продольной упругости Е сплавов
П10	.Коэффициенты прочности (ф) сварных швов для стальных сосудов и
	аппаратов
П11	.Коэффициенты прочности (ф) сварных швов для сосудов и аппаратов
	из алюминия и его сплавов
П12	.Коэффициенты прочности (φ) сварных и паяных швов для сосудов и
	аппаратов из меди и её сплавов
П13	.Коэффициенты прочности (ф) сварных швов для сосудов и аппаратов
	из титана и его сплавов.
П14	.ГОСТ 6533-68. Масса стального эллиптического отбортованного
	пини

П15.Формулы геометрических характеристик сечений при растяжении,	
изгибе и кручении	
П16.Геометрические характеристики стальных горячекатаных профилей	
П17.ГОСТ 9066–75. Размеры (мм) шпилек фланцев (тип В)	
Литература	